

LAMPIRAN SOURCE CODE PROGRAM MATLAB

```
function varargout = pertama(varargin)
% PERTAMA MATLAB code for pertama.fig
%     PERTAMA, by itself, creates a new PERTAMA or raises the
existing
%     singleton*.
%
%     H = PERTAMA returns the handle to a new PERTAMA or the
handle to
%     the existing singleton*.
%
%     PERTAMA('CALLBACK',hObject,eventData,handles,...) calls the
local
%     function named CALLBACK in PERTAMA.M with the given input
arguments.
%
%     PERTAMA('Property','Value',...) creates a new PERTAMA or
raises the
%     existing singleton*. Starting from the left, property
value pairs are
%     applied to the GUI before pertama_OpeningFcn gets called.
An
%     unrecognized property name or invalid value makes property
application
%     stop. All inputs are passed to pertama_OpeningFcn via
varargin.
%
%     *See GUI Options on GUIDE's Tools menu. Choose "GUI allows
only one
%     instance to run (singleton)".
%
% See also: GUIDE, GUIDATA, GUIHANDLES

% Edit the above text to modify the response to help pertama
% Last Modified by GUIDE v2.5 07-Apr-2020 13:06:58
% Begin initialization code - DO NOT EDIT
gui_Singleton = 1;
gui_State = struct('gui_Name',       mfilename, ...
                  'gui_Singleton',  gui_Singleton, ...
                  'gui_OpeningFcn', @pertama_OpeningFcn, ...
                  'gui_OutputFcn',  @pertama_OutputFcn, ...
                  'gui_LayoutFcn',  [] , ...
                  'gui_Callback',   []);
if nargin && ischar(varargin{1})
    gui_State.gui_Callback = str2func(varargin{1});
end

if nargout
    [varargout{1:nargout}] = gui_mainfcn(gui_State, varargin{:});
else
    gui_mainfcn(gui_State, varargin{:});
end
% End initialization code - DO NOT EDIT
```

```

% --- Executes just before pertama is made visible.
function pertama_OpeningFcn(hObject, eventdata, handles, varargin)
% This function has no output args, see OutputFcn.
% hObject    handle to figure
% eventdata  reserved - to be defined in a future version of
MATLAB
% handles    structure with handles and user data (see GUIDATA)
% varargin   command line arguments to pertama (see VARARGIN)

% Choose default command line output for pertama
handles.output = hObject;

% Update handles structure
guidata(hObject, handles);
hback = axes('units','normalized','position',[0 0 1 1]);
uistack(hback,'bottom'); % menciptakan axes untuk tempat
menampilkan gambar
% menampilkan background
[back map]=imread('biru.png');
image(back)
colormap(map)
% UIWAIT makes pertama wait for user response (see UIRESUME)
% uiwait(handles.figure1);

% --- Outputs from this function are returned to the command line.
function varargout = pertama_OutputFcn(hObject, eventdata,
handles)
% varargout  cell array for returning output args (see VARARGOUT);
% hObject    handle to figure
% eventdata  reserved - to be defined in a future version of
MATLAB
% handles    structure with handles and user data (see GUIDATA)

% Get default command line output from handles structure
varargout{1} = handles.output;

% --- Executes on button press in tinsert_image.
function tinsert_image_Callback(hObject, eventdata, handles)
% hObject    handle to tinsert_image (see GCBO)
% eventdata  reserved - to be defined in a future version of
MATLAB
% handles    structure with handles and user data (see GUIDATA)
[namafile, formatfile] = uigetfile({'*.bmp'}, 'membuka gambar');
%memilih gambar
Img = imread([formatfile, namafile]); %membaca gambar
guidata(hObject, handles)
axes(handles.axes_citra); %memilih axes1 sebagai letak gambar yang
dimunculkan
imshow(Img);%memunculkan gambar
handles.Img = Img;
guidata(hObject,handles);

```

```

% --- Executes on button press in tfoldertraining.
function tfoldertraining_Callback(hObject, eventdata, handles)
% hObject    handle to tfoldertraining (see GCBO)
% eventdata  reserved - to be defined in a future version of
MATLAB
% handles    structure with handles and user data (see GUIDATA)
startpath = 'C:\Users\USER X240 i5\OneDrive\Data Set';
folder2 = uigetdir;
set(handles.text1, 'String', folder2);

% --- Executes on button press in tglcm.
function tglcm_Callback(hObject, eventdata, handles)
% hObject    handle to tglcm (see GCBO)
% eventdata  reserved - to be defined in a future version of
MATLAB
% handles    structure with handles and user data (see GUIDATA)
folder = get(handles.text1, 'string');
images = dir([folder, '\*.bmp']);
nimages = length(images);
nimages
    for i = 1:nimages
        currentimagename = images(i).name;
        imagenames(i,:) = {currentimagename};
        currentimage=imread(fullfile(folder, currentimagename),
'BMP');
        %currentimage = imread(currentimagename);
        axes(handles.axes_citra);
        imshow(currentimage);
    pixel_dist = str2double(get(handles.editpixel, 'string'));
    quantitation = str2double(get(handles.editquantitation, 'string'));
    GLCM = graycomatrix(rgb2gray(currentimage), 'NumLevels',
quantitation, 'Offset', [0 pixel_dist; -pixel_dist pixel_dist; -
pixel_dist 0; -pixel_dist -pixel_dist], 'Symmetric', true);
    stats =
graycoprops(GLCM, {'Contrast', 'Correlation', 'Energy', 'Homogeneity'}
);

    Contrast = stats.Contrast;
    Correlation = stats.Correlation;
    Energy = stats.Energy;
    Homogeneity = stats.Homogeneity;

    data{1,1} = Contrast(1);
    data{1,2} = Contrast(2);
    data{1,3} = Contrast(3);
    data{1,4} = Contrast(4);

    data{2,1} = Correlation(1);
    data{2,2} = Correlation(2);
    data{2,3} = Correlation(3);
    data{2,4} = Correlation(4);

    data{3,1} = Energy(1);
    data{3,2} = Energy(2);

```

```

data{3,3} = Energy(3);
data{3,4} = Energy(4);

data{4,1} = Homogeneity(1);
data{4,2} = Homogeneity(2);
data{4,3} = Homogeneity(3);
data{4,4} = Homogeneity(4);

set(handles.tableglcm, 'Data', data);

Z = [data(1,1) data(1,2) data(1,3) data(1,4) data(2,1)
data(2,2) data(2,3) data(2,4) data(3,1) data(3,2) data(3,3)
data(3,4) data(4,1) data(4,2) data(4,3) data(4,4)];

B(i,:) = Z;
end
sheet = 1;
%*****Saving Features*****
filename = 'data set 1.xls';

xlswrite(filename,B,sheet,'A1:P400');
xlswrite(filename,imagenames,sheet,'R1:R400');

% --- Executes on button press in tmlp.
function tmlp_Callback(hObject, eventdata, handles)
% hObject    handle to tmlp (see GCBO)
% eventdata  reserved - to be defined in a future version of
MATLAB
% handles    structure with handles and user data (see GUIDATA)
Img= handles.Img;
pixel_dist = str2double(get(handles.editpixel,'string'));
quantitation = str2double(get(handles.editquantitation,'string'));
GLCM = graycomatrix(rgb2gray(Img),'NumLevels',
quantitation,'Offset',[0 pixel_dist; -pixel_dist pixel_dist; -
pixel_dist 0; -pixel_dist -pixel_dist],'Symmetric',true);
stats =
graycoprops(GLCM,{'Contrast','Correlation','Energy','Homogeneity'}
);

Contrast = stats.Contrast;
Correlation = stats.Correlation;
Energy = stats.Energy;
Homogeneity = stats.Homogeneity;

data{1,1} = Contrast(1);
data{1,2} = Contrast(2);
data{1,3} = Contrast(3);
data{1,4} = Contrast(4);

data{2,1} = Correlation(1);
data{2,2} = Correlation(2);
data{2,3} = Correlation(3);
data{2,4} = Correlation(4);

```



```

data{3,1} = Energy(1);
data{3,2} = Energy(2);
data{3,3} = Energy(3);
data{3,4} = Energy(4);

data{4,1} = Homogeneity(1);
data{4,2} = Homogeneity(2);
data{4,3} = Homogeneity(3);
data{4,4} = Homogeneity(4);

set(handles.tableglcm, 'Data', data);

Z =[data(1,1) data(1,2) data(1,3) data(1,4) data(2,1)
data(2,2) data(2,3) data(2,4) data(3,1) data(3,2) data(3,3)
data(3,4) data(4,1) data(4,2) data(4,3) data(4,4)];

% load jaringan yang sudah dibuat pada proses pelatihan
c=[Contrast(1) Contrast(2) Contrast(3) Contrast(4) Correlation(1)
Correlation(2) Correlation(3) Correlation(4) Energy(1) Energy(2)
Energy(3) Energy(4) Homogeneity(1) Homogeneity(2) Homogeneity(3)
Homogeneity(4)];

%Mengambil Bobot
load net

%Proses Prediksi
output = round(sim(net,c'))

if output==1
    kelas='Normal';
else output==0
    kelas='Acute';
end
set(handles.editmlp, 'string', kelas)

function editpixel_Callback(hObject, eventdata, handles)
% hObject    handle to editpixel (see GCBO)
% eventdata  reserved - to be defined in a future version of
MATLAB
% handles    structure with handles and user data (see GUIDATA)

% Hints: get(hObject,'String') returns contents of editpixel as
text
%          str2double(get(hObject,'String')) returns contents of
editpixel as a double

% --- Executes during object creation, after setting all
properties.
function editpixel_CreateFcn(hObject, eventdata, handles)
% hObject    handle to editpixel (see GCBO)

```

```

% eventdata reserved - to be defined in a future version of
MATLAB
% handles empty - handles not created until after all
CreateFcns called

% Hint: edit controls usually have a white background on Windows.
% See ISPC and COMPUTER.
if ispc && isequal(get(hObject,'BackgroundColor'),
get(0,'defaultUicontrolBackgroundColor'))
    set(hObject,'BackgroundColor','white');
end

% --- Executes on button press in tpixel_distance.
function tpixel_distance_Callback(hObject, eventdata, handles)
% hObject handle to tpixel_distance (see GCBO)
% eventdata reserved - to be defined in a future version of
MATLAB
% handles structure with handles and user data (see GUIDATA)

% --- Executes on button press in tquantitation.
function tquantitation_Callback(hObject, eventdata, handles)
% hObject handle to tquantitation (see GCBO)
% eventdata reserved - to be defined in a future version of
MATLAB
% handles structure with handles and user data (see GUIDATA)

function editquantitation_Callback(hObject, eventdata, handles)
% hObject handle to editquantitation (see GCBO)
% eventdata reserved - to be defined in a future version of
MATLAB
% handles structure with handles and user data (see GUIDATA)

% Hints: get(hObject,'String') returns contents of
editquantitation as text
% str2double(get(hObject,'String')) returns contents of
editquantitation as a double

% --- Executes during object creation, after setting all
properties.
function editquantitation_CreateFcn(hObject, eventdata, handles)
% hObject handle to editquantitation (see GCBO)
% eventdata reserved - to be defined in a future version of
MATLAB
% handles empty - handles not created until after all
CreateFcns called

% Hint: edit controls usually have a white background on Windows.
% See ISPC and COMPUTER.

```

```

if ispc && isequal(get(hObject,'BackgroundColor'),
get(0,'defaultUicontrolBackgroundColor'))
    set(hObject,'BackgroundColor','white');
end

% --- Executes on button press in textit.
function textit_Callback(hObject, eventdata, handles)
% hObject    handle to textit (see GCBO)
% eventdata  reserved - to be defined in a future version of
MATLAB
% handles    structure with handles and user data (see GUIDATA)
closereq();

function editmlp_Callback(hObject, eventdata, handles)
% hObject    handle to editmlp (see GCBO)
% eventdata  reserved - to be defined in a future version of
MATLAB
% handles    structure with handles and user data (see GUIDATA)

% Hints: get(hObject,'String') returns contents of editmlp as text
%        str2double(get(hObject,'String')) returns contents of
editmlp as a double

% --- Executes during object creation, after setting all
properties.
function editmlp_CreateFcn(hObject, eventdata, handles)
% hObject    handle to edit3 (see GCBO)
% eventdata  reserved - to be defined in a future version of
MATLAB
% handles    empty - handles not created until after all
CreateFcns called

% Hint: edit controls usually have a white background on Windows.
%        See ISPC and COMPUTER.
if ispc && isequal(get(hObject,'BackgroundColor'),
get(0,'defaultUicontrolBackgroundColor'))
    set(hObject,'BackgroundColor','white');
end

% --- Executes on button press in treset.
function treset_Callback(hObject, eventdata, handles)
% hObject    handle to treset (see GCBO)
% eventdata  reserved - to be defined in a future version of
MATLAB
% handles    structure with handles and user data (see GUIDATA)
set(handles.tableglcm, 'Data', {});
cla(handles.axes_citra)
set(handles.text1, 'String', '');
set(handles.editpixel, 'String', '');
set(handles.editquantitation, 'String', '');
set(handles.editmlp, 'String', '');

```

```

% --- Executes on button press in tmulaitraining.
function tmulaitraining_Callback(hObject, eventdata, handles)
% hObject    handle to tmulaitraining (see GCBO)
% eventdata  reserved - to be defined in a future version of
MATLAB
% handles    structure with handles and user data (see GUIDATA)

% Pembacaan Data dari excel
filename = 'data set 10.xls';
sheet = 1;
xlRange = 'A1:Q720';
Data = xlsread(filename, sheet, xlRange);

x = Data(:,1:16)';
t = Data(:,17)';
[m,n] = size(x);

% Choose a Training Function
trainFcn = 'trainlm'; % Scaled conjugate gradient
backpropagation.

% Create a Pattern Recognition Network
hiddenLayerSize = 10;
net = patternnet(hiddenLayerSize, trainFcn);

% Setup Division of Data for Training, Validation, Testing
net.divideParam.trainRatio = 70/100;
net.divideParam.valRatio = 15/100;
net.divideParam.testRatio = 15/100;

% Train the Network
[net,tr, Y, E] = train(net,x,t);

% Test the Network
y = net(x);
e = gsubtract(t,y);
performance = perform(net,t,y)
tind = vec2ind(t);
yind = vec2ind(y);
percentErrors = sum(tind ~= yind)/numel(tind);

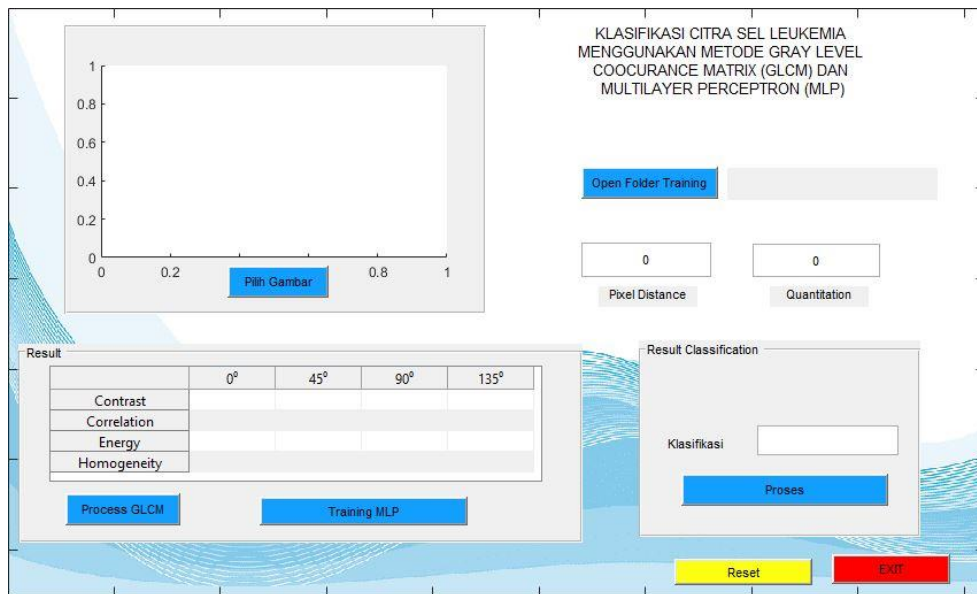
% Hasil setelah pelatihan
bobot_hidden = net.IW{1,1}
bobot_keluaran = net.LW{2,1}
bias_hidden = net.b{1,1}
bias_keluaran = net.b{2,1}
jumlah_iterasi = tr.num_epochs
nilai_keluaran = Y
nilai_error = E
error_MSE = (1/n)*sum(nilai_error.^2)

save net.mat net

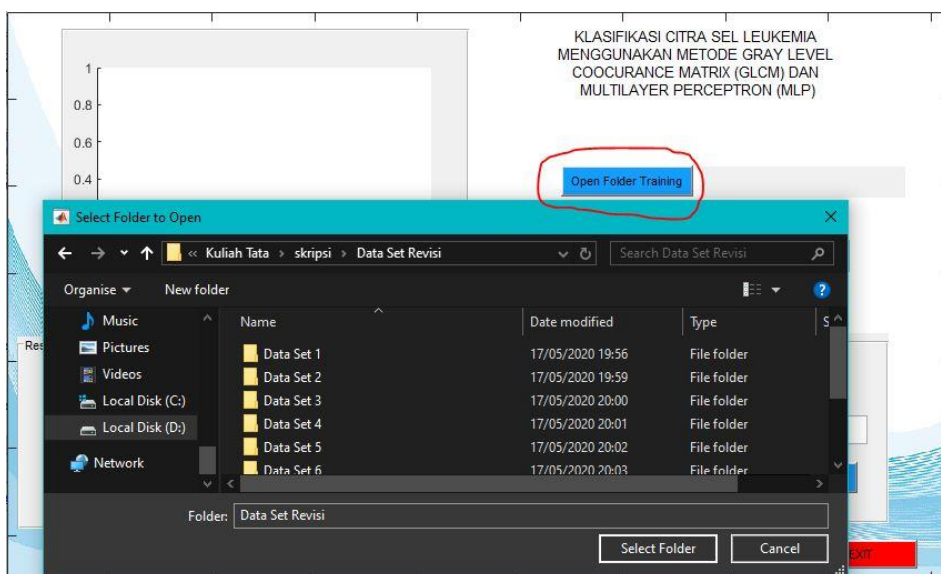
```

LAMPIRAN PANDUAN OPERASI GUI

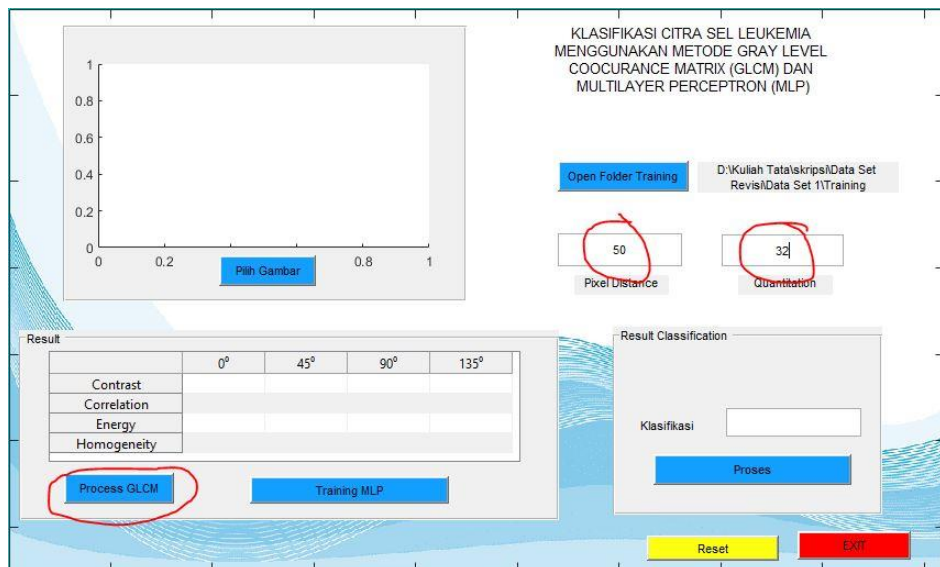
Penelitian menghasilkan Sistem dengan tampilan antarmuka sistem seperti gambar dibawah ini :



- Sistem dapat dimulai dengan klik tombol *open folder training*. Setelah klik tombol *open folder training* maka akan muncul jendela untuk memilih Data Set kemudian pilih folder *training* (contoh : Data Set 1 > Training) kemudian klik *select folder*.

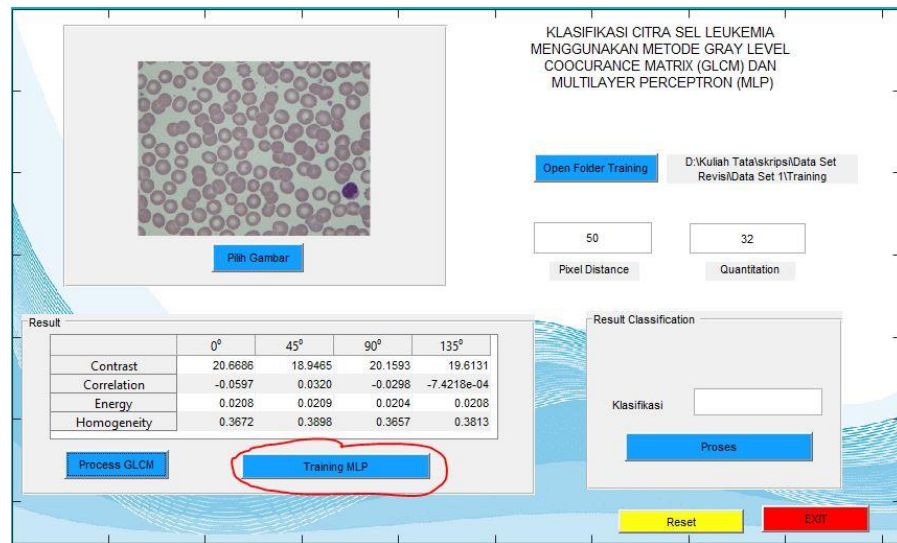


- b. Isi nilai *pixel distance* = 50 dan nilai *quantitation* = 32. Selanjutnya klik tombol *process GLCM* untuk memproses ekstraksi fitur.

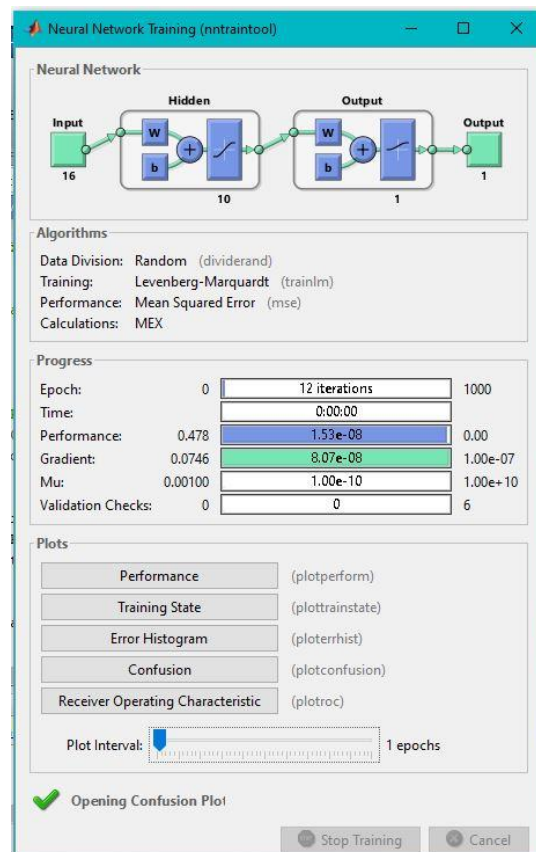


- c. Data training yang berjumlah 720 citra akan diekstraksi fiturnya menggunakan GLCM. Selanjutnya buka data excel hasil pembacaan GLCM untuk diberikan variable 0 = citra *acute* dan 1 = citra normal pada tiap citranya untuk mengidentifikasi jenis *leukemia*.

- d. Kembali ke tampilan gui dan klik tombol *Training MLP* untuk melakukan training dari hasil ekstraksi fitur yang digunakan untuk mengeluarkan nilai *weight* untuk klasifikasi dengan klik tombol Training MLP.

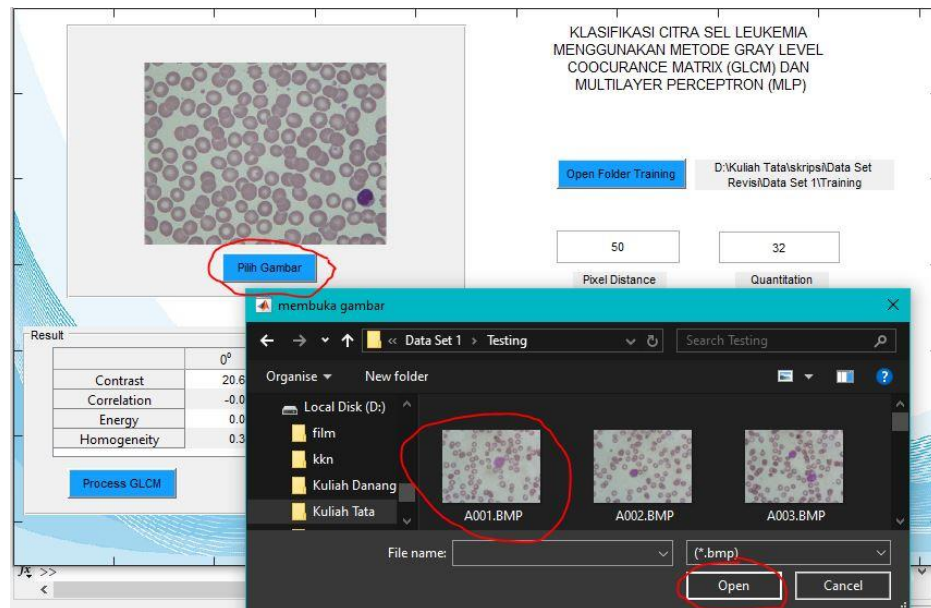


- e. Jendela *Neural Network Training (nntraintool)* akan muncul pada saat proses *training*.

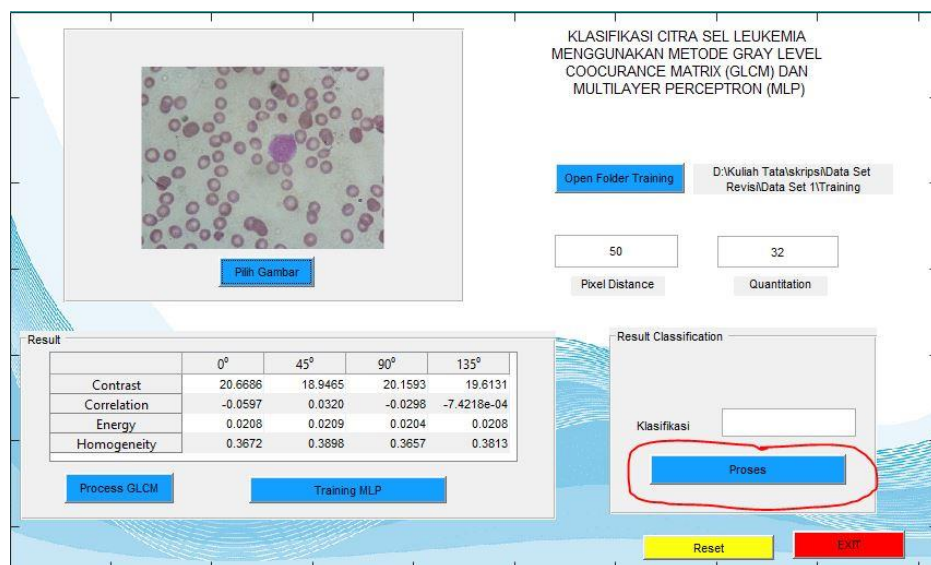


- f. Untuk melihat nilai *performance* maka klik tombol *performance*, hasil *confusion* pada tombol *confusion matrix*, dan seterusnya.

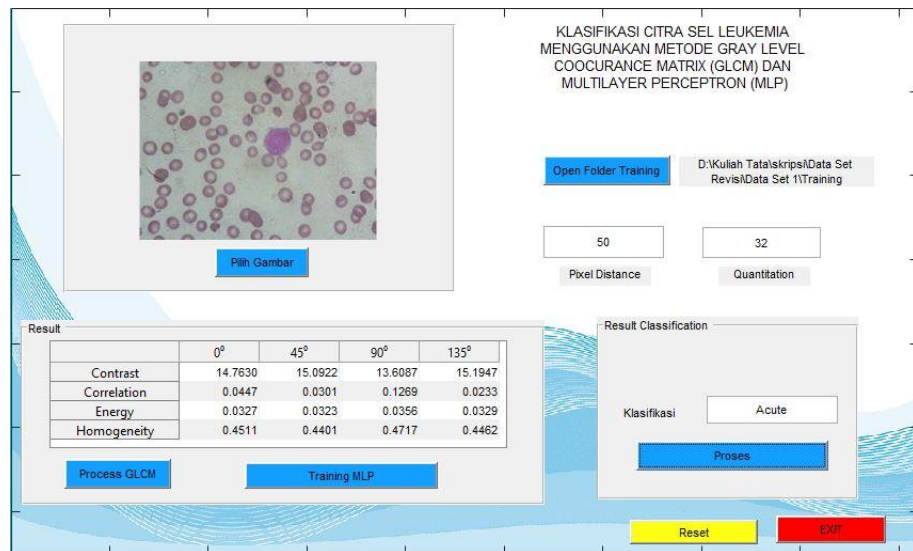
- g. Selanjutnya lakukan pengujian atau *testing*. *Testing* dilakukan dengan cara klik tombol pilih gambar. > Pilih Data Set sesuai yang dilakukan pada saat *training* > pilih folder *testing* > pilih 1 citra yang akan diproses klasifikasinya (contoh : Data Set 1 > Testing > A1.bmp) selanjutnya klik *open*.



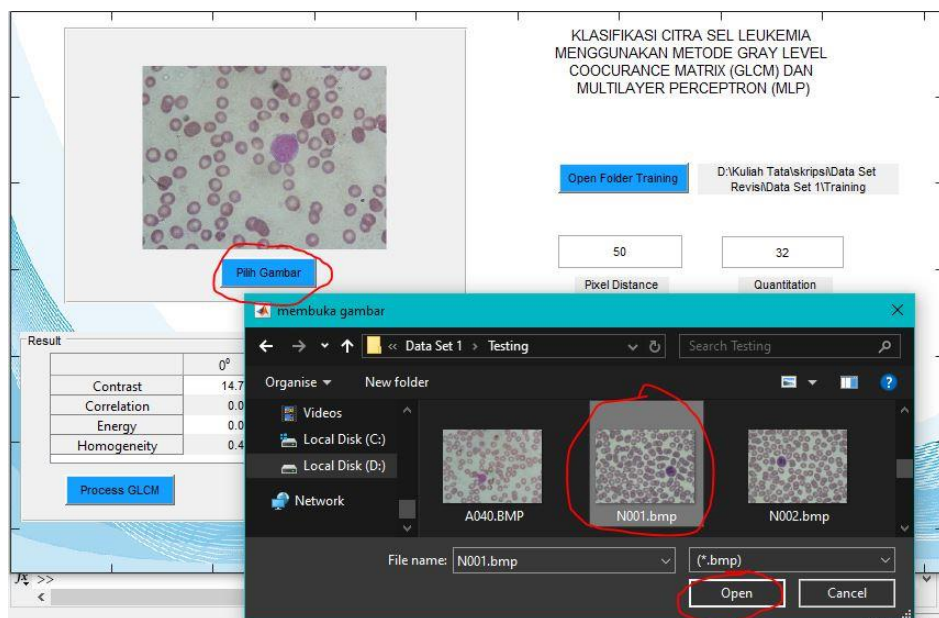
- h. Gambar citra yang sudah dipilih akan tertampil pada *axes*. Kemudian klik tombol *Process* pada panel klasifikasi untuk mengetahui hasil *testing*.



- i. Hasil klasifikasi akan diproses dengan prediksi menggunakan network hasil training untuk citra akut.



- j. Lakukan *testing* kembali dengan memilih citra Normal untuk mengetahui hasil *testing* dengan cara mengulangi langkah pada poin g dan pilih citra N1.bmp kemudian klik open.



- k. Gambar citra normal yang sudah dipilih akan tertampil pada *axes*. Kemudian klik tombol *Process* pada panel klasifikasi untuk mengetahui hasil *testing* untuk citra normal.

KLASIFIKASI CITRA SEL LEUKEMIA
MENGUNAKAN METODE GRAY LEVEL
COOCURANCE MATRIX (GLCM) DAN
MULTILAYER PERCEPTRON (MLP)

Open Folder Training D:\Kuliah TataSkripsi\Data Set
Revisi\Data Set 1\Training

50 32
Pixel Distance Quantitation

Pilih Gambar

Result	0°	45°	90°	135°
Contrast	33.9061	33.0907	35.0043	31.3172
Correlation	-0.0523	-0.0247	-0.0866	0.0304
Energy	0.0139	0.0137	0.0138	0.0137
Homogeneity	0.3213	0.3258	0.3126	0.3405

Process GLCM Training MLP

Result Classification

Klasifikasi: Normal

Proses

Reset Exit

LAMPIRAN EKSTRAKSI FITUR

1. Data Ekstraksi 16 Fitur GLCM pada 400 Citra Akut

Kontras				Korelasi				Energi				Homogenitas				Nama Citra
0°	45°	90°	135°	0°	45°	90°	135°	0°	45°	90°	135°	0°	45°	90°	135°	
14,76296	15,09218	13,60875	15,19473	0,044715	0,030059	0,126892	0,023273	0,032695	0,032313	0,035628	0,0329	0,451092	0,440109	0,471681	0,446152	A001.BMP
15,88129	14,75243	16,06364	15,7774	-0,00698	0,064108	-0,01538	0,000198	0,038978	0,041704	0,039203	0,041267	0,456178	0,470017	0,45649	0,462894	A002.BMP
20,5645	19,61237	18,46089	20,15376	-0,0224	0,02684	0,082543	0,001983	0,028677	0,030308	0,031709	0,030493	0,413689	0,421165	0,43766	0,422221	A003.BMP
19,72969	18,80886	18,59724	19,58468	-0,01937	0,03618	0,046448	-0,00883	0,027579	0,02888	0,028073	0,028063	0,408447	0,419503	0,425422	0,412182	A004.BMP
53,83165	64,00638	52,16147	71,60072	0,334106	0,217137	0,3602	0,124651	0,058271	0,051548	0,060345	0,043771	0,474792	0,426242	0,469838	0,403059	A005.bmp
20,77259	20,91125	20,80562	21,4257	0,044623	0,04881	0,047424	0,023162	0,025967	0,026711	0,025979	0,025828	0,412824	0,410991	0,415258	0,403138	A006.BMP
22,43989	21,83429	21,67272	22,37081	0,081316	0,127664	0,127173	0,103706	0,019239	0,019152	0,0198	0,01951	0,398345	0,401259	0,404452	0,395939	A007.BMP
24,06981	23,32336	23,86877	24,0165	0,012345	0,0514	0,026035	0,02222	0,020836	0,021588	0,021139	0,021534	0,384107	0,386318	0,385893	0,383499	A008.BMP
23,26343	24,33217	19,95842	22,63718	-0,01938	-0,05033	0,14205	0,018077	0,024016	0,023121	0,025407	0,025166	0,396178	0,383501	0,422969	0,405391	A009.BMP
23,63213	23,55598	23,1516	25,06382	0,023969	0,033481	0,049022	-0,03272	0,021931	0,021653	0,022334	0,021405	0,391753	0,387442	0,3954	0,381422	A010.BMP
17,12141	16,98977	16,45875	17,52933	0,034222	0,044744	0,073117	0,014761	0,019463	0,018901	0,019206	0,018905	0,390764	0,388237	0,400141	0,387245	A011.BMP
23,53312	24,8003	25,01428	26,34153	0,058564	0,008251	0,009344	-0,05298	0,016607	0,016335	0,016559	0,016133	0,370349	0,354732	0,363025	0,347987	A012.BMP
49,07863	69,07225	60,45828	71,86212	0,423177	0,199218	0,301198	0,167077	0,048214	0,039094	0,042865	0,037147	0,49263	0,423073	0,459471	0,406675	A013.bmp
18,04262	17,53739	18,30662	18,038	0,017109	0,049051	0,003561	0,022366	0,018373	0,018432	0,01812	0,018492	0,381056	0,385911	0,378619	0,380635	A014.BMP
17,63003	17,63358	17,29906	17,1762	-0,00664	0,007595	0,023273	0,032548	0,023275	0,023662	0,023672	0,024619	0,395726	0,400133	0,404151	0,408411	A015.BMP
11,07637	11,09357	10,25639	10,71899	0,098059	0,081429	0,165015	0,115288	0,036923	0,038587	0,038396	0,039911	0,469808	0,46974	0,486353	0,484992	A016.BMP
17,62695	16,70866	15,77307	16,6547	-0,03387	0,019426	0,089745	0,026311	0,02622	0,027258	0,027182	0,027233	0,408279	0,41627	0,426745	0,420984	A017.BMP
27,28082	26,74615	27,79019	27,44567	-0,00731	0,014614	-0,02427	-0,01215	0,013193	0,013484	0,013153	0,013361	0,337161	0,346959	0,342671	0,345215	A018.BMP
27,70026	24,65875	27,56816	27,22289	-0,0143	0,087628	-0,01285	-0,00477	0,016933	0,017681	0,017281	0,017172	0,354293	0,375081	0,357731	0,363948	A019.BMP

Kontras				Korelasi				Energi				Homogenitas				Nama Citra
0°	45°	90°	135°	0°	45°	90°	135°	0°	45°	90°	135°	0°	45°	90°	135°	
23,62839	22,40658	24,53946	25,86915	0,028322	0,089369	0,003382	-0,05156	0,014244	0,014316	0,013982	0,014266	0,357406	0,367092	0,347994	0,343076	A020.BMP
56,88737	81,02496	65,10729	84,4898	0,38631	0,136491	0,302597	0,098705	0,051421	0,040242	0,047675	0,040289	0,480775	0,393673	0,440152	0,376811	A021.bmp
13,95151	14,41447	14,97786	15,06295	0,079836	0,057214	0,006734	0,015314	0,029553	0,030136	0,029635	0,029116	0,438825	0,440276	0,431142	0,427649	A022.BMP
16,32712	15,63918	14,13316	15,67134	-0,01518	0,032406	0,1191	0,030608	0,020285	0,020879	0,021548	0,021052	0,388957	0,405578	0,42069	0,405155	A023.BMP
19,22319	18,58131	18,96849	19,62764	0,037409	0,063867	0,043984	0,010498	0,01967	0,019987	0,019975	0,019449	0,387656	0,39408	0,393066	0,38248	A024.BMP
10,21497	9,813079	9,585376	9,75239	0,058517	0,106114	0,124938	0,106024	0,031649	0,031551	0,032736	0,032027	0,451828	0,458738	0,469141	0,462705	A025.BMP
56,88737	81,02496	65,10729	84,4898	0,38631	0,136491	0,302597	0,098705	0,051421	0,040242	0,047675	0,040289	0,480775	0,393673	0,440152	0,376811	A026.bmp
21,40468	19,79787	20,82208	20,61222	-0,01766	0,057392	0,009092	0,01662	0,017997	0,018824	0,018119	0,018616	0,36542	0,383776	0,371997	0,377074	A027.BMP
21,04743	20,17079	20,40332	21,30047	-0,00639	0,041012	0,031166	-0,02102	0,018819	0,019068	0,019082	0,018719	0,37904	0,382574	0,379992	0,372318	A028.BMP
24,99582	25,06567	23,77524	23,78672	-0,05951	-0,06257	-0,00877	-0,00971	0,018207	0,018555	0,019062	0,018951	0,359081	0,356958	0,366277	0,367713	A029.BMP
18,08562	16,34238	16,18051	16,72703	-0,05872	0,043563	0,048245	0,021146	0,021705	0,023098	0,023404	0,0237	0,384105	0,407572	0,40869	0,405139	A030.BMP
41,05247	67,1836	53,2553	67,96139	0,50881	0,204056	0,370157	0,194834	0,057563	0,043067	0,049845	0,044574	0,54767	0,437141	0,495584	0,441673	A031.bmp
19,92227	20,1202	19,65104	19,82997	-0,01193	-0,02052	0,003368	-0,00421	0,020682	0,020781	0,02038	0,020664	0,38251	0,384979	0,384289	0,38475	A032.BMP
17,78244	18,25569	18,71767	18,80966	0,028883	0,016691	0,00725	-0,0194	0,02342	0,022894	0,022677	0,02292	0,413666	0,403707	0,405112	0,401238	A033.BMP
36,4989	52,16109	45,19504	57,8749	0,528919	0,333986	0,414035	0,258986	0,043224	0,035341	0,036252	0,027917	0,511329	0,455168	0,48606	0,407934	A034.bmp
18,8528	19,124	19,82036	18,40163	0,042031	0,032932	-0,00083	0,067809	0,021703	0,020722	0,020112	0,021384	0,400552	0,397109	0,388458	0,403394	A035.BMP
25,87982	25,29009	26,8998	25,06683	-0,05249	-0,0244	-0,08666	-0,01543	0,018508	0,01862	0,018051	0,018771	0,363341	0,365112	0,352597	0,365661	A036.BMP
19,88059	20,15132	20,10607	19,42076	0,007468	0,001443	0,00554	0,035931	0,017542	0,017476	0,017771	0,017811	0,373031	0,37148	0,375442	0,379324	A037.BMP
47,31505	63,87029	52,89365	60,98042	0,376145	0,151877	0,294318	0,189904	0,041586	0,031982	0,035553	0,035113	0,489385	0,401702	0,452652	0,416909	A038.bmp
22,75657	24,43019	22,33665	22,46638	-0,00562	-0,08632	-0,0055	-0,00043	0,022075	0,021472	0,022805	0,022721	0,390152	0,374495	0,39277	0,394742	A039.BMP
14,82673	13,84183	14,20221	14,7752	0,018552	0,088274	0,061674	0,025391	0,022569	0,023688	0,02295	0,02292	0,4092	0,424249	0,420686	0,409603	A040.BMP
16,06376	15,74352	14,75484	16,47304	0,004615	0,029054	0,087881	-0,01667	0,022795	0,023938	0,024399	0,023338	0,400709	0,409673	0,42002	0,395445	A041.BMP
56,22923	68,2103	53,18184	71,53161	0,27721	0,126063	0,311961	0,082521	0,042823	0,037719	0,043609	0,035053	0,45028	0,405929	0,457578	0,36878	A042.bmp

Kontras				Korelasi				Energi				Homogenitas				Nama Citra
0°	45°	90°	135°	0°	45°	90°	135°	0°	45°	90°	135°	0°	45°	90°	135°	
17,34677	18,25061	16,0398	16,71823	-0,00424	-0,0411	0,083363	0,048551	0,023211	0,023007	0,024764	0,024085	0,397323	0,396076	0,412034	0,405208	A043.BMP
15,41079	15,12461	15,55312	15,57016	0,033015	0,060259	0,032023	0,029926	0,027066	0,026998	0,026107	0,026733	0,426511	0,42458	0,418584	0,420888	A044.BMP
50,35691	70,18516	60,75779	72,0801	0,426873	0,208412	0,315556	0,186987	0,037856	0,030572	0,032789	0,029244	0,480405	0,406346	0,441788	0,400354	A045.bmp
20,46761	20,41172	20,4486	22,20576	0,032413	0,047892	0,035837	-0,03838	0,020372	0,020247	0,02052	0,019527	0,384815	0,378687	0,377924	0,367148	A046.BMP
14,84016	15,90257	14,92421	15,57458	0,038516	-0,01975	0,044069	-0,00081	0,024172	0,023687	0,0239	0,024001	0,418216	0,4074	0,414997	0,405904	A047.BMP
22,33257	23,67906	21,65463	21,91398	-0,0162	-0,0841	-0,0023	-0,00425	0,02141	0,021686	0,022307	0,022235	0,383408	0,37447	0,389165	0,389759	A048.BMP
21,88348	23,61058	22,04359	22,34092	-0,00566	-0,09847	-0,02507	-0,03797	0,023461	0,02337	0,022792	0,023544	0,389863	0,378777	0,381454	0,385891	A049.BMP
50,69923	63,27964	45,31019	62,092	0,335381	0,182707	0,408462	0,197146	0,059222	0,049628	0,06491	0,051841	0,487685	0,435597	0,521953	0,439526	A050.bmp
17,92353	18,99538	20,65941	19,60894	0,084806	0,042378	-0,04953	0,010881	0,025194	0,024563	0,023234	0,023811	0,415795	0,400234	0,379391	0,397392	A051.BMP
19,39756	19,01933	19,48196	19,49605	-0,01454	0,000437	-0,02161	-0,02708	0,021331	0,022584	0,022292	0,021991	0,378023	0,387058	0,384897	0,381219	A052.BMP
45,59521	68,12414	59,07413	68,61592	0,437553	0,172461	0,286926	0,164056	0,05942	0,043092	0,044106	0,041907	0,531435	0,434897	0,461185	0,429625	A053.bmp
14,78475	15,27387	15,49518	14,86855	0,018434	-0,00128	-0,02028	0,025675	0,023106	0,022662	0,022884	0,023273	0,409547	0,40372	0,402679	0,411835	A054.BMP
19,26804	17,50446	17,92819	17,86995	-0,06773	0,035554	0,017252	0,017381	0,017088	0,018147	0,017674	0,017859	0,370486	0,390313	0,389331	0,386074	A055.BMP
20,30611	20,01321	20,95648	20,74354	0,076623	0,09307	0,04697	0,059304	0,018873	0,019671	0,019233	0,019159	0,387225	0,39365	0,386356	0,384256	A056.BMP
17,25398	17,52602	15,83375	16,56481	-0,01924	-0,03696	0,058435	0,020726	0,023135	0,023189	0,023969	0,023828	0,403916	0,40271	0,413319	0,409517	A057.BMP
47,4405	65,87913	45,81622	54,56181	0,45239	0,249528	0,480301	0,379754	0,035795	0,030301	0,038536	0,033932	0,462028	0,401457	0,471139	0,421298	A058.bmp
19,06567	18,63055	19,71651	18,83006	-0,01099	0,017857	-0,03361	0,007832	0,021817	0,022465	0,021433	0,022194	0,388426	0,402076	0,385307	0,397777	A059.BMP
20,14746	21,02115	19,93231	20,31876	0,022962	-0,01296	0,039886	0,018244	0,018688	0,018247	0,018658	0,01869	0,383657	0,373123	0,392493	0,381744	A060.BMP
21,80471	20,73178	21,62412	22,61052	-0,02042	0,03038	-0,00887	-0,05782	0,01785	0,01856	0,017837	0,017712	0,364841	0,376965	0,367861	0,36613	A061.BMP
37,29385	54,11318	42,89854	53,95522	0,396188	0,13019	0,306249	0,131168	0,050957	0,041644	0,044673	0,036946	0,486548	0,407733	0,456154	0,401173	A062.bmp
19,23827	19,4377	18,16329	17,90224	-0,04755	-0,04391	0,02608	0,038853	0,025059	0,025068	0,025862	0,025632	0,393293	0,393323	0,40416	0,406783	A063.BMP
16,23824	17,50619	16,56142	16,90524	0,050244	-0,01827	0,037419	0,013299	0,023527	0,022618	0,02327	0,023324	0,411775	0,392391	0,408552	0,40184	A064.BMP
17,81015	18,50462	20,1407	20,72441	0,082401	0,057637	-0,03755	-0,05757	0,02226	0,021829	0,021105	0,020992	0,403218	0,39692	0,379453	0,377399	A065.BMP

Kontras				Korelasi				Energi				Homogenitas				Nama Citra
0°	45°	90°	135°	0°	45°	90°	135°	0°	45°	90°	135°	0°	45°	90°	135°	
46,24117	58,34782	50,44506	67,57246	0,375631	0,196263	0,294956	0,069869	0,052595	0,044444	0,051245	0,03949	0,483929	0,419311	0,463551	0,384831	A066.bmp
16,41779	16,44697	15,12292	16,72888	0,019919	0,009424	0,091402	-0,00804	0,023441	0,023751	0,023547	0,02378	0,406784	0,407452	0,415343	0,403606	A067.BMP
16,94259	17,0884	16,55253	17,51037	0,027784	0,030486	0,059139	0,006679	0,019162	0,019178	0,019821	0,018979	0,391037	0,390801	0,398762	0,386105	A068.BMP
16,59771	16,28123	16,04422	16,94065	0,015608	0,043789	0,061656	0,004619	0,021321	0,021535	0,021692	0,021172	0,402082	0,405517	0,412232	0,400222	A069.BMP
17,51026	17,67649	16,19946	18,25216	0,003323	-0,00516	0,076054	-0,03763	0,023373	0,024446	0,025481	0,024035	0,408085	0,408135	0,4217	0,40081	A070.BMP
43,32397	63,60302	48,18325	53,78678	0,444665	0,183349	0,377325	0,310036	0,074341	0,056464	0,070737	0,064436	0,525386	0,42473	0,495139	0,481095	A071.bmp
11,86657	11,63043	10,065	11,10839	0,023323	0,05039	0,173673	0,090641	0,033177	0,034758	0,037613	0,036195	0,4501	0,455241	0,487165	0,469894	A072.BMP
15,42259	14,82039	14,2535	15,97556	0,001854	0,043898	0,078544	-0,03329	0,022047	0,022536	0,022877	0,022128	0,402578	0,41079	0,419395	0,399387	A073.BMP
20,08749	21,46299	20,34703	21,37007	-0,00165	-0,0628	-0,01234	-0,05618	0,020758	0,020308	0,021021	0,020499	0,381038	0,369572	0,388844	0,376012	A074.BMP
19,92903	20,06018	19,85158	21,98883	0,027545	0,032435	0,033158	-0,05951	0,021366	0,021231	0,022316	0,020302	0,393118	0,39181	0,400126	0,374136	A075.BMP
20,29758	21,49444	19,92329	19,16191	-0,00423	-0,06665	0,006846	0,051415	0,01958	0,019824	0,020639	0,02164	0,37651	0,363642	0,384418	0,391947	A076.BMP
46,29188	57,97601	41,41417	60,45613	0,423236	0,28112	0,485342	0,249159	0,037825	0,031856	0,043546	0,031246	0,476718	0,40566	0,502299	0,415264	A077.bmp
22,03014	21,75655	21,57124	21,94117	0,05023	0,066597	0,065812	0,059787	0,023374	0,024643	0,024963	0,024213	0,400377	0,407153	0,411752	0,401766	A078.BMP
18,91714	17,85059	18,30892	17,38275	-0,00349	0,051302	0,038599	0,077309	0,017949	0,018748	0,018316	0,019121	0,373559	0,386978	0,379261	0,398336	A079.BMP
19,54453	19,28515	18,92619	18,2844	0,056098	0,078803	0,088857	0,12911	0,018079	0,017757	0,01783	0,018031	0,386339	0,387067	0,391752	0,400717	A080.BMP
22,66061	23,85593	24,016	22,93617	0,027113	-0,01198	-0,01943	0,025213	0,019471	0,018576	0,018677	0,01871	0,383871	0,371639	0,370996	0,372208	A081.BMP
68,80939	97,8615	72,53199	81,52727	0,329272	0,040129	0,280518	0,201753	0,031561	0,022496	0,028784	0,026808	0,430341	0,335314	0,424393	0,393806	A082.bmp
19,34585	18,91079	18,50552	19,13138	-0,04804	-0,03022	-0,00262	-0,04515	0,020284	0,02091	0,021021	0,021062	0,382624	0,385556	0,386825	0,382803	A083.BMP
13,31464	12,75294	13,05873	13,02945	-0,00214	0,049573	0,02324	0,031886	0,024027	0,024904	0,02485	0,024727	0,416447	0,425418	0,421822	0,419848	A084.BMP
18,04818	20,54043	18,79446	19,10781	0,096839	-0,0258	0,057318	0,044543	0,02051	0,019663	0,020433	0,020703	0,401924	0,375949	0,395654	0,389392	A085.BMP
21,26174	22,4716	21,70188	22,84993	0,019835	-0,02601	0,003483	-0,0443	0,016092	0,015432	0,015967	0,015482	0,368416	0,357541	0,36358	0,353176	A086.BMP
11,26057	10,91883	11,5677	11,39393	0,061348	0,095891	0,041188	0,053623	0,036497	0,037296	0,036295	0,037038	0,461924	0,469477	0,463171	0,466652	A087.BMP
15,46073	15,56053	15,81909	15,93007	0,047481	0,053096	0,0385	0,03225	0,019858	0,020042	0,020042	0,019873	0,402284	0,399945	0,401804	0,400021	A088.BMP

Kontras				Korelasi				Energi				Homogenitas				Nama Citra
0°	45°	90°	135°	0°	45°	90°	135°	0°	45°	90°	135°	0°	45°	90°	135°	
56,60451	71,22171	57,16905	70,42562	0,319433	0,1438	0,314686	0,154195	0,039083	0,034192	0,038379	0,033527	0,466213	0,408229	0,450517	0,388289	A089.bmp
18,37055	16,99633	17,50716	17,1716	-0,01329	0,065437	0,040315	0,055078	0,018839	0,019705	0,019745	0,019396	0,378787	0,397737	0,390579	0,395222	A090.BMP
19,01427	19,86547	19,83938	18,59427	0,031355	-0,02091	-0,01218	0,044483	0,019143	0,019003	0,018788	0,019845	0,386828	0,376158	0,378284	0,395373	A091.BMP
24,39751	25,85528	23,24456	24,16754	-0,00456	-0,06621	0,042185	0,001034	0,017891	0,018248	0,019088	0,018592	0,366739	0,350805	0,373684	0,370718	A092.bmp
63,92132	76,9294	72,51584	87,97468	0,318984	0,198965	0,234142	0,083552	0,0405	0,034252	0,038753	0,031688	0,445474	0,386373	0,422215	0,375952	A093.bmp
16,2804	16,57123	17,17663	18,06156	0,06877	0,056605	0,017065	-0,02874	0,019999	0,020203	0,019562	0,018842	0,398606	0,402726	0,393677	0,379028	A094.BMP
15,42789	16,30946	16,01614	15,98111	0,070575	0,013569	0,029096	0,031992	0,022561	0,022234	0,022802	0,02241	0,404879	0,398088	0,398736	0,397606	A095.BMP
38,64167	61,04474	46,39502	45,52127	0,389597	0,049875	0,274139	0,291474	0,063448	0,043095	0,055648	0,059114	0,490935	0,376162	0,45335	0,459235	A096.bmp
14,93809	15,38506	15,15046	16,51524	0,026942	0,013638	0,024555	-0,06342	0,025606	0,025169	0,025655	0,024799	0,414151	0,408578	0,416184	0,396128	A097.BMP
42,60552	60,09061	53,94707	57,38355	0,467482	0,254228	0,326547	0,28913	0,043587	0,033397	0,036839	0,033862	0,506509	0,40463	0,444639	0,426667	A098.bmp
27,70026	24,65875	27,56816	27,22289	-0,0143	0,087628	-0,01285	-0,00477	0,016933	0,017681	0,017281	0,017172	0,354293	0,375081	0,357731	0,363948	A099.BMP
17,25398	17,52602	15,83375	16,56481	-0,01924	-0,03696	0,058435	0,020726	0,023135	0,023189	0,023969	0,023828	0,403916	0,40271	0,413319	0,409517	A100.BMP
14,76296	15,19473	13,60875	15,09218	0,044715	0,023273	0,126892	0,030059	0,032695	0,0329	0,035628	0,032313	0,451092	0,446152	0,471681	0,440109	A101.bmp
15,88129	15,7774	16,06364	14,75243	-0,00698	0,000198	-0,01538	0,064108	0,038978	0,041267	0,039203	0,041704	0,456178	0,462894	0,45649	0,470017	A102.bmp
20,5645	20,15376	18,46089	19,61237	-0,0224	0,001983	0,082543	0,02684	0,028677	0,030493	0,031709	0,030308	0,413689	0,422221	0,43766	0,421165	A103.bmp
19,72969	19,58468	18,59724	18,80886	-0,01937	-0,00883	0,046448	0,03618	0,027579	0,028063	0,028073	0,02888	0,408447	0,412182	0,425422	0,419503	A104.bmp
53,83165	71,60072	52,16147	64,00638	0,334106	0,124651	0,3602	0,217137	0,058271	0,043771	0,060345	0,051548	0,474792	0,403059	0,469838	0,426242	A105.bmp
20,77259	21,4257	20,80562	20,91125	0,044623	0,023162	0,047424	0,04881	0,025967	0,025828	0,025979	0,026711	0,412824	0,403138	0,415258	0,410991	A106.bmp
22,43989	22,37081	21,67272	21,83429	0,081316	0,103706	0,127173	0,127664	0,019239	0,01951	0,0198	0,019152	0,398345	0,395939	0,404452	0,401259	A107.bmp
24,06981	24,0165	23,86877	23,32336	0,012345	0,02222	0,026035	0,0514	0,020836	0,021534	0,021139	0,021588	0,384107	0,383499	0,385893	0,386318	A108.bmp
23,26343	22,63718	19,95842	24,33217	-0,01938	0,018077	0,14205	-0,05033	0,024016	0,025166	0,025407	0,023121	0,396178	0,405391	0,422969	0,383501	A109.bmp
23,63213	25,06382	23,1516	23,55598	0,023969	-0,03272	0,049022	0,033481	0,021931	0,021405	0,022334	0,021653	0,391753	0,381422	0,3954	0,387442	A110.bmp
17,12141	17,52933	16,45875	16,98977	0,034222	0,014761	0,073117	0,044744	0,019463	0,018905	0,019206	0,018901	0,390764	0,387245	0,400141	0,388237	A111.bmp

Kontras				Korelasi				Energi				Homogenitas				Nama Citra
0°	45°	90°	135°	0°	45°	90°	135°	0°	45°	90°	135°	0°	45°	90°	135°	
23,53312	26,34153	25,01428	24,8003	0,058564	-0,05298	0,009344	0,008251	0,016607	0,016133	0,016559	0,016335	0,370349	0,347987	0,363025	0,354732	A112.bmp
49,07863	71,86212	60,45828	69,07225	0,423177	0,167077	0,301198	0,199218	0,048214	0,037147	0,042865	0,039094	0,49263	0,406675	0,459471	0,423073	A113.bmp
18,04262	18,038	18,30662	17,53739	0,017109	0,022366	0,003561	0,049051	0,018373	0,018492	0,01812	0,018432	0,381056	0,380635	0,378619	0,385911	A114.bmp
17,63003	17,1762	17,29906	17,63358	-0,00664	0,032548	0,023273	0,007595	0,023275	0,024619	0,023672	0,023662	0,395726	0,408411	0,404151	0,400133	A115.bmp
11,07637	10,71899	10,25639	11,09357	0,098059	0,115288	0,165015	0,081429	0,036923	0,039911	0,038396	0,038587	0,469808	0,484992	0,486353	0,46974	A116.bmp
17,62695	16,6547	15,77307	16,70866	-0,03387	0,026311	0,089745	0,019426	0,02622	0,027233	0,027182	0,027258	0,408279	0,420984	0,426745	0,41627	A117.bmp
27,28082	27,44567	27,79019	26,74615	-0,00731	-0,01215	-0,02427	0,014614	0,013193	0,013361	0,013153	0,013484	0,337161	0,345215	0,342671	0,346959	A118.bmp
27,70026	27,22289	27,56816	24,65875	-0,0143	-0,00477	-0,01285	0,087628	0,016933	0,017172	0,017281	0,017681	0,354293	0,363948	0,357731	0,375081	A119.bmp
23,62839	25,86915	24,53946	22,40658	0,028322	-0,05156	0,003382	0,089369	0,014244	0,014266	0,013982	0,014316	0,357406	0,343076	0,347994	0,367092	A120.bmp
56,88737	84,4898	65,10729	81,02496	0,38631	0,098705	0,302597	0,136491	0,051421	0,040289	0,047675	0,040242	0,480775	0,376811	0,440152	0,393673	A121.bmp
13,95151	15,06295	14,97786	14,41447	0,079836	0,015314	0,006734	0,057214	0,029553	0,029116	0,029635	0,030136	0,438825	0,427649	0,431142	0,440276	A122.bmp
16,32712	15,67134	14,13316	15,63918	-0,01518	0,030608	0,1191	0,032406	0,020285	0,021052	0,021548	0,020879	0,388957	0,405155	0,42069	0,405578	A123.bmp
19,22319	19,62764	18,96849	18,58131	0,037409	0,010498	0,043984	0,063867	0,01967	0,019449	0,019975	0,019987	0,387656	0,38248	0,393066	0,39408	A124.bmp
10,21497	9,75239	9,585376	9,813079	0,058517	0,106024	0,124938	0,106114	0,031649	0,032027	0,032736	0,031551	0,451828	0,462705	0,469141	0,458738	A125.bmp
56,88737	84,4898	65,10729	81,02496	0,38631	0,098705	0,302597	0,136491	0,051421	0,040289	0,047675	0,040242	0,480775	0,376811	0,440152	0,393673	A126.bmp
21,40468	20,61222	20,82208	19,79787	-0,01766	0,01662	0,009092	0,057392	0,017997	0,018616	0,018119	0,018824	0,36542	0,377074	0,371997	0,383776	A127.bmp
21,04743	21,30047	20,40332	20,17079	-0,00639	-0,02102	0,031166	0,041012	0,018819	0,018719	0,019082	0,019068	0,37904	0,372318	0,379992	0,382574	A128.bmp
24,99582	23,78672	23,77524	25,06567	-0,05951	-0,00971	-0,00877	-0,06257	0,018207	0,018951	0,019062	0,018555	0,359081	0,367713	0,366277	0,356958	A129.bmp
18,08562	16,72703	16,18051	16,34238	-0,05872	0,021146	0,048245	0,043563	0,021705	0,0237	0,023404	0,023098	0,384105	0,405139	0,40869	0,407572	A130.bmp
41,05247	67,96139	53,2553	67,1836	0,50881	0,194834	0,370157	0,204056	0,057563	0,044574	0,049845	0,043067	0,54767	0,441673	0,495584	0,437141	A131.bmp
19,92227	19,82997	19,65104	20,1202	-0,01193	-0,00421	0,003368	-0,02052	0,020682	0,020664	0,02038	0,020781	0,38251	0,38475	0,384289	0,384979	A132.bmp
17,78244	18,80966	18,71767	18,25569	0,028883	-0,0194	0,00725	0,016691	0,02342	0,02292	0,022677	0,022894	0,413666	0,401238	0,405112	0,403707	A133.bmp
36,4989	57,8749	45,19504	52,16109	0,528919	0,258986	0,414035	0,333986	0,043224	0,027917	0,036252	0,035341	0,511329	0,407934	0,48606	0,455168	A134.bmp

Kontras				Korelasi				Energi				Homogenitas				Nama Citra
0°	45°	90°	135°	0°	45°	90°	135°	0°	45°	90°	135°	0°	45°	90°	135°	
18,8528	18,40163	19,82036	19,124	0,042031	0,067809	-0,00083	0,032932	0,021703	0,021384	0,020112	0,020722	0,400552	0,403394	0,388458	0,397109	A135.bmp
25,87982	25,06683	26,8998	25,29009	-0,05249	-0,01543	-0,08666	-0,0244	0,018508	0,018771	0,018051	0,01862	0,363341	0,365661	0,352597	0,365112	A136.bmp
19,88059	19,42076	20,10607	20,15132	0,007468	0,035931	0,00554	0,001443	0,017542	0,017811	0,017771	0,017476	0,373031	0,379324	0,375442	0,37148	A137.bmp
47,31505	60,98042	52,89365	63,87029	0,376145	0,189904	0,294318	0,151877	0,041586	0,035113	0,035553	0,031982	0,489385	0,416909	0,452652	0,401702	A138.bmp
22,75657	22,46638	22,33665	24,43019	-0,00562	-0,00043	-0,0055	-0,08632	0,022075	0,022721	0,022805	0,021472	0,390152	0,394742	0,39277	0,374495	A139.bmp
14,82673	14,7752	14,20221	13,84183	0,018552	0,025391	0,061674	0,088274	0,022569	0,02292	0,02295	0,023688	0,4092	0,409603	0,420686	0,424249	A140.bmp
16,06376	16,47304	14,75484	15,74352	0,004615	-0,01667	0,087881	0,029054	0,022795	0,023338	0,024399	0,023938	0,400709	0,395445	0,42002	0,409673	A141.bmp
56,22923	71,53161	53,18184	68,2103	0,27721	0,082521	0,311961	0,126063	0,042823	0,035053	0,043609	0,037719	0,45028	0,36878	0,457578	0,405929	A142.bmp
17,34677	16,71823	16,0398	18,25061	-0,00424	0,048551	0,083363	-0,0411	0,023211	0,024085	0,024764	0,023007	0,397323	0,405208	0,412034	0,396076	A143.bmp
15,41079	15,57016	15,55312	15,12461	0,033015	0,029926	0,032023	0,060259	0,027066	0,026733	0,026107	0,026998	0,426511	0,420888	0,418584	0,42458	A144.bmp
50,35691	72,0801	60,75779	70,18516	0,426873	0,186987	0,315556	0,208412	0,037856	0,029244	0,032789	0,030572	0,480405	0,400354	0,441788	0,406346	A145.bmp
20,46761	22,20576	20,4486	20,41172	0,032413	-0,03838	0,035837	0,047892	0,020372	0,019527	0,02052	0,020247	0,384815	0,367148	0,377924	0,378687	A146.bmp
14,84016	15,57458	14,92421	15,90257	0,038516	-0,00081	0,044069	-0,01975	0,024172	0,024001	0,0239	0,023687	0,418216	0,405904	0,414997	0,4074	A147.bmp
22,33257	21,91398	21,65463	23,67906	-0,0162	-0,00425	-0,0023	-0,0841	0,02141	0,022235	0,022307	0,021686	0,383408	0,389759	0,389165	0,37447	A148.bmp
21,88348	22,34092	22,04359	23,61058	-0,00566	-0,03797	-0,02507	-0,09847	0,023461	0,023544	0,022792	0,02337	0,389863	0,385891	0,381454	0,378777	A149.bmp
50,69923	62,092	45,31019	63,27964	0,335381	0,197146	0,408462	0,182707	0,059222	0,051841	0,06491	0,049628	0,487685	0,439526	0,521953	0,435597	A150.bmp
17,92353	19,60894	20,65941	18,99538	0,084806	0,010881	-0,04953	0,042378	0,025194	0,023811	0,023234	0,024563	0,415795	0,397392	0,379391	0,400234	A151.bmp
19,39756	19,49605	19,48196	19,01933	-0,01454	-0,02708	-0,02161	0,000437	0,021331	0,021991	0,022292	0,022584	0,378023	0,381219	0,384897	0,387058	A152.bmp
45,59521	68,61592	59,07413	68,12414	0,437553	0,164056	0,286926	0,172461	0,05942	0,041907	0,044106	0,043092	0,531435	0,429625	0,461185	0,434897	A153.bmp
14,78475	14,86855	15,49518	15,27387	0,018434	0,025675	-0,02028	-0,00128	0,023106	0,023273	0,022884	0,022662	0,409547	0,411835	0,402679	0,40372	A154.bmp
19,26804	17,86995	17,92819	17,50446	-0,06773	0,017381	0,017252	0,035554	0,017088	0,017859	0,017674	0,018147	0,370486	0,386074	0,389331	0,390313	A155.bmp
20,30611	20,74354	20,95648	20,01321	0,076623	0,059304	0,04697	0,09307	0,018873	0,019159	0,019233	0,019671	0,387225	0,384256	0,386356	0,39365	A156.bmp
17,25398	16,56481	15,83375	17,52602	-0,01924	0,020726	0,058435	-0,03696	0,023135	0,023828	0,023969	0,023189	0,403916	0,409517	0,413319	0,40271	A157.bmp

Kontras				Korelasi				Energi				Homogenitas				Nama Citra
0°	45°	90°	135°	0°	45°	90°	135°	0°	45°	90°	135°	0°	45°	90°	135°	
47,4405	54,56181	45,81622	65,87913	0,45239	0,379754	0,480301	0,249528	0,035795	0,033932	0,038536	0,030301	0,462028	0,421298	0,471139	0,401457	A158.bmp
19,06567	18,83006	19,71651	18,63055	-0,01099	0,007832	-0,03361	0,017857	0,021817	0,022194	0,021433	0,022465	0,388426	0,397777	0,385307	0,402076	A159.bmp
20,14746	20,31876	19,93231	21,02115	0,022962	0,018244	0,039886	-0,01296	0,018688	0,01869	0,018658	0,018247	0,383657	0,381744	0,392493	0,373123	A160.bmp
21,80471	22,61052	21,62412	20,73178	-0,02042	-0,05782	-0,00887	0,03038	0,01785	0,017712	0,017837	0,01856	0,364841	0,36613	0,367861	0,376965	A161.bmp
37,29385	53,95522	42,89854	54,11318	0,396188	0,131168	0,306249	0,13019	0,050957	0,036946	0,044673	0,041644	0,486548	0,401173	0,456154	0,407733	A162.bmp
19,23827	17,90224	18,16329	19,4377	-0,04755	0,038853	0,02608	-0,04391	0,025059	0,025632	0,025862	0,025068	0,393293	0,406783	0,40416	0,393323	A163.bmp
16,23824	16,90524	16,56142	17,50619	0,050244	0,013299	0,037419	-0,01827	0,023527	0,023324	0,02327	0,022618	0,411775	0,40184	0,408552	0,392391	A164.bmp
17,81015	20,72441	20,1407	18,50462	0,082401	-0,05757	-0,03755	0,057637	0,02226	0,020992	0,021105	0,021829	0,403218	0,377399	0,379453	0,39692	A165.bmp
46,24117	67,57246	50,44506	58,34782	0,375631	0,069869	0,294956	0,196263	0,052595	0,03949	0,051245	0,044444	0,483929	0,384831	0,463551	0,419311	A166.bmp
16,41779	16,72888	15,12292	16,44697	0,019919	-0,00804	0,091402	0,009424	0,023441	0,02378	0,023547	0,023751	0,406784	0,403606	0,415343	0,407452	A167.bmp
16,94259	17,51037	16,55253	17,0884	0,027784	0,006679	0,059139	0,030486	0,019162	0,018979	0,019821	0,019178	0,391037	0,386105	0,398762	0,390801	A168.bmp
16,59771	16,94065	16,04422	16,28123	0,015608	0,004619	0,061656	0,043789	0,021321	0,021172	0,021692	0,021535	0,402082	0,400222	0,412232	0,405517	A169.bmp
17,51026	18,25216	16,19946	17,67649	0,003323	-0,03763	0,076054	-0,00516	0,023373	0,024035	0,025481	0,024446	0,408085	0,40081	0,4217	0,408135	A170.bmp
43,32397	53,78678	48,18325	63,60302	0,444665	0,310036	0,377325	0,183349	0,074341	0,064436	0,070737	0,056464	0,525386	0,481095	0,495139	0,42473	A171.bmp
11,86657	11,10839	10,065	11,63043	0,023323	0,090641	0,173673	0,05039	0,033177	0,036195	0,037613	0,034758	0,4501	0,469894	0,487165	0,455241	A172.bmp
15,42259	15,97556	14,2535	14,82039	0,001854	-0,03329	0,078544	0,043898	0,022047	0,022128	0,022877	0,022536	0,402578	0,399387	0,419395	0,41079	A173.bmp
20,08749	21,37007	20,34703	21,46299	-0,00165	-0,05618	-0,01234	-0,0628	0,020758	0,020499	0,021021	0,020308	0,381038	0,376012	0,388844	0,369572	A174.bmp
19,92903	21,98883	19,85158	20,06018	0,027545	-0,05951	0,033158	0,032435	0,021366	0,020302	0,022316	0,021231	0,393118	0,374136	0,400126	0,39181	A175.bmp
20,29758	19,16191	19,92329	21,49444	-0,00423	0,051415	0,006846	-0,06665	0,01958	0,02164	0,020639	0,019824	0,37651	0,391947	0,384418	0,363642	A176.bmp
46,29188	60,45613	41,41417	57,97601	0,423236	0,249159	0,485342	0,28112	0,037825	0,031246	0,043546	0,031856	0,476718	0,415264	0,502299	0,40566	A177.bmp
22,03014	21,94117	21,57124	21,75655	0,05023	0,059787	0,065812	0,066597	0,023374	0,024213	0,024963	0,024643	0,400377	0,401766	0,411752	0,407153	A178.bmp
18,91714	17,38275	18,30892	17,85059	-0,00349	0,077309	0,038599	0,051302	0,017949	0,019121	0,018316	0,018748	0,373559	0,398336	0,379261	0,386978	A179.bmp
19,54453	18,2844	18,92619	19,28515	0,056098	0,12911	0,088857	0,078803	0,018079	0,018031	0,01783	0,017757	0,386339	0,400717	0,391752	0,387067	A180.bmp

Kontras				Korelasi				Energi				Homogenitas				Nama Citra
0°	45°	90°	135°	0°	45°	90°	135°	0°	45°	90°	135°	0°	45°	90°	135°	
22,66061	22,93617	24,016	23,85593	0,027113	0,025213	-0,01943	-0,01198	0,019471	0,01871	0,018677	0,018576	0,383871	0,372208	0,370996	0,371639	A181.bmp
68,80939	81,52727	72,53199	97,8615	0,329272	0,201753	0,280518	0,040129	0,031561	0,026808	0,028784	0,022496	0,430341	0,393806	0,424393	0,335314	A182.bmp
19,34585	19,13138	18,50552	18,91079	-0,04804	-0,04515	-0,00262	-0,03022	0,020284	0,021062	0,021021	0,02091	0,382624	0,382803	0,386825	0,385556	A183.bmp
13,31464	13,02945	13,05873	12,75294	-0,00214	0,031886	0,02324	0,049573	0,024027	0,024727	0,02485	0,024904	0,416447	0,419848	0,421822	0,425418	A184.bmp
18,04818	19,10781	18,79446	20,54043	0,096839	0,044543	0,057318	-0,0258	0,02051	0,020703	0,020433	0,019663	0,401924	0,389392	0,395654	0,375949	A185.bmp
21,26174	22,84993	21,70188	22,4716	0,019835	-0,0443	0,003483	-0,02601	0,016092	0,015482	0,015967	0,015432	0,368416	0,353176	0,36358	0,357541	A186.bmp
11,26057	11,39393	11,5677	10,91883	0,061348	0,053623	0,041188	0,095891	0,036497	0,037038	0,036295	0,037296	0,461924	0,466652	0,463171	0,469477	A187.bmp
15,46073	15,93007	15,81909	15,56053	0,047481	0,03225	0,0385	0,053096	0,019858	0,019873	0,020042	0,020042	0,402284	0,400021	0,401804	0,399945	A188.bmp
56,60451	70,42562	57,16905	71,22171	0,319433	0,154195	0,314686	0,1438	0,039083	0,033527	0,038379	0,034192	0,466213	0,388289	0,450517	0,408229	A189.bmp
18,37055	17,1716	17,50716	16,99633	-0,01329	0,055078	0,040315	0,065437	0,018839	0,019396	0,019745	0,019705	0,378787	0,395222	0,390579	0,397737	A190.bmp
19,01427	18,59427	19,83938	19,86547	0,031355	0,044483	-0,01218	-0,02091	0,019143	0,019845	0,018788	0,019003	0,386828	0,395373	0,378284	0,376158	A191.bmp
24,39751	24,16754	23,24456	25,85528	-0,00456	0,001034	0,042185	-0,06621	0,017891	0,018592	0,019088	0,018248	0,366739	0,370718	0,373684	0,350805	A192.bmp
63,92132	87,97468	72,51584	76,9294	0,318984	0,083552	0,234142	0,198965	0,0405	0,031688	0,038753	0,034252	0,445474	0,375952	0,422215	0,386373	A193.bmp
16,2804	18,06156	17,17663	16,57123	0,06877	-0,02874	0,017065	0,056605	0,019999	0,018842	0,019562	0,020203	0,398606	0,379028	0,393677	0,402726	A194.bmp
15,42789	15,98111	16,01614	16,30946	0,070575	0,031992	0,029096	0,013569	0,022561	0,02241	0,022802	0,022234	0,404879	0,397606	0,398736	0,398088	A195.bmp
38,64167	45,52127	46,39502	61,04474	0,389597	0,291474	0,274139	0,049875	0,063448	0,059114	0,055648	0,043095	0,490935	0,459235	0,45335	0,376162	A196.bmp
14,93809	16,51524	15,15046	15,38506	0,026942	-0,06342	0,024555	0,013638	0,025606	0,024799	0,025655	0,025169	0,414151	0,396128	0,416184	0,408578	A197.bmp
42,60552	57,38355	53,94707	60,09061	0,467482	0,28913	0,326547	0,254228	0,043587	0,033862	0,036839	0,033397	0,506509	0,426667	0,444639	0,40463	A198.bmp
27,70026	27,22289	27,56816	24,65875	-0,0143	-0,00477	-0,01285	0,087628	0,016933	0,017172	0,017281	0,017681	0,354293	0,363948	0,357731	0,375081	A199.bmp
17,25398	16,56481	15,83375	17,52602	-0,01924	0,020726	0,058435	-0,03696	0,023135	0,023828	0,023969	0,023189	0,403916	0,409517	0,413319	0,40271	A200.bmp
14,76296	15,19473	13,60875	15,09218	0,044715	0,023273	0,126892	0,030059	0,032695	0,0329	0,035628	0,032313	0,451092	0,446152	0,471681	0,440109	A201.bmp
15,88129	15,7774	16,06364	14,75243	-0,00698	0,000198	-0,01538	0,064108	0,038978	0,041267	0,039203	0,041704	0,456178	0,462894	0,45649	0,470017	A202.bmp
20,5645	20,15376	18,46089	19,61237	-0,0224	0,001983	0,082543	0,02684	0,028677	0,030493	0,031709	0,030308	0,413689	0,422221	0,43766	0,421165	A203.bmp

Kontras				Korelasi				Energi				Homogenitas				Nama Citra
0°	45°	90°	135°	0°	45°	90°	135°	0°	45°	90°	135°	0°	45°	90°	135°	
19,72969	19,58468	18,59724	18,80886	-0,01937	-0,00883	0,046448	0,03618	0,027579	0,028063	0,028073	0,02888	0,408447	0,412182	0,425422	0,419503	A204.bmp
53,83165	71,60072	52,16147	64,00638	0,334106	0,124651	0,3602	0,217137	0,058271	0,043771	0,060345	0,051548	0,474792	0,403059	0,469838	0,426242	A205.bmp
20,77259	21,4257	20,80562	20,91125	0,044623	0,023162	0,047424	0,04881	0,025967	0,025828	0,025979	0,026711	0,412824	0,403138	0,415258	0,410991	A206.bmp
22,43989	22,37081	21,67272	21,83429	0,081316	0,103706	0,127173	0,127664	0,019239	0,01951	0,0198	0,019152	0,398345	0,395939	0,404452	0,401259	A207.bmp
24,06981	24,0165	23,86877	23,32336	0,012345	0,02222	0,026035	0,0514	0,020836	0,021534	0,021139	0,021588	0,384107	0,383499	0,385893	0,386318	A208.bmp
23,26343	22,63718	19,95842	24,33217	-0,01938	0,018077	0,14205	-0,05033	0,024016	0,025166	0,025407	0,023121	0,396178	0,405391	0,422969	0,383501	A209.bmp
23,63213	25,06382	23,1516	23,55598	0,023969	-0,03272	0,049022	0,033481	0,021931	0,021405	0,022334	0,021653	0,391753	0,381422	0,3954	0,387442	A210.bmp
17,12141	17,52933	16,45875	16,98977	0,034222	0,014761	0,073117	0,044744	0,019463	0,018905	0,019206	0,018901	0,390764	0,387245	0,400141	0,388237	A211.bmp
23,53312	26,34153	25,01428	24,8003	0,058564	-0,05298	0,009344	0,008251	0,016607	0,016133	0,016559	0,016335	0,370349	0,347987	0,363025	0,354732	A212.bmp
49,07863	71,86212	60,45828	69,07225	0,423177	0,167077	0,301198	0,199218	0,048214	0,037147	0,042865	0,039094	0,49263	0,406675	0,459471	0,423073	A213.bmp
18,04262	18,038	18,30662	17,53739	0,017109	0,022366	0,003561	0,049051	0,018373	0,018492	0,01812	0,018432	0,381056	0,380635	0,378619	0,385911	A214.bmp
17,63003	17,1762	17,29906	17,63358	-0,00664	0,032548	0,023273	0,007595	0,023275	0,024619	0,023672	0,023662	0,395726	0,408411	0,404151	0,400133	A215.bmp
11,07637	10,71899	10,25639	11,09357	0,098059	0,115288	0,165015	0,081429	0,036923	0,039911	0,038396	0,038587	0,469808	0,484992	0,486353	0,46974	A216.bmp
17,62695	16,6547	15,77307	16,70866	-0,03387	0,026311	0,089745	0,019426	0,02622	0,027233	0,027182	0,027258	0,408279	0,420984	0,426745	0,41627	A217.bmp
27,28082	27,44567	27,79019	26,74615	-0,00731	-0,01215	-0,02427	0,014614	0,013193	0,013361	0,013153	0,013484	0,337161	0,345215	0,342671	0,346959	A218.bmp
27,70026	27,22289	27,56816	24,65875	-0,0143	-0,00477	-0,01285	0,087628	0,016933	0,017172	0,017281	0,017681	0,354293	0,363948	0,357731	0,375081	A219.bmp
23,62839	25,86915	24,53946	22,40658	0,028322	-0,05156	0,003382	0,089369	0,014244	0,014266	0,013982	0,014316	0,357406	0,343076	0,347994	0,367092	A220.bmp
56,88737	84,4898	65,10729	81,02496	0,38631	0,098705	0,302597	0,136491	0,051421	0,040289	0,047675	0,040242	0,480775	0,376811	0,440152	0,393673	A221.bmp
13,95151	15,06295	14,97786	14,41447	0,079836	0,015314	0,006734	0,057214	0,029553	0,029116	0,029635	0,030136	0,438825	0,427649	0,431142	0,440276	A222.bmp
16,32712	15,67134	14,13316	15,63918	-0,01518	0,030608	0,1191	0,032406	0,020285	0,021052	0,021548	0,020879	0,388957	0,405155	0,42069	0,405578	A223.bmp
19,22319	19,62764	18,96849	18,58131	0,037409	0,010498	0,043984	0,063867	0,01967	0,019449	0,019975	0,019987	0,387656	0,38248	0,393066	0,39408	A224.bmp
10,21497	9,75239	9,585376	9,813079	0,058517	0,106024	0,124938	0,106114	0,031649	0,032027	0,032736	0,031551	0,451828	0,462705	0,469141	0,458738	A225.bmp
56,88737	84,4898	65,10729	81,02496	0,38631	0,098705	0,302597	0,136491	0,051421	0,040289	0,047675	0,040242	0,480775	0,376811	0,440152	0,393673	A226.bmp

Kontras				Korelasi				Energi				Homogenitas				Nama Citra
0°	45°	90°	135°	0°	45°	90°	135°	0°	45°	90°	135°	0°	45°	90°	135°	
21,40468	20,61222	20,82208	19,79787	-0,01766	0,01662	0,009092	0,057392	0,017997	0,018616	0,018119	0,018824	0,36542	0,377074	0,371997	0,383776	A227.bmp
21,04743	21,30047	20,40332	20,17079	-0,00639	-0,02102	0,031166	0,041012	0,018819	0,018719	0,019082	0,019068	0,37904	0,372318	0,379992	0,382574	A228.bmp
24,99582	23,78672	23,77524	25,06567	-0,05951	-0,00971	-0,00877	-0,06257	0,018207	0,018951	0,019062	0,018555	0,359081	0,367713	0,366277	0,356958	A229.bmp
18,08562	16,72703	16,18051	16,34238	-0,05872	0,021146	0,048245	0,043563	0,021705	0,0237	0,023404	0,023098	0,384105	0,405139	0,40869	0,407572	A230.bmp
41,05247	67,96139	53,2553	67,1836	0,50881	0,194834	0,370157	0,204056	0,057563	0,044574	0,049845	0,043067	0,54767	0,441673	0,495584	0,437141	A231.bmp
19,92227	19,82997	19,65104	20,1202	-0,01193	-0,00421	0,003368	-0,02052	0,020682	0,020664	0,02038	0,020781	0,38251	0,38475	0,384289	0,384979	A232.bmp
17,78244	18,80966	18,71767	18,25569	0,028883	-0,0194	0,00725	0,016691	0,02342	0,02292	0,022677	0,022894	0,413666	0,401238	0,405112	0,403707	A233.bmp
36,4989	57,8749	45,19504	52,16109	0,528919	0,258986	0,414035	0,333986	0,043224	0,027917	0,036252	0,035341	0,511329	0,407934	0,48606	0,455168	A234.bmp
18,8528	18,40163	19,82036	19,124	0,042031	0,067809	-0,00083	0,032932	0,021703	0,021384	0,020112	0,020722	0,400552	0,403394	0,388458	0,397109	A235.bmp
25,87982	25,06683	26,8998	25,29009	-0,05249	-0,01543	-0,08666	-0,0244	0,018508	0,018771	0,018051	0,01862	0,363341	0,365661	0,352597	0,365112	A236.bmp
19,88059	19,42076	20,10607	20,15132	0,007468	0,035931	0,00554	0,001443	0,017542	0,017811	0,017771	0,017476	0,373031	0,379324	0,375442	0,37148	A237.bmp
47,31505	60,98042	52,89365	63,87029	0,376145	0,189904	0,294318	0,151877	0,041586	0,035113	0,035553	0,031982	0,489385	0,416909	0,452652	0,401702	A238.bmp
22,75657	22,46638	22,33665	24,43019	-0,00562	-0,00043	-0,0055	-0,08632	0,022075	0,022721	0,022805	0,021472	0,390152	0,394742	0,39277	0,374495	A239.bmp
14,82673	14,7752	14,20221	13,84183	0,018552	0,025391	0,061674	0,088274	0,022569	0,02292	0,02295	0,023688	0,4092	0,409603	0,420686	0,424249	A240.bmp
16,06376	16,47304	14,75484	15,74352	0,004615	-0,01667	0,087881	0,029054	0,022795	0,023338	0,024399	0,023938	0,400709	0,395445	0,42002	0,409673	A241.bmp
56,22923	71,53161	53,18184	68,2103	0,27721	0,082521	0,311961	0,126063	0,042823	0,035053	0,043609	0,037719	0,45028	0,36878	0,457578	0,405929	A242.bmp
17,34677	16,71823	16,0398	18,25061	-0,00424	0,048551	0,083363	-0,0411	0,023211	0,024085	0,024764	0,023007	0,397323	0,405208	0,412034	0,396076	A243.bmp
15,41079	15,57016	15,55312	15,12461	0,033015	0,029926	0,032023	0,060259	0,027066	0,026733	0,026107	0,026998	0,426511	0,420888	0,418584	0,42458	A244.bmp
50,35691	72,0801	60,75779	70,18516	0,426873	0,186987	0,315556	0,208412	0,037856	0,029244	0,032789	0,030572	0,480405	0,400354	0,441788	0,406346	A245.bmp
20,46761	22,20576	20,4486	20,41172	0,032413	-0,03838	0,035837	0,047892	0,020372	0,019527	0,02052	0,020247	0,384815	0,367148	0,377924	0,378687	A246.bmp
14,84016	15,57458	14,92421	15,90257	0,038516	-0,00081	0,044069	-0,01975	0,024172	0,024001	0,0239	0,023687	0,418216	0,405904	0,414997	0,4074	A247.bmp
22,33257	21,91398	21,65463	23,67906	-0,0162	-0,00425	-0,0023	-0,0841	0,02141	0,022235	0,022307	0,021686	0,383408	0,389759	0,389165	0,37447	A248.bmp
21,88348	22,34092	22,04359	23,61058	-0,00566	-0,03797	-0,02507	-0,09847	0,023461	0,023544	0,022792	0,02337	0,389863	0,385891	0,381454	0,378777	A249.bmp

Kontras				Korelasi				Energi				Homogenitas				Nama Citra
0°	45°	90°	135°	0°	45°	90°	135°	0°	45°	90°	135°	0°	45°	90°	135°	
50,69923	62,092	45,31019	63,27964	0,335381	0,197146	0,408462	0,182707	0,059222	0,051841	0,06491	0,049628	0,487685	0,439526	0,521953	0,435597	A250.bmp
17,92353	19,60894	20,65941	18,99538	0,084806	0,010881	-0,04953	0,042378	0,025194	0,023811	0,023234	0,024563	0,415795	0,397392	0,379391	0,400234	A251.bmp
19,39756	19,49605	19,48196	19,01933	-0,01454	-0,02708	-0,02161	0,000437	0,021331	0,021991	0,022292	0,022584	0,378023	0,381219	0,384897	0,387058	A252.bmp
45,59521	68,61592	59,07413	68,12414	0,437553	0,164056	0,286926	0,172461	0,05942	0,041907	0,044106	0,043092	0,531435	0,429625	0,461185	0,434897	A253.bmp
14,78475	14,86855	15,49518	15,27387	0,018434	0,025675	-0,02028	-0,00128	0,023106	0,023273	0,022884	0,022662	0,409547	0,411835	0,402679	0,40372	A254.bmp
19,26804	17,86995	17,92819	17,50446	-0,06773	0,017381	0,017252	0,035554	0,017088	0,017859	0,017674	0,018147	0,370486	0,386074	0,389331	0,390313	A255.bmp
20,30611	20,74354	20,95648	20,01321	0,076623	0,059304	0,04697	0,09307	0,018873	0,019159	0,019233	0,019671	0,387225	0,384256	0,386356	0,39365	A256.bmp
17,25398	16,56481	15,83375	17,52602	-0,01924	0,020726	0,058435	-0,03696	0,023135	0,023828	0,023969	0,023189	0,403916	0,409517	0,413319	0,40271	A257.bmp
47,4405	54,56181	45,81622	65,87913	0,45239	0,379754	0,480301	0,249528	0,035795	0,033932	0,038536	0,030301	0,462028	0,421298	0,471139	0,401457	A258.bmp
19,06567	18,83006	19,71651	18,63055	-0,01099	0,007832	-0,03361	0,017857	0,021817	0,022194	0,021433	0,022465	0,388426	0,397777	0,385307	0,402076	A259.bmp
20,14746	20,31876	19,93231	21,02115	0,022962	0,018244	0,039886	-0,01296	0,018688	0,01869	0,018658	0,018247	0,383657	0,381744	0,392493	0,373123	A260.bmp
21,80471	22,61052	21,62412	20,73178	-0,02042	-0,05782	-0,00887	0,03038	0,01785	0,017712	0,017837	0,01856	0,364841	0,36613	0,367861	0,376965	A261.bmp
37,29385	53,95522	42,89854	54,11318	0,396188	0,131168	0,306249	0,13019	0,050957	0,036946	0,044673	0,041644	0,486548	0,401173	0,456154	0,407733	A262.bmp
19,23827	17,90224	18,16329	19,4377	-0,04755	0,038853	0,02608	-0,04391	0,025059	0,025632	0,025862	0,025068	0,393293	0,406783	0,40416	0,393323	A263.bmp
16,23824	16,90524	16,56142	17,50619	0,050244	0,013299	0,037419	-0,01827	0,023527	0,023324	0,02327	0,022618	0,411775	0,40184	0,408552	0,392391	A264.bmp
17,81015	20,72441	20,1407	18,50462	0,082401	-0,05757	-0,03755	0,057637	0,02226	0,020992	0,021105	0,021829	0,403218	0,377399	0,379453	0,39692	A265.bmp
46,24117	67,57246	50,44506	58,34782	0,375631	0,069869	0,294956	0,196263	0,052595	0,03949	0,051245	0,044444	0,483929	0,384831	0,463551	0,419311	A266.bmp
16,41779	16,72888	15,12292	16,44697	0,019919	-0,00804	0,091402	0,009424	0,023441	0,02378	0,023547	0,023751	0,406784	0,403606	0,415343	0,407452	A267.bmp
16,94259	17,51037	16,55253	17,0884	0,027784	0,006679	0,059139	0,030486	0,019162	0,018979	0,019821	0,019178	0,391037	0,386105	0,398762	0,390801	A268.bmp
16,59771	16,94065	16,04422	16,28123	0,015608	0,004619	0,061656	0,043789	0,021321	0,021172	0,021692	0,021535	0,402082	0,400222	0,412232	0,405517	A269.bmp
17,51026	18,25216	16,19946	17,67649	0,003323	-0,03763	0,076054	-0,00516	0,023373	0,024035	0,025481	0,024446	0,408085	0,40081	0,4217	0,408135	A270.bmp
43,32397	53,78678	48,18325	63,60302	0,444665	0,310036	0,377325	0,183349	0,074341	0,064436	0,070737	0,056464	0,525386	0,481095	0,495139	0,42473	A271.bmp
11,86657	11,10839	10,065	11,63043	0,023323	0,090641	0,173673	0,05039	0,033177	0,036195	0,037613	0,034758	0,4501	0,469894	0,487165	0,455241	A272.bmp

Kontras				Korelasi				Energi				Homogenitas				Nama Citra
0°	45°	90°	135°	0°	45°	90°	135°	0°	45°	90°	135°	0°	45°	90°	135°	
15,42259	15,97556	14,2535	14,82039	0,001854	-0,03329	0,078544	0,043898	0,022047	0,022128	0,022877	0,022536	0,402578	0,399387	0,419395	0,41079	A273.bmp
20,08749	21,37007	20,34703	21,46299	-0,00165	-0,05618	-0,01234	-0,0628	0,020758	0,020499	0,021021	0,020308	0,381038	0,376012	0,388844	0,369572	A274.bmp
19,92903	21,98883	19,85158	20,06018	0,027545	-0,05951	0,033158	0,032435	0,021366	0,020302	0,022316	0,021231	0,393118	0,374136	0,400126	0,39181	A275.bmp
20,29758	19,16191	19,92329	21,49444	-0,00423	0,051415	0,006846	-0,06665	0,01958	0,02164	0,020639	0,019824	0,37651	0,391947	0,384418	0,363642	A276.bmp
46,29188	60,45613	41,41417	57,97601	0,423236	0,249159	0,485342	0,28112	0,037825	0,031246	0,043546	0,031856	0,476718	0,415264	0,502299	0,40566	A277.bmp
22,03014	21,94117	21,57124	21,75655	0,05023	0,059787	0,065812	0,066597	0,023374	0,024213	0,024963	0,024643	0,400377	0,401766	0,411752	0,407153	A278.bmp
18,91714	17,38275	18,30892	17,85059	-0,00349	0,077309	0,038599	0,051302	0,017949	0,019121	0,018316	0,018748	0,373559	0,398336	0,379261	0,386978	A279.bmp
19,54453	18,2844	18,92619	19,28515	0,056098	0,12911	0,088857	0,078803	0,018079	0,018031	0,01783	0,017757	0,386339	0,400717	0,391752	0,387067	A280.bmp
22,66061	22,93617	24,016	23,85593	0,027113	0,025213	-0,01943	-0,01198	0,019471	0,01871	0,018677	0,018576	0,383871	0,372208	0,370996	0,371639	A281.bmp
68,80939	81,52727	72,53199	97,8615	0,329272	0,201753	0,280518	0,040129	0,031561	0,026808	0,028784	0,022496	0,430341	0,393806	0,424393	0,335314	A282.bmp
19,34585	19,13138	18,50552	18,91079	-0,04804	-0,04515	-0,00262	-0,03022	0,020284	0,021062	0,021021	0,02091	0,382624	0,382803	0,386825	0,385556	A283.bmp
13,31464	13,02945	13,05873	12,75294	-0,00214	0,031886	0,02324	0,049573	0,024027	0,024727	0,02485	0,024904	0,416447	0,419848	0,421822	0,425418	A284.bmp
18,04818	19,10781	18,79446	20,54043	0,096839	0,044543	0,057318	-0,0258	0,02051	0,020703	0,020433	0,019663	0,401924	0,389392	0,395654	0,375949	A285.bmp
21,26174	22,84993	21,70188	22,4716	0,019835	-0,0443	0,003483	-0,02601	0,016092	0,015482	0,015967	0,015432	0,368416	0,353176	0,36358	0,357541	A286.bmp
11,26057	11,39393	11,5677	10,91883	0,061348	0,053623	0,041188	0,095891	0,036497	0,037038	0,036295	0,037296	0,461924	0,466652	0,463171	0,469477	A287.bmp
15,46073	15,93007	15,81909	15,56053	0,047481	0,03225	0,0385	0,053096	0,019858	0,019873	0,020042	0,020042	0,402284	0,400021	0,401804	0,399945	A288.bmp
56,60451	70,42562	57,16905	71,22171	0,319433	0,154195	0,314686	0,1438	0,039083	0,033527	0,038379	0,034192	0,466213	0,388289	0,450517	0,408229	A289.bmp
18,37055	17,1716	17,50716	16,99633	-0,01329	0,055078	0,040315	0,065437	0,018839	0,019396	0,019745	0,019705	0,378787	0,395222	0,390579	0,397737	A290.bmp
19,01427	18,59427	19,83938	19,86547	0,031355	0,044483	-0,01218	-0,02091	0,019143	0,019845	0,018788	0,019003	0,386828	0,395373	0,378284	0,376158	A291.bmp
24,39751	24,16754	23,24456	25,85528	-0,00456	0,001034	0,042185	-0,06621	0,017891	0,018592	0,019088	0,018248	0,366739	0,370718	0,373684	0,350805	A292.bmp
63,92132	87,97468	72,51584	76,9294	0,318984	0,083552	0,234142	0,198965	0,0405	0,031688	0,038753	0,034252	0,445474	0,375952	0,422215	0,386373	A293.bmp
16,2804	18,06156	17,17663	16,57123	0,06877	-0,02874	0,017065	0,056605	0,019999	0,018842	0,019562	0,020203	0,398606	0,379028	0,393677	0,402726	A294.bmp
15,42789	15,98111	16,01614	16,30946	0,070575	0,031992	0,029096	0,013569	0,022561	0,02241	0,022802	0,022234	0,404879	0,397606	0,398736	0,398088	A295.bmp

Kontras				Korelasi				Energi				Homogenitas				Nama Citra
0°	45°	90°	135°	0°	45°	90°	135°	0°	45°	90°	135°	0°	45°	90°	135°	
38,64167	45,52127	46,39502	61,04474	0,389597	0,291474	0,274139	0,049875	0,063448	0,059114	0,055648	0,043095	0,490935	0,459235	0,45335	0,376162	A296.bmp
14,93809	16,51524	15,15046	15,38506	0,026942	-0,06342	0,024555	0,013638	0,025606	0,024799	0,025655	0,025169	0,414151	0,396128	0,416184	0,408578	A297.bmp
42,60552	57,38355	53,94707	60,09061	0,467482	0,28913	0,326547	0,254228	0,043587	0,033862	0,036839	0,033397	0,506509	0,426667	0,444639	0,40463	A298.bmp
27,70026	27,22289	27,56816	24,65875	-0,0143	-0,00477	-0,01285	0,087628	0,016933	0,017172	0,017281	0,017681	0,354293	0,363948	0,357731	0,375081	A299.bmp
17,25398	17,52602	15,83375	16,56481	-0,01924	-0,03696	0,058435	0,020726	0,023135	0,023189	0,023969	0,023828	0,403916	0,40271	0,413319	0,409517	A300.bmp
14,76296	15,09218	13,60875	15,19473	0,044715	0,030059	0,126892	0,023273	0,032695	0,032313	0,035628	0,0329	0,451092	0,440109	0,471681	0,446152	A301.bmp
15,88129	14,75243	16,06364	15,7774	-0,00698	0,064108	-0,01538	0,000198	0,038978	0,041704	0,039203	0,041267	0,456178	0,470017	0,45649	0,462894	A302.bmp
20,5645	19,61237	18,46089	20,15376	-0,0224	0,02684	0,082543	0,001983	0,028677	0,030308	0,031709	0,030493	0,413689	0,421165	0,43766	0,422221	A303.bmp
19,72969	18,80886	18,59724	19,58468	-0,01937	0,03618	0,046448	-0,00883	0,027579	0,02888	0,028073	0,028063	0,408447	0,419503	0,425422	0,412182	A304.bmp
53,83165	64,00638	52,16147	71,60072	0,334106	0,217137	0,3602	0,124651	0,058271	0,051548	0,060345	0,043771	0,474792	0,426242	0,469838	0,403059	A305.bmp
20,77259	20,91125	20,80562	21,4257	0,044623	0,04881	0,047424	0,023162	0,025967	0,026711	0,025979	0,025828	0,412824	0,410991	0,415258	0,403138	A306.bmp
22,43989	21,83429	21,67272	22,37081	0,081316	0,127664	0,127173	0,103706	0,019239	0,019152	0,0198	0,01951	0,398345	0,401259	0,404452	0,395939	A307.bmp
24,06981	23,32336	23,86877	24,0165	0,012345	0,0514	0,026035	0,02222	0,020836	0,021588	0,021139	0,021534	0,384107	0,386318	0,385893	0,383499	A308.bmp
23,26343	24,33217	19,95842	22,63718	-0,01938	-0,05033	0,14205	0,018077	0,024016	0,023121	0,025407	0,025166	0,396178	0,383501	0,422969	0,405391	A309.bmp
23,63213	23,55598	23,1516	25,06382	0,023969	0,033481	0,049022	-0,03272	0,021931	0,021653	0,022334	0,021405	0,391753	0,387442	0,3954	0,381422	A310.bmp
17,12141	16,98977	16,45875	17,52933	0,034222	0,044744	0,073117	0,014761	0,019463	0,018901	0,019206	0,018905	0,390764	0,388237	0,400141	0,387245	A311.bmp
23,53312	24,8003	25,01428	26,34153	0,058564	0,008251	0,009344	-0,05298	0,016607	0,016335	0,016559	0,016133	0,370349	0,354732	0,363025	0,347987	A312.bmp
49,07863	69,07225	60,45828	71,86212	0,423177	0,199218	0,301198	0,167077	0,048214	0,039094	0,042865	0,037147	0,49263	0,423073	0,459471	0,406675	A313.bmp
18,04262	17,53739	18,30662	18,038	0,017109	0,049051	0,003561	0,022366	0,018373	0,018432	0,01812	0,018492	0,381056	0,385911	0,378619	0,380635	A314.bmp
17,63003	17,63358	17,29906	17,1762	-0,00664	0,007595	0,023273	0,032548	0,023275	0,023662	0,023672	0,024619	0,395726	0,400133	0,404151	0,408411	A315.bmp
11,07637	11,09357	10,25639	10,71899	0,098059	0,081429	0,165015	0,115288	0,036923	0,038587	0,038396	0,039911	0,469808	0,46974	0,486353	0,484992	A316.bmp
17,62695	16,70866	15,77307	16,6547	-0,03387	0,019426	0,089745	0,026311	0,02622	0,027258	0,027182	0,027233	0,408279	0,41627	0,426745	0,420984	A317.bmp
27,28082	26,74615	27,79019	27,44567	-0,00731	0,014614	-0,02427	-0,01215	0,013193	0,013484	0,013153	0,013361	0,337161	0,346959	0,342671	0,345215	A318.bmp

Kontras				Korelasi				Energi				Homogenitas				Nama Citra
0°	45°	90°	135°	0°	45°	90°	135°	0°	45°	90°	135°	0°	45°	90°	135°	
27,70026	24,65875	27,56816	27,22289	-0,0143	0,087628	-0,01285	-0,00477	0,016933	0,017681	0,017281	0,017172	0,354293	0,375081	0,357731	0,363948	A319.bmp
23,62839	22,40658	24,53946	25,86915	0,028322	0,089369	0,003382	-0,05156	0,014244	0,014316	0,013982	0,014266	0,357406	0,367092	0,347994	0,343076	A320.bmp
56,88737	81,02496	65,10729	84,4898	0,38631	0,136491	0,302597	0,098705	0,051421	0,040242	0,047675	0,040289	0,480775	0,393673	0,440152	0,376811	A321.bmp
13,95151	14,41447	14,97786	15,06295	0,079836	0,057214	0,006734	0,015314	0,029553	0,030136	0,029635	0,029116	0,438825	0,440276	0,431142	0,427649	A322.bmp
16,32712	15,63918	14,13316	15,67134	-0,01518	0,032406	0,1191	0,030608	0,020285	0,020879	0,021548	0,021052	0,388957	0,405578	0,42069	0,405155	A323.bmp
19,22319	18,58131	18,96849	19,62764	0,037409	0,063867	0,043984	0,010498	0,01967	0,019987	0,019975	0,019449	0,387656	0,39408	0,393066	0,38248	A324.bmp
10,21497	9,813079	9,585376	9,75239	0,058517	0,106114	0,124938	0,106024	0,031649	0,031551	0,032736	0,032027	0,451828	0,458738	0,469141	0,462705	A325.bmp
56,88737	81,02496	65,10729	84,4898	0,38631	0,136491	0,302597	0,098705	0,051421	0,040242	0,047675	0,040289	0,480775	0,393673	0,440152	0,376811	A326.bmp
21,40468	19,79787	20,82208	20,61222	-0,01766	0,057392	0,009092	0,01662	0,017997	0,018824	0,018119	0,018616	0,36542	0,383776	0,371997	0,377074	A327.bmp
21,04743	20,17079	20,40332	21,30047	-0,00639	0,041012	0,031166	-0,02102	0,018819	0,019068	0,019082	0,018719	0,37904	0,382574	0,379992	0,372318	A328.bmp
24,99582	25,06567	23,77524	23,78672	-0,05951	-0,06257	-0,00877	-0,00971	0,018207	0,018555	0,019062	0,018951	0,359081	0,356958	0,366277	0,367713	A329.bmp
18,08562	16,34238	16,18051	16,72703	-0,05872	0,043563	0,048245	0,021146	0,021705	0,023098	0,023404	0,0237	0,384105	0,407572	0,40869	0,405139	A330.bmp
41,05247	67,1836	53,2553	67,96139	0,50881	0,204056	0,370157	0,194834	0,057563	0,043067	0,049845	0,044574	0,54767	0,437141	0,495584	0,441673	A331.bmp
19,92227	20,1202	19,65104	19,82997	-0,01193	-0,02052	0,003368	-0,00421	0,020682	0,020781	0,02038	0,020664	0,38251	0,384979	0,384289	0,38475	A332.bmp
17,78244	18,25569	18,71767	18,80966	0,028883	0,016691	0,00725	-0,0194	0,02342	0,022894	0,022677	0,02292	0,413666	0,403707	0,405112	0,401238	A333.bmp
36,4989	52,16109	45,19504	57,8749	0,528919	0,333986	0,414035	0,258986	0,043224	0,035341	0,036252	0,027917	0,511329	0,455168	0,48606	0,407934	A334.bmp
18,8528	19,124	19,82036	18,40163	0,042031	0,032932	-0,00083	0,067809	0,021703	0,020722	0,020112	0,021384	0,400552	0,397109	0,388458	0,403394	A335.bmp
25,87982	25,29009	26,8998	25,06683	-0,05249	-0,0244	-0,08666	-0,01543	0,018508	0,01862	0,018051	0,018771	0,363341	0,365112	0,352597	0,365661	A336.bmp
19,88059	20,15132	20,10607	19,42076	0,007468	0,001443	0,00554	0,035931	0,017542	0,017476	0,017771	0,017811	0,373031	0,37148	0,375442	0,379324	A337.bmp
47,31505	63,87029	52,89365	60,98042	0,376145	0,151877	0,294318	0,189904	0,041586	0,031982	0,035553	0,035113	0,489385	0,401702	0,452652	0,416909	A338.bmp
22,75657	24,43019	22,33665	22,46638	-0,00562	-0,08632	-0,0055	-0,00043	0,022075	0,021472	0,022805	0,022721	0,390152	0,374495	0,39277	0,394742	A339.bmp
14,82673	13,84183	14,20221	14,7752	0,018552	0,088274	0,061674	0,025391	0,022569	0,023688	0,02295	0,02292	0,4092	0,424249	0,420686	0,409603	A340.bmp
16,06376	15,74352	14,75484	16,47304	0,004615	0,029054	0,087881	-0,01667	0,022795	0,023938	0,024399	0,023338	0,400709	0,409673	0,42002	0,395445	A341.bmp

Kontras				Korelasi				Energi				Homogenitas				Nama Citra
0°	45°	90°	135°	0°	45°	90°	135°	0°	45°	90°	135°	0°	45°	90°	135°	
56,22923	68,2103	53,18184	71,53161	0,27721	0,126063	0,311961	0,082521	0,042823	0,037719	0,043609	0,035053	0,45028	0,405929	0,457578	0,36878	A342.bmp
17,34677	18,25061	16,0398	16,71823	-0,00424	-0,0411	0,083363	0,048551	0,023211	0,023007	0,024764	0,024085	0,397323	0,396076	0,412034	0,405208	A343.bmp
15,41079	15,12461	15,55312	15,57016	0,033015	0,060259	0,032023	0,029926	0,027066	0,026998	0,026107	0,026733	0,426511	0,42458	0,418584	0,420888	A344.bmp
50,35691	70,18516	60,75779	72,0801	0,426873	0,208412	0,315556	0,186987	0,037856	0,030572	0,032789	0,029244	0,480405	0,406346	0,441788	0,400354	A345.bmp
20,46761	20,41172	20,4486	22,20576	0,032413	0,047892	0,035837	-0,03838	0,020372	0,020247	0,02052	0,019527	0,384815	0,378687	0,377924	0,367148	A346.bmp
14,84016	15,90257	14,92421	15,57458	0,038516	-0,01975	0,044069	-0,00081	0,024172	0,023687	0,0239	0,024001	0,418216	0,4074	0,414997	0,405904	A347.bmp
22,33257	23,67906	21,65463	21,91398	-0,0162	-0,0841	-0,0023	-0,00425	0,02141	0,021686	0,022307	0,022235	0,383408	0,37447	0,389165	0,389759	A348.bmp
21,88348	23,61058	22,04359	22,34092	-0,00566	-0,09847	-0,02507	-0,03797	0,023461	0,02337	0,022792	0,023544	0,389863	0,378777	0,381454	0,385891	A349.bmp
50,69923	63,27964	45,31019	62,092	0,335381	0,182707	0,408462	0,197146	0,059222	0,049628	0,06491	0,051841	0,487685	0,435597	0,521953	0,439526	A350.bmp
17,92353	18,99538	20,65941	19,60894	0,084806	0,042378	-0,04953	0,010881	0,025194	0,024563	0,023234	0,023811	0,415795	0,400234	0,379391	0,397392	A351.bmp
19,39756	19,01933	19,48196	19,49605	-0,01454	0,000437	-0,02161	-0,02708	0,021331	0,022584	0,022292	0,021991	0,378023	0,387058	0,384897	0,381219	A352.bmp
45,59521	68,12414	59,07413	68,61592	0,437553	0,172461	0,286926	0,164056	0,05942	0,043092	0,044106	0,041907	0,531435	0,434897	0,461185	0,429625	A353.bmp
14,78475	15,27387	15,49518	14,86855	0,018434	-0,00128	-0,02028	0,025675	0,023106	0,022662	0,022884	0,023273	0,409547	0,40372	0,402679	0,411835	A354.bmp
19,26804	17,50446	17,92819	17,86995	-0,06773	0,035554	0,017252	0,017381	0,017088	0,018147	0,017674	0,017859	0,370486	0,390313	0,389331	0,386074	A355.bmp
20,30611	20,01321	20,95648	20,74354	0,076623	0,09307	0,04697	0,059304	0,018873	0,019671	0,019233	0,019159	0,387225	0,39365	0,386356	0,384256	A356.bmp
17,25398	17,52602	15,83375	16,56481	-0,01924	-0,03696	0,058435	0,020726	0,023135	0,023189	0,023969	0,023828	0,403916	0,40271	0,413319	0,409517	A357.bmp
47,4405	65,87913	45,81622	54,56181	0,45239	0,249528	0,480301	0,379754	0,035795	0,030301	0,038536	0,033932	0,462028	0,401457	0,471139	0,421298	A358.bmp
19,06567	18,63055	19,71651	18,83006	-0,01099	0,017857	-0,03361	0,007832	0,021817	0,022465	0,021433	0,022194	0,388426	0,402076	0,385307	0,397777	A359.bmp
20,14746	21,02115	19,93231	20,31876	0,022962	-0,01296	0,039886	0,018244	0,018688	0,018247	0,018658	0,01869	0,383657	0,373123	0,392493	0,381744	A360.bmp
21,80471	20,73178	21,62412	22,61052	-0,02042	0,03038	-0,00887	-0,05782	0,01785	0,01856	0,017837	0,017712	0,364841	0,376965	0,367861	0,36613	A361.bmp
37,29385	54,11318	42,89854	53,95522	0,396188	0,13019	0,306249	0,131168	0,050957	0,041644	0,044673	0,036946	0,486548	0,407733	0,456154	0,401173	A362.bmp
19,23827	19,4377	18,16329	17,90224	-0,04755	-0,04391	0,02608	0,038853	0,025059	0,025068	0,025862	0,025632	0,393293	0,393323	0,40416	0,406783	A363.bmp
16,23824	17,50619	16,56142	16,90524	0,050244	-0,01827	0,037419	0,013299	0,023527	0,022618	0,02327	0,023324	0,411775	0,392391	0,408552	0,40184	A364.bmp

Kontras				Korelasi				Energi				Homogenitas				Nama Citra
0°	45°	90°	135°	0°	45°	90°	135°	0°	45°	90°	135°	0°	45°	90°	135°	
17,81015	18,50462	20,1407	20,72441	0,082401	0,057637	-0,03755	-0,05757	0,02226	0,021829	0,021105	0,020992	0,403218	0,39692	0,379453	0,377399	A365.bmp
46,24117	58,34782	50,44506	67,57246	0,375631	0,196263	0,294956	0,069869	0,052595	0,044444	0,051245	0,03949	0,483929	0,419311	0,463551	0,384831	A366.bmp
16,41779	16,44697	15,12292	16,72888	0,019919	0,009424	0,091402	-0,00804	0,023441	0,023751	0,023547	0,02378	0,406784	0,407452	0,415343	0,403606	A367.bmp
16,94259	17,0884	16,55253	17,51037	0,027784	0,030486	0,059139	0,006679	0,019162	0,019178	0,019821	0,018979	0,391037	0,390801	0,398762	0,386105	A368.bmp
16,59771	16,28123	16,04422	16,94065	0,015608	0,043789	0,061656	0,004619	0,021321	0,021535	0,021692	0,021172	0,402082	0,405517	0,412232	0,400222	A369.bmp
17,51026	17,67649	16,19946	18,25216	0,003323	-0,00516	0,076054	-0,03763	0,023373	0,024446	0,025481	0,024035	0,408085	0,408135	0,4217	0,40081	A370.bmp
43,32397	63,60302	48,18325	53,78678	0,444665	0,183349	0,377325	0,310036	0,074341	0,056464	0,070737	0,064436	0,525386	0,42473	0,495139	0,481095	A371.bmp
11,86657	11,63043	10,065	11,10839	0,023323	0,05039	0,173673	0,090641	0,033177	0,034758	0,037613	0,036195	0,4501	0,455241	0,487165	0,469894	A372.bmp
15,42259	14,82039	14,2535	15,97556	0,001854	0,043898	0,078544	-0,03329	0,022047	0,022536	0,022877	0,022128	0,402578	0,41079	0,419395	0,399387	A373.bmp
20,08749	21,46299	20,34703	21,37007	-0,00165	-0,0628	-0,01234	-0,05618	0,020758	0,020308	0,021021	0,020499	0,381038	0,369572	0,388844	0,376012	A374.bmp
19,92903	20,06018	19,85158	21,98883	0,027545	0,032435	0,033158	-0,05951	0,021366	0,021231	0,022316	0,020302	0,393118	0,39181	0,400126	0,374136	A375.bmp
20,29758	21,49444	19,92329	19,16191	-0,00423	-0,06665	0,006846	0,051415	0,01958	0,019824	0,020639	0,02164	0,37651	0,363642	0,384418	0,391947	A376.bmp
46,29188	57,97601	41,41417	60,45613	0,423236	0,28112	0,485342	0,249159	0,037825	0,031856	0,043546	0,031246	0,476718	0,40566	0,502299	0,415264	A377.bmp
22,03014	21,75655	21,57124	21,94117	0,05023	0,066597	0,065812	0,059787	0,023374	0,024643	0,024963	0,024213	0,400377	0,407153	0,411752	0,401766	A378.bmp
18,91714	17,85059	18,30892	17,38275	-0,00349	0,051302	0,038599	0,077309	0,017949	0,018748	0,018316	0,019121	0,373559	0,386978	0,379261	0,398336	A379.bmp
19,54453	19,28515	18,92619	18,2844	0,056098	0,078803	0,088857	0,12911	0,018079	0,017757	0,01783	0,018031	0,386339	0,387067	0,391752	0,400717	A380.bmp
22,66061	23,85593	24,016	22,93617	0,027113	-0,01198	-0,01943	0,025213	0,019471	0,018576	0,018677	0,01871	0,383871	0,371639	0,370996	0,372208	A381.bmp
68,80939	97,8615	72,53199	81,52727	0,329272	0,040129	0,280518	0,201753	0,031561	0,022496	0,028784	0,026808	0,430341	0,335314	0,424393	0,393806	A382.bmp
19,34585	18,91079	18,50552	19,13138	-0,04804	-0,03022	-0,00262	-0,04515	0,020284	0,02091	0,021021	0,021062	0,382624	0,385556	0,386825	0,382803	A383.bmp
13,31464	12,75294	13,05873	13,02945	-0,00214	0,049573	0,02324	0,031886	0,024027	0,024904	0,02485	0,024727	0,416447	0,425418	0,421822	0,419848	A384.bmp
18,04818	20,54043	18,79446	19,10781	0,096839	-0,0258	0,057318	0,044543	0,02051	0,019663	0,020433	0,020703	0,401924	0,375949	0,395654	0,389392	A385.bmp
21,26174	22,4716	21,70188	22,84993	0,019835	-0,02601	0,003483	-0,0443	0,016092	0,015432	0,015967	0,015482	0,368416	0,357541	0,36358	0,353176	A386.bmp
11,26057	10,91883	11,5677	11,39393	0,061348	0,095891	0,041188	0,053623	0,036497	0,037296	0,036295	0,037038	0,461924	0,469477	0,463171	0,466652	A387.bmp

Kontras				Korelasi				Energi				Homogenitas				Nama Citra
0°	45°	90°	135°	0°	45°	90°	135°	0°	45°	90°	135°	0°	45°	90°	135°	
15,46073	15,56053	15,81909	15,93007	0,047481	0,053096	0,0385	0,03225	0,019858	0,020042	0,020042	0,019873	0,402284	0,399945	0,401804	0,400021	A388.bmp
56,60451	71,22171	57,16905	70,42562	0,319433	0,1438	0,314686	0,154195	0,039083	0,034192	0,038379	0,033527	0,466213	0,408229	0,450517	0,388289	A389.bmp
18,37055	16,99633	17,50716	17,1716	-0,01329	0,065437	0,040315	0,055078	0,018839	0,019705	0,019745	0,019396	0,378787	0,397737	0,390579	0,395222	A390.bmp
19,01427	19,86547	19,83938	18,59427	0,031355	-0,02091	-0,01218	0,044483	0,019143	0,019003	0,018788	0,019845	0,386828	0,376158	0,378284	0,395373	A391.bmp
24,39751	25,85528	23,24456	24,16754	-0,00456	-0,06621	0,042185	0,001034	0,017891	0,018248	0,019088	0,018592	0,366739	0,350805	0,373684	0,370718	A392.bmp
63,92132	76,9294	72,51584	87,97468	0,318984	0,198965	0,234142	0,083552	0,0405	0,034252	0,038753	0,031688	0,445474	0,386373	0,422215	0,375952	A393.bmp
16,2804	16,57123	17,17663	18,06156	0,06877	0,056605	0,017065	-0,02874	0,019999	0,020203	0,019562	0,018842	0,398606	0,402726	0,393677	0,379028	A394.bmp
15,42789	16,30946	16,01614	15,98111	0,070575	0,013569	0,029096	0,031992	0,022561	0,022234	0,022802	0,02241	0,404879	0,398088	0,398736	0,397606	A395.bmp
38,64167	61,04474	46,39502	45,52127	0,389597	0,049875	0,274139	0,291474	0,063448	0,043095	0,055648	0,059114	0,490935	0,376162	0,45335	0,459235	A396.bmp
14,93809	15,38506	15,15046	16,51524	0,026942	0,013638	0,024555	-0,06342	0,025606	0,025169	0,025655	0,024799	0,414151	0,408578	0,416184	0,396128	A397.bmp
42,60552	60,09061	53,94707	57,38355	0,467482	0,254228	0,326547	0,28913	0,043587	0,033397	0,036839	0,033862	0,506509	0,40463	0,444639	0,426667	A398.bmp
27,70026	24,65875	27,56816	27,22289	-0,0143	0,087628	-0,01285	-0,00477	0,016933	0,017681	0,017281	0,017172	0,354293	0,375081	0,357731	0,363948	A399.bmp
17,25398	16,56481	15,83375	17,52602	-0,01924	0,020726	0,058435	-0,03696	0,023135	0,023828	0,023969	0,023189	0,403916	0,409517	0,413319	0,40271	A400.bmp

2. Data Ekstraksi 16 Fitur GLCM pada 400 citra Normal

Kontras				Korelasi				Energi				Homogenitas				Nama Citra
0°	45°	90°	135°	0°	45°	90°	135°	0°	45°	90°	135°	0°	45°	90°	135°	
33,90607	33,09072	35,00429	31,31719	-0,05228	-0,02473	-0,08663	0,030419	0,013875	0,013666	0,013771	0,013725	0,321289	0,325848	0,312568	0,340547	N001.bmp
33,42311	31,15599	32,46771	30,77792	-0,06962	0,005951	-0,03738	0,019359	0,014598	0,014658	0,014541	0,014739	0,310636	0,334186	0,323064	0,342637	N002.bmp
32,062	31,06172	30,87596	30,65764	-0,03893	-0,00091	0,001098	0,013282	0,014874	0,014813	0,014593	0,014851	0,324827	0,33171	0,332409	0,34282	N003.bmp
27,58136	25,36998	26,41202	24,81417	-0,07851	0,009667	-0,03473	0,030577	0,014419	0,014245	0,01405	0,014132	0,324232	0,351878	0,333962	0,349733	N004.bmp
28,63435	28,32278	28,98244	28,42261	-0,03631	-0,01785	-0,04628	-0,02069	0,016375	0,016316	0,016564	0,016332	0,336089	0,346552	0,33949	0,344912	N005.bmp
28,28658	26,40882	27,61855	26,60061	-0,05465	0,025936	-0,02912	0,018346	0,015163	0,015601	0,015412	0,015677	0,326774	0,351031	0,338105	0,34966	N006.bmp

Kontras				Korelasi				Energi				Homogenitas				Nama Citra
0°	45°	90°	135°	0°	45°	90°	135°	0°	45°	90°	135°	0°	45°	90°	135°	
33,59763	29,71313	31,4982	30,69157	-0,08254	0,048326	-0,01196	0,01614	0,014364	0,01449	0,014361	0,014476	0,313514	0,341828	0,327593	0,337663	N007.bmp
28,75513	26,99877	27,37658	26,42575	-0,06374	0,010449	-0,00705	0,032013	0,014675	0,014847	0,014628	0,015131	0,323743	0,34855	0,341769	0,353451	N008.bmp
28,28658	26,40882	27,61855	26,60061	-0,05465	0,025936	-0,02912	0,018346	0,015163	0,015601	0,015412	0,015677	0,326774	0,351031	0,338105	0,34966	N009.bmp
29,58403	29,11689	30,06639	28,12314	-0,02175	0,000414	-0,04014	0,035732	0,012601	0,012305	0,012472	0,012534	0,32107	0,332337	0,31941	0,337945	N010.bmp
28,79966	27,71692	28,91787	28,25426	-0,01942	0,020773	-0,02363	0,00233	0,014273	0,014242	0,014122	0,014244	0,333228	0,339214	0,330641	0,339259	N011.bmp
29,08236	27,62945	29,01622	27,22618	-0,01452	0,038419	-0,01329	0,052583	0,013101	0,013168	0,012908	0,013444	0,326969	0,34295	0,325621	0,346621	N012.bmp
30,42063	26,82911	27,55933	28,73954	-0,06871	0,058376	0,025762	-0,00774	0,012652	0,012327	0,012425	0,012181	0,315226	0,341605	0,332153	0,335518	N013.bmp
27,21941	23,85356	26,81941	24,63867	-0,07702	0,067658	-0,05316	0,03691	0,017202	0,017392	0,01686	0,017358	0,338201	0,368784	0,338948	0,363816	N014.bmp
28,01986	27,13157	26,15918	26,51925	-0,02563	0,009509	0,04223	0,031381	0,017685	0,01777	0,017445	0,017821	0,337458	0,350208	0,358039	0,357033	N015.bmp
28,98633	27,37347	28,7061	27,15287	-0,04748	0,021943	-0,03528	0,030777	0,016627	0,016867	0,01685	0,016988	0,330248	0,35046	0,338835	0,354411	N016.bmp
27,00692	24,85418	26,61262	26,04705	-0,04993	0,041131	-0,03036	-0,00346	0,01859	0,0191	0,018209	0,018852	0,338727	0,363418	0,350299	0,356333	N017.bmp
25,33096	24,41716	24,18752	22,32893	-0,02422	0,008353	0,011054	0,093281	0,020628	0,020952	0,020659	0,021746	0,357467	0,373824	0,373867	0,396008	N018.bmp
26,45311	21,65478	24,23727	22,76202	-0,11946	0,091093	-0,02554	0,044484	0,028028	0,029968	0,0276	0,028988	0,35258	0,413353	0,376161	0,396306	N019.bmp
27,96998	27,171	26,79215	25,52901	-0,04711	-0,00595	-0,00233	0,054849	0,02136	0,020683	0,020664	0,021297	0,337508	0,354307	0,361944	0,376513	N020.bmp
26,36306	23,28632	25,61344	25,23676	-0,05071	0,076642	-0,02136	-0,00063	0,016517	0,017188	0,016228	0,016624	0,336665	0,369386	0,347406	0,352191	N021.bmp
24,01824	22,71322	22,48179	24,13557	-0,03046	0,033557	0,034193	-0,02555	0,031081	0,031594	0,031166	0,030767	0,3745	0,392392	0,394521	0,387476	N022.bmp
27,85113	26,1442	26,56977	26,48348	-0,03295	0,038378	0,019758	0,025622	0,01696	0,017301	0,016777	0,017257	0,346328	0,371974	0,354666	0,363687	N023.bmp
29,4682	27,91466	27,02639	27,96591	-0,00904	0,050512	0,07244	0,049194	0,01456	0,014914	0,015231	0,014854	0,329001	0,346215	0,35794	0,345106	N024.bmp
27,31557	26,49339	26,23556	24,86825	-0,03697	0,001477	0,010266	0,062369	0,016373	0,016785	0,016638	0,016759	0,33446	0,349582	0,35193	0,361032	N025.bmp
29,41958	26,84954	28,20414	28,3051	-0,06424	0,033598	-0,02015	-0,0195	0,014976	0,014942	0,014649	0,014731	0,326022	0,356944	0,338298	0,345014	N026.bmp
29,60129	27,61412	29,53392	28,09654	-0,02218	0,056146	-0,01514	0,040382	0,014504	0,014332	0,014336	0,014281	0,324969	0,346061	0,325937	0,347395	N027.bmp
32,873	31,03706	31,61515	29,37508	-0,06633	-0,00015	-0,02472	0,053129	0,013154	0,012869	0,01286	0,012925	0,309325	0,332071	0,320709	0,346783	N028.bmp
32,56585	30,29786	31,7405	29,97499	-0,05453	0,021369	-0,02962	0,031943	0,014733	0,014804	0,014394	0,015089	0,31428	0,341851	0,326373	0,34033	N029.bmp

Kontras				Korelasi				Energi				Homogenitas				Nama Citra
0°	45°	90°	135°	0°	45°	90°	135°	0°	45°	90°	135°	0°	45°	90°	135°	
31,49222	28,35859	31,11986	29,48494	-0,05057	0,05687	-0,03673	0,020007	0,017932	0,018205	0,017282	0,017822	0,332804	0,363347	0,334821	0,348344	N030.bmp
26,53612	25,92378	25,80235	26,18874	-0,04416	-0,01402	-0,01641	-0,02414	0,012936	0,01306	0,013027	0,012895	0,323237	0,332485	0,333185	0,332655	N031.bmp
29,05488	27,24105	28,95169	27,12774	-0,04874	0,025552	-0,0448	0,03016	0,019096	0,019481	0,019074	0,019473	0,339649	0,362471	0,344181	0,36318	N032.bmp
31,62287	27,61377	27,83395	27,65071	-0,11526	0,029643	0,020506	0,03048	0,020209	0,02064	0,020241	0,02092	0,321878	0,365224	0,35583	0,368058	N033.bmp
29,69941	27,46624	28,57392	27,67237	-0,05322	0,026673	-0,0138	0,022115	0,016546	0,017023	0,016275	0,01687	0,327933	0,354275	0,337244	0,349148	N034.bmp
31,2765	29,7089	29,22194	29,53586	-0,03511	0,024197	0,037838	0,03086	0,015847	0,016291	0,015884	0,016319	0,321318	0,342797	0,344	0,343042	N035.bmp
28,48733	25,20938	26,89447	26,33426	-0,07895	0,049297	-0,01631	0,007329	0,017286	0,017383	0,017018	0,017191	0,331918	0,365473	0,346171	0,351141	N036.bmp
28,5557	27,17284	29,46171	28,05099	-0,02179	0,034414	-0,05401	0,004196	0,019765	0,020129	0,019562	0,02007	0,346159	0,363523	0,339593	0,360465	N037.bmp
27,07071	23,65073	25,19099	24,50122	-0,07846	0,064368	0,003865	0,032588	0,025067	0,025669	0,024191	0,025383	0,343192	0,388905	0,364742	0,383923	N038.bmp
29,44647	27,90654	27,93425	26,931	-0,0424	0,012089	0,006988	0,04692	0,016911	0,017491	0,016881	0,017363	0,33295	0,351176	0,342887	0,354277	N039.bmp
24,17819	23,12617	23,4406	23,23534	-0,00294	0,045885	0,024843	0,040169	0,029085	0,030111	0,028281	0,029904	0,384844	0,401124	0,390142	0,405447	N040.bmp
27,87928	25,32456	27,45613	26,41547	-0,01276	0,083547	0,005064	0,044901	0,016205	0,016533	0,015882	0,016216	0,337411	0,364959	0,343655	0,3532	N041.bmp
24,66243	21,97379	23,99876	23,0231	-0,06622	0,056985	-0,03482	0,012903	0,02036	0,020159	0,019548	0,01973	0,350286	0,379761	0,354157	0,364686	N042.bmp
27,21142	24,486	25,64024	25,28765	-0,06284	0,045979	-0,01039	0,015842	0,017443	0,017815	0,017761	0,01743	0,333222	0,366989	0,354466	0,359432	N043.bmp
25,70965	23,92569	24,27996	23,5584	-0,06306	0,020936	0,00475	0,037313	0,028043	0,02881	0,027101	0,0287	0,37017	0,391669	0,381607	0,398329	N044.bmp
25,44	24,35954	23,06678	25,5107	-0,04171	0,005693	0,05465	-0,04167	0,018455	0,018606	0,019557	0,018432	0,35352	0,358384	0,37678	0,354073	N045.bmp
23,13487	21,3292	21,93032	21,41381	-0,06907	0,024107	-0,00923	0,020215	0,017295	0,016893	0,017039	0,016798	0,335995	0,36156	0,355024	0,360855	N046.bmp
29,33765	27,1381	27,31887	26,75873	-0,0689	0,016361	0,006772	0,029928	0,016247	0,016326	0,016189	0,016498	0,325946	0,351459	0,349422	0,357497	N047.bmp
31,32343	28,43838	28,63648	29,09731	-0,06629	0,035397	0,026287	0,01299	0,015374	0,015446	0,015553	0,015425	0,321842	0,345517	0,347134	0,34579	N048.bmp
31,29504	30,14494	30,18762	30,04463	-0,03681	0,003999	0,000691	0,005829	0,016186	0,016531	0,01626	0,016425	0,328885	0,340245	0,339495	0,338681	N049.bmp
27,2479	27,43882	27,99684	27,3713	0,017396	0,013177	-0,01155	0,015877	0,01719	0,017672	0,017667	0,0177	0,350772	0,352398	0,347701	0,354602	N050.bmp
33,90607	33,09072	35,00429	31,31719	-0,05228	-0,02473	-0,08663	0,030419	0,013875	0,013666	0,013771	0,013725	0,321289	0,325848	0,312568	0,340547	N051.bmp
33,42311	31,15599	32,46771	30,77792	-0,06962	0,005951	-0,03738	0,019359	0,014598	0,014658	0,014541	0,014739	0,310636	0,334186	0,323064	0,342637	N052.bmp

Kontras				Korelasi				Energi				Homogenitas				Nama Citra
0°	45°	90°	135°	0°	45°	90°	135°	0°	45°	90°	135°	0°	45°	90°	135°	
32,062	31,06172	30,87596	30,65764	-0,03893	-0,00091	0,001098	0,013282	0,014874	0,014813	0,014593	0,014851	0,324827	0,33171	0,332409	0,34282	N053.bmp
27,58136	25,36998	26,41202	24,81417	-0,07851	0,009667	-0,03473	0,030577	0,014419	0,014245	0,01405	0,014132	0,324232	0,351878	0,333962	0,349733	N054.bmp
28,63435	28,32278	28,98244	28,42261	-0,03631	-0,01785	-0,04628	-0,02069	0,016375	0,016316	0,016564	0,016332	0,336089	0,346552	0,33949	0,344912	N055.bmp
28,28658	26,40882	27,61855	26,60061	-0,05465	0,025936	-0,02912	0,018346	0,015163	0,015601	0,015412	0,015677	0,326774	0,351031	0,338105	0,34966	N056.bmp
33,59763	29,71313	31,4982	30,69157	-0,08254	0,048326	-0,01196	0,01614	0,014364	0,01449	0,014361	0,014476	0,313514	0,341828	0,327593	0,337663	N057.bmp
28,75513	26,99877	27,37658	26,42575	-0,06374	0,010449	-0,00705	0,032013	0,014675	0,014847	0,014628	0,015131	0,323743	0,34855	0,341769	0,353451	N058.bmp
28,28658	26,40882	27,61855	26,60061	-0,05465	0,025936	-0,02912	0,018346	0,015163	0,015601	0,015412	0,015677	0,326774	0,351031	0,338105	0,34966	N059.bmp
29,58403	29,11689	30,06639	28,12314	-0,02175	0,000414	-0,04014	0,035732	0,012601	0,012305	0,012472	0,012534	0,32107	0,332337	0,31941	0,337945	N060.bmp
28,79966	27,71692	28,91787	28,25426	-0,01942	0,020773	-0,02363	0,00233	0,014273	0,014242	0,014122	0,014244	0,333228	0,339214	0,330641	0,339259	N061.bmp
29,08236	27,62945	29,01622	27,22618	-0,01452	0,038419	-0,01329	0,052583	0,013101	0,013168	0,012908	0,013444	0,326969	0,34295	0,325621	0,346621	N062.bmp
30,42063	26,82911	27,55933	28,73954	-0,06871	0,058376	0,025762	-0,00774	0,012652	0,012327	0,012425	0,012181	0,315226	0,341605	0,332153	0,335518	N063.bmp
27,21941	23,85356	26,81941	24,63867	-0,07702	0,067658	-0,05316	0,03691	0,017202	0,017392	0,01686	0,017358	0,338201	0,368784	0,338948	0,363816	N064.bmp
28,01986	27,13157	26,15918	26,51925	-0,02563	0,009509	0,04223	0,031381	0,017685	0,01777	0,017445	0,017821	0,337458	0,350208	0,358039	0,357033	N065.bmp
28,98633	27,37347	28,7061	27,15287	-0,04748	0,021943	-0,03528	0,030777	0,016627	0,016867	0,01685	0,016988	0,330248	0,35046	0,338835	0,354411	N066.bmp
27,00692	24,85418	26,61262	26,04705	-0,04993	0,041131	-0,03036	-0,00346	0,01859	0,0191	0,018209	0,018852	0,338727	0,363418	0,350299	0,356333	N067.bmp
25,33096	24,41716	24,18752	22,32893	-0,02422	0,008353	0,011054	0,093281	0,020628	0,020952	0,020659	0,021746	0,357467	0,373824	0,373867	0,396008	N068.bmp
26,45311	21,65478	24,23727	22,76202	-0,11946	0,091093	-0,02554	0,044484	0,028028	0,029968	0,0276	0,028988	0,35258	0,413353	0,376161	0,396306	N069.bmp
27,96998	27,171	26,79215	25,52901	-0,04711	-0,00595	-0,00233	0,054849	0,02136	0,020683	0,020664	0,021297	0,337508	0,354307	0,361944	0,376513	N070.bmp
26,36306	23,28632	25,61344	25,23676	-0,05071	0,076642	-0,02136	-0,00063	0,016517	0,017188	0,016228	0,016624	0,336665	0,369386	0,347406	0,352191	N071.bmp
24,01824	22,71322	22,48179	24,13557	-0,03046	0,033557	0,034193	-0,02555	0,031081	0,031594	0,031166	0,030767	0,3745	0,392392	0,394521	0,387476	N072.bmp
27,85113	26,1442	26,56977	26,48348	-0,03295	0,038378	0,019758	0,025622	0,01696	0,017301	0,016777	0,017257	0,346328	0,371974	0,354666	0,363687	N073.bmp
29,4682	27,91466	27,02639	27,96591	-0,00904	0,050512	0,07244	0,049194	0,01456	0,014914	0,015231	0,014854	0,329001	0,346215	0,35794	0,345106	N074.bmp
27,31557	26,49339	26,23556	24,86825	-0,03697	0,001477	0,010266	0,062369	0,016373	0,016785	0,016638	0,016759	0,33446	0,349582	0,35193	0,361032	N075.bmp

Kontras				Korelasi				Energi				Homogenitas				Nama Citra
0°	45°	90°	135°	0°	45°	90°	135°	0°	45°	90°	135°	0°	45°	90°	135°	
24,78603	22,31265	22,90808	23,04954	-0,12316	-0,00235	-0,0359	-0,03572	0,020056	0,019358	0,019286	0,019451	0,335412	0,363563	0,354863	0,353776	N076.bmp
22,59606	20,13844	21,19246	19,91328	-0,12418	0,005794	-0,04548	0,016683	0,018388	0,018038	0,018106	0,01787	0,33941	0,36939	0,359969	0,369669	N077.bmp
19,99635	18,09371	19,84651	18,63378	-0,07265	0,031327	-0,06379	0,003855	0,020181	0,019735	0,019689	0,019686	0,361043	0,386803	0,362519	0,377189	N078.bmp
21,62893	19,1565	20,67261	20,56939	-0,09793	0,030812	-0,05233	-0,04012	0,017795	0,017455	0,017371	0,017214	0,340266	0,380316	0,351049	0,359982	N079.bmp
21,2118	18,69995	20,27459	19,85013	-0,10807	0,027426	-0,06253	-0,03213	0,018884	0,018467	0,018753	0,018388	0,342688	0,383432	0,353414	0,367199	N080.bmp
20,02263	18,15273	20,27823	18,68605	-0,06285	0,039496	-0,07299	0,012074	0,01974	0,019418	0,019384	0,019427	0,360733	0,386651	0,35844	0,37635	N081.bmp
22,30295	19,94547	20,82734	19,0074	-0,12602	-0,00415	-0,04845	0,044007	0,019146	0,01871	0,018935	0,018781	0,343739	0,370914	0,365239	0,383727	N082.bmp
24,195	21,77282	22,30108	22,54361	-0,12311	-0,00189	-0,03296	-0,03736	0,019953	0,019317	0,019201	0,019353	0,337294	0,364852	0,356564	0,354916	N083.bmp
24,03879	21,1099	22,61137	19,81717	-0,1522	-0,01119	-0,06297	0,050215	0,020586	0,019781	0,019537	0,01956	0,330462	0,369489	0,358403	0,383544	N084.bmp
22,45191	20,35243	22,18352	20,26957	-0,09975	0,006146	-0,0852	0,010539	0,023451	0,023147	0,023003	0,023132	0,349776	0,383721	0,355957	0,385195	N085.bmp
22,78777	21,67865	21,14777	22,61569	0,00603	0,056534	0,072023	0,019028	0,049547	0,0501	0,051353	0,04879	0,45455	0,461457	0,474397	0,455206	N086.bmp
24,86976	21,04024	23,54113	23,53551	-0,09254	0,075763	-0,03338	-0,03186	0,020444	0,019911	0,019746	0,019779	0,341541	0,383873	0,350504	0,355959	N087.bmp
23,2397	23,37643	22,75378	24,42273	0,048443	0,048991	0,071322	0,008145	0,042144	0,039706	0,04195	0,038666	0,449181	0,440139	0,452268	0,42917	N088.bmp
24,2185	24,01707	24,12151	23,39198	-0,06312	-0,04928	-0,05828	-0,01992	0,022036	0,022044	0,021663	0,022316	0,355222	0,359571	0,354758	0,370721	N089.bmp
23,86401	23,41295	23,45455	22,89193	-0,05361	-0,03411	-0,03789	-0,0112	0,021219	0,020909	0,020669	0,020893	0,360464	0,359828	0,355848	0,371255	N090.bmp
28,38033	26,79098	25,41118	26,60109	-0,11778	-0,04564	0,007794	-0,03624	0,021058	0,020507	0,020474	0,020764	0,335756	0,357871	0,369039	0,352794	N091.bmp
25,60398	22,53887	24,63612	21,92266	-0,12821	0,009505	-0,08167	0,038242	0,022165	0,021649	0,021697	0,021614	0,339104	0,365805	0,350687	0,375746	N092.bmp
24,29553	20,98176	23,12385	21,10286	-0,12928	0,032808	-0,06838	0,027687	0,02194	0,022021	0,022163	0,022427	0,346318	0,381382	0,350539	0,381477	N093.bmp
28,56754	23,6658	23,89055	23,00819	-0,19089	0,019174	4,99E-07	0,048233	0,024975	0,024013	0,023447	0,024319	0,324584	0,378293	0,371091	0,381159	N094.bmp
24,23159	22,76756	22,29014	22,87444	-0,10409	-0,03906	-0,01544	-0,04312	0,022437	0,021866	0,021784	0,021936	0,353693	0,371489	0,370952	0,363196	N095.bmp
23,00492	19,93896	21,26703	20,33724	-0,14161	0,012295	-0,05752	-0,00744	0,021841	0,021468	0,021496	0,021405	0,346192	0,385261	0,36307	0,376481	N096.bmp
24,67129	21,92789	22,02288	21,47256	-0,14751	-0,01368	-0,02399	0,008013	0,022328	0,021574	0,021779	0,021737	0,336159	0,371838	0,364262	0,379125	N097.bmp
24,01943	21,07118	22,61406	19,79105	-0,15137	-0,00942	-0,06428	0,051335	0,02058	0,01979	0,01956	0,019588	0,330947	0,370259	0,358339	0,383992	N098.bmp

Kontras				Korelasi				Energi				Homogenitas				Nama Citra
0°	45°	90°	135°	0°	45°	90°	135°	0°	45°	90°	135°	0°	45°	90°	135°	
21,37192	19,85374	20,20779	19,90184	-0,08533	-0,00712	-0,02984	-0,00817	0,020031	0,019491	0,019329	0,019749	0,347658	0,377535	0,367288	0,372481	N099.bmp
20,66857	19,61311	20,1593	18,94652	-0,05974	-0,00074	-0,02982	0,032023	0,020798	0,02077	0,020415	0,020889	0,367189	0,381325	0,365716	0,389773	N100.bmp
33,90607	31,31719	35,00429	33,09072	-0,05228	0,030419	-0,08663	-0,02473	0,013875	0,013725	0,013771	0,013666	0,321289	0,340547	0,312568	0,325848	N101.bmp
33,42311	30,77792	32,46771	31,15599	-0,06962	0,019359	-0,03738	0,005951	0,014598	0,014739	0,014541	0,014658	0,310636	0,342637	0,323064	0,334186	N102.bmp
32,062	30,65764	30,87596	31,06172	-0,03893	0,013282	0,001098	-0,00091	0,014874	0,014851	0,014593	0,014813	0,324827	0,34282	0,332409	0,33171	N103.bmp
27,58136	24,81417	26,41202	25,36998	-0,07851	0,030577	-0,03473	0,009667	0,014419	0,014132	0,01405	0,014245	0,324232	0,349733	0,333962	0,351878	N104.bmp
28,63435	28,42261	28,98244	28,32278	-0,03631	-0,02069	-0,04628	-0,01785	0,016375	0,016332	0,016564	0,016316	0,336089	0,344912	0,33949	0,346552	N105.bmp
28,28658	26,60061	27,61855	26,40882	-0,05465	0,018346	-0,02912	0,025936	0,015163	0,015677	0,015412	0,015601	0,326774	0,34966	0,338105	0,351031	N106.bmp
33,59763	30,69157	31,4982	29,71313	-0,08254	0,01614	-0,01196	0,048326	0,014364	0,014476	0,014361	0,01449	0,313514	0,337663	0,327593	0,341828	N107.bmp
28,75513	26,42575	27,37658	26,99877	-0,06374	0,032013	-0,00705	0,010449	0,014675	0,015131	0,014628	0,014847	0,323743	0,353451	0,341769	0,34855	N108.bmp
28,28658	26,60061	27,61855	26,40882	-0,05465	0,018346	-0,02912	0,025936	0,015163	0,015677	0,015412	0,015601	0,326774	0,34966	0,338105	0,351031	N109.bmp
29,58403	28,12314	30,06639	29,11689	-0,02175	0,035732	-0,04014	0,000414	0,012601	0,012534	0,012472	0,012305	0,32107	0,337945	0,31941	0,332337	N110.bmp
28,79966	28,25426	28,91787	27,71692	-0,01942	0,00233	-0,02363	0,020773	0,014273	0,014244	0,014122	0,014242	0,333228	0,339259	0,330641	0,339214	N111.bmp
29,08236	27,22618	29,01622	27,62945	-0,01452	0,052583	-0,01329	0,038419	0,013101	0,013444	0,012908	0,013168	0,326969	0,346621	0,325621	0,34295	N112.bmp
30,42063	28,73954	27,55933	26,82911	-0,06871	-0,00774	0,025762	0,058376	0,012652	0,012181	0,012425	0,012327	0,315226	0,335518	0,332153	0,341605	N113.bmp
27,21941	24,63867	26,81941	23,85356	-0,07702	0,03691	-0,05316	0,067658	0,017202	0,017358	0,01686	0,017392	0,338201	0,363816	0,338948	0,368784	N114.bmp
28,01986	26,51925	26,15918	27,13157	-0,02563	0,031381	0,04223	0,009509	0,017685	0,017821	0,017445	0,01777	0,337458	0,357033	0,358039	0,350208	N115.bmp
28,98633	27,15287	28,7061	27,37347	-0,04748	0,030777	-0,03528	0,021943	0,016627	0,016988	0,01685	0,016867	0,330248	0,354411	0,338835	0,35046	N116.bmp
27,00692	26,04705	26,61262	24,85418	-0,04993	-0,00346	-0,03036	0,041131	0,01859	0,018852	0,018209	0,0191	0,338727	0,356333	0,350299	0,363418	N117.bmp
25,33096	22,32893	24,18752	24,41716	-0,02422	0,093281	0,011054	0,008353	0,020628	0,021746	0,020659	0,020952	0,357467	0,396008	0,373867	0,373824	N118.bmp
26,45311	22,76202	24,23727	21,65478	-0,11946	0,044484	-0,02554	0,091093	0,028028	0,028988	0,0276	0,029968	0,35258	0,396306	0,376161	0,413353	N119.bmp
27,96998	25,52901	26,79215	27,171	-0,04711	0,054849	-0,00233	-0,00595	0,02136	0,021297	0,020664	0,020683	0,337508	0,376513	0,361944	0,354307	N120.bmp
26,36306	25,23676	25,61344	23,28632	-0,05071	-0,00063	-0,02136	0,076642	0,016517	0,016624	0,016228	0,017188	0,336665	0,352191	0,347406	0,369386	N121.bmp

Kontras				Korelasi				Energi				Homogenitas				Nama Citra
0°	45°	90°	135°	0°	45°	90°	135°	0°	45°	90°	135°	0°	45°	90°	135°	
24,01824	24,13557	22,48179	22,71322	-0,03046	-0,02555	0,034193	0,033557	0,031081	0,030767	0,031166	0,031594	0,3745	0,387476	0,394521	0,392392	N122.bmp
27,85113	26,48348	26,56977	26,1442	-0,03295	0,025622	0,019758	0,038378	0,01696	0,017257	0,016777	0,017301	0,346328	0,363687	0,354666	0,371974	N123.bmp
29,4682	27,96591	27,02639	27,91466	-0,00904	0,049194	0,07244	0,050512	0,01456	0,014854	0,015231	0,014914	0,329001	0,345106	0,35794	0,346215	N124.bmp
27,31557	24,86825	26,23556	26,49339	-0,03697	0,062369	0,010266	0,001477	0,016373	0,016759	0,016638	0,016785	0,33446	0,361032	0,35193	0,349582	N125.bmp
29,41958	28,3051	28,20414	26,84954	-0,06424	-0,0195	-0,02015	0,033598	0,014976	0,014731	0,014649	0,014942	0,326022	0,345014	0,338298	0,356944	N126.bmp
29,60129	28,09654	29,53392	27,61412	-0,02218	0,040382	-0,01514	0,056146	0,014504	0,014281	0,014336	0,014332	0,324969	0,347395	0,325937	0,346061	N127.bmp
32,873	29,37508	31,61515	31,03706	-0,06633	0,053129	-0,02472	-0,00015	0,013154	0,012925	0,01286	0,012869	0,309325	0,346783	0,320709	0,332071	N128.bmp
32,56585	29,97499	31,7405	30,29786	-0,05453	0,031943	-0,02962	0,021369	0,014733	0,015089	0,014394	0,014804	0,31428	0,34033	0,326373	0,341851	N129.bmp
31,49222	29,48494	31,11986	28,35859	-0,05057	0,020007	-0,03673	0,05687	0,017932	0,017822	0,017282	0,018205	0,332804	0,348344	0,334821	0,363347	N130.bmp
26,53612	26,18874	25,80235	25,92378	-0,04416	-0,02414	-0,01641	-0,01402	0,012936	0,012895	0,013027	0,01306	0,323237	0,332655	0,333185	0,332485	N131.bmp
29,05488	27,12774	28,95169	27,24105	-0,04874	0,03016	-0,0448	0,025552	0,019096	0,019473	0,019074	0,019481	0,339649	0,36318	0,344181	0,362471	N132.bmp
31,62287	27,65071	27,83395	27,61377	-0,11526	0,03048	0,020506	0,029643	0,020209	0,02092	0,020241	0,02064	0,321878	0,368058	0,35583	0,365224	N133.bmp
29,69941	27,67237	28,57392	27,46624	-0,05322	0,022115	-0,0138	0,026673	0,016546	0,01687	0,016275	0,017023	0,327933	0,349148	0,337244	0,354275	N134.bmp
31,2765	29,53586	29,22194	29,7089	-0,03511	0,03086	0,037838	0,024197	0,015847	0,016319	0,015884	0,016291	0,321318	0,343042	0,344	0,342797	N135.bmp
28,48733	26,33426	26,89447	25,20938	-0,07895	0,007329	-0,01631	0,049297	0,017286	0,017191	0,017018	0,017383	0,331918	0,351141	0,346171	0,365473	N136.bmp
28,5557	28,05099	29,46171	27,17284	-0,02179	0,004196	-0,05401	0,034414	0,019765	0,02007	0,019562	0,020129	0,346159	0,360465	0,339593	0,363523	N137.bmp
27,07071	24,50122	25,19099	23,65073	-0,07846	0,032588	0,003865	0,064368	0,025067	0,025383	0,024191	0,025669	0,343192	0,383923	0,364742	0,388905	N138.bmp
29,44647	26,931	27,93425	27,90654	-0,0424	0,04692	0,006988	0,012089	0,016911	0,017363	0,016881	0,017491	0,33295	0,354277	0,342887	0,351176	N139.bmp
24,17819	23,23534	23,4406	23,12617	-0,00294	0,040169	0,024843	0,045885	0,029085	0,029904	0,028281	0,030111	0,384844	0,405447	0,390142	0,401124	N140.bmp
27,87928	26,41547	27,45613	25,32456	-0,01276	0,044901	0,005064	0,083547	0,016205	0,016216	0,015882	0,016533	0,337411	0,3532	0,343655	0,364959	N141.bmp
24,66243	23,0231	23,99876	21,97379	-0,06622	0,012903	-0,03482	0,056985	0,02036	0,01973	0,019548	0,020159	0,350286	0,364686	0,354157	0,379761	N142.bmp
27,21142	25,28765	25,64024	24,486	-0,06284	0,015842	-0,01039	0,045979	0,017443	0,01743	0,017761	0,017815	0,333222	0,359432	0,354466	0,366989	N143.bmp
25,70965	23,5584	24,27996	23,92569	-0,06306	0,037313	0,00475	0,020936	0,028043	0,0287	0,027101	0,02881	0,37017	0,398329	0,381607	0,391669	N144.bmp

Kontras				Korelasi				Energi				Homogenitas				Nama Citra
0°	45°	90°	135°	0°	45°	90°	135°	0°	45°	90°	135°	0°	45°	90°	135°	
25,44	25,5107	23,06678	24,35954	-0,04171	-0,04167	0,05465	0,005693	0,018455	0,018432	0,019557	0,018606	0,35352	0,354073	0,37678	0,358384	N145.bmp
23,13487	21,41381	21,93032	21,3292	-0,06907	0,020215	-0,00923	0,024107	0,017295	0,016798	0,017039	0,016893	0,335995	0,360855	0,355024	0,36156	N146.bmp
29,33765	26,75873	27,31887	27,1381	-0,0689	0,029928	0,006772	0,016361	0,016247	0,016498	0,016189	0,016326	0,325946	0,357497	0,349422	0,351459	N147.bmp
31,32343	29,09731	28,63648	28,43838	-0,06629	0,01299	0,026287	0,035397	0,015374	0,015425	0,015553	0,015446	0,321842	0,34579	0,347134	0,345517	N148.bmp
31,29504	30,04463	30,18762	30,14494	-0,03681	0,005829	0,000691	0,003999	0,016186	0,016425	0,01626	0,016531	0,328885	0,338681	0,339495	0,340245	N149.bmp
27,2479	27,3713	27,99684	27,43882	0,017396	0,015877	-0,01155	0,013177	0,01719	0,0177	0,017667	0,017672	0,350772	0,354602	0,347701	0,352398	N150.bmp
33,90607	31,31719	35,00429	33,09072	-0,05228	0,030419	-0,08663	-0,02473	0,013875	0,013725	0,013771	0,013666	0,321289	0,340547	0,312568	0,325848	N151.bmp
33,42311	30,77792	32,46771	31,15599	-0,06962	0,019359	-0,03738	0,005951	0,014598	0,014739	0,014541	0,014658	0,310636	0,342637	0,323064	0,334186	N152.bmp
32,062	30,65764	30,87596	31,06172	-0,03893	0,013282	0,001098	-0,00091	0,014874	0,014851	0,014593	0,014813	0,324827	0,34282	0,332409	0,33171	N153.bmp
27,58136	24,81417	26,41202	25,36998	-0,07851	0,030577	-0,03473	0,009667	0,014419	0,014132	0,01405	0,014245	0,324232	0,349733	0,333962	0,351878	N154.bmp
28,63435	28,42261	28,98244	28,32278	-0,03631	-0,02069	-0,04628	-0,01785	0,016375	0,016332	0,016564	0,016316	0,336089	0,344912	0,33949	0,346552	N155.bmp
28,28658	26,60061	27,61855	26,40882	-0,05465	0,018346	-0,02912	0,025936	0,015163	0,015677	0,015412	0,015601	0,326774	0,34966	0,338105	0,351031	N156.bmp
33,59763	30,69157	31,4982	29,71313	-0,08254	0,01614	-0,01196	0,048326	0,014364	0,014476	0,014361	0,01449	0,313514	0,337663	0,327593	0,341828	N157.bmp
28,75513	26,42575	27,37658	26,99877	-0,06374	0,032013	-0,00705	0,010449	0,014675	0,015131	0,014628	0,014847	0,323743	0,353451	0,341769	0,34855	N158.bmp
28,28658	26,60061	27,61855	26,40882	-0,05465	0,018346	-0,02912	0,025936	0,015163	0,015677	0,015412	0,015601	0,326774	0,34966	0,338105	0,351031	N159.bmp
29,58403	28,12314	30,06639	29,11689	-0,02175	0,035732	-0,04014	0,000414	0,012601	0,012534	0,012472	0,012305	0,32107	0,337945	0,31941	0,332337	N160.bmp
28,79966	28,25426	28,91787	27,71692	-0,01942	0,00233	-0,02363	0,020773	0,014273	0,014244	0,014122	0,014242	0,333228	0,339259	0,330641	0,339214	N161.bmp
29,08236	27,22618	29,01622	27,62945	-0,01452	0,052583	-0,01329	0,038419	0,013101	0,013444	0,012908	0,013168	0,326969	0,346621	0,325621	0,34295	N162.bmp
30,42063	28,73954	27,55933	26,82911	-0,06871	-0,00774	0,025762	0,058376	0,012652	0,012181	0,012425	0,012327	0,315226	0,335518	0,332153	0,341605	N163.bmp
27,21941	24,63867	26,81941	23,85356	-0,07702	0,03691	-0,05316	0,067658	0,017202	0,017358	0,01686	0,017392	0,338201	0,363816	0,338948	0,368784	N164.bmp
28,01986	26,51925	26,15918	27,13157	-0,02563	0,031381	0,04223	0,009509	0,017685	0,017821	0,017445	0,01777	0,337458	0,357033	0,358039	0,350208	N165.bmp
28,98633	27,15287	28,7061	27,37347	-0,04748	0,030777	-0,03528	0,021943	0,016627	0,016988	0,01685	0,016867	0,330248	0,354411	0,338835	0,35046	N166.bmp
27,00692	26,04705	26,61262	24,85418	-0,04993	-0,00346	-0,03036	0,041131	0,01859	0,018852	0,018209	0,0191	0,338727	0,356333	0,350299	0,363418	N167.bmp

Kontras				Korelasi				Energi				Homogenitas				Nama Citra
0°	45°	90°	135°	0°	45°	90°	135°	0°	45°	90°	135°	0°	45°	90°	135°	
25,33096	22,32893	24,18752	24,41716	-0,02422	0,093281	0,011054	0,008353	0,020628	0,021746	0,020659	0,020952	0,357467	0,396008	0,373867	0,373824	N168.bmp
26,45311	22,76202	24,23727	21,65478	-0,11946	0,044484	-0,02554	0,091093	0,028028	0,028988	0,0276	0,029968	0,35258	0,396306	0,376161	0,413353	N169.bmp
27,96998	25,52901	26,79215	27,171	-0,04711	0,054849	-0,00233	-0,00595	0,02136	0,021297	0,020664	0,020683	0,337508	0,376513	0,361944	0,354307	N170.bmp
26,36306	25,23676	25,61344	23,28632	-0,05071	-0,00063	-0,02136	0,076642	0,016517	0,016624	0,016228	0,017188	0,336665	0,352191	0,347406	0,369386	N171.bmp
24,01824	24,13557	22,48179	22,71322	-0,03046	-0,02555	0,034193	0,033557	0,031081	0,030767	0,031166	0,031594	0,3745	0,387476	0,394521	0,392392	N172.bmp
27,85113	26,48348	26,56977	26,1442	-0,03295	0,025622	0,019758	0,038378	0,01696	0,017257	0,016777	0,017301	0,346328	0,363687	0,354666	0,371974	N173.bmp
29,4682	27,96591	27,02639	27,91466	-0,00904	0,049194	0,07244	0,050512	0,01456	0,014854	0,015231	0,014914	0,329001	0,345106	0,35794	0,346215	N174.bmp
27,31557	24,86825	26,23556	26,49339	-0,03697	0,062369	0,010266	0,001477	0,016373	0,016759	0,016638	0,016785	0,33446	0,361032	0,35193	0,349582	N175.bmp
24,78603	23,04954	22,90808	22,31265	-0,12316	-0,03572	-0,0359	-0,00235	0,020056	0,019451	0,019286	0,019358	0,335412	0,353776	0,354863	0,363563	N176.bmp
22,59606	19,91328	21,19246	20,13844	-0,12418	0,016683	-0,04548	0,005794	0,018388	0,01787	0,018106	0,018038	0,33941	0,369669	0,359969	0,36939	N177.bmp
19,99635	18,63378	19,84651	18,09371	-0,07265	0,003855	-0,06379	0,031327	0,020181	0,019686	0,019689	0,019735	0,361043	0,377189	0,362519	0,386803	N178.bmp
21,62893	20,56939	20,67261	19,1565	-0,09793	-0,04012	-0,05233	0,030812	0,017795	0,017214	0,017371	0,017455	0,340266	0,359982	0,351049	0,380316	N179.bmp
21,2118	19,85013	20,27459	18,69995	-0,10807	-0,03213	-0,06253	0,027426	0,018884	0,018388	0,018753	0,018467	0,342688	0,367199	0,353414	0,383432	N180.bmp
20,02263	18,68605	20,27823	18,15273	-0,06285	0,012074	-0,07299	0,039496	0,01974	0,019427	0,019384	0,019418	0,360733	0,37635	0,35844	0,386651	N181.bmp
22,30295	19,0074	20,82734	19,94547	-0,12602	0,044007	-0,04845	-0,00415	0,019146	0,018781	0,018935	0,01871	0,343739	0,383727	0,365239	0,370914	N182.bmp
24,195	22,54361	22,30108	21,77282	-0,12311	-0,03736	-0,03296	-0,00189	0,019953	0,019353	0,019201	0,019317	0,337294	0,354916	0,356564	0,364852	N183.bmp
24,03879	19,81717	22,61137	21,1099	-0,1522	0,050215	-0,06297	-0,01119	0,020586	0,01956	0,019537	0,019781	0,330462	0,383544	0,358403	0,369489	N184.bmp
22,45191	20,26957	22,18352	20,35243	-0,09975	0,010539	-0,0852	0,006146	0,023451	0,023132	0,023003	0,023147	0,349776	0,385195	0,355957	0,383721	N185.bmp
22,78777	22,61569	21,14777	21,67865	0,00603	0,019028	0,072023	0,056534	0,049547	0,04879	0,051353	0,0501	0,45455	0,455206	0,474397	0,461457	N186.bmp
24,86976	23,53551	23,54113	21,04024	-0,09254	-0,03186	-0,03338	0,075763	0,020444	0,019779	0,019746	0,019911	0,341541	0,355959	0,350504	0,383873	N187.bmp
23,2397	24,42273	22,75378	23,37643	0,048443	0,008145	0,071322	0,048991	0,042144	0,038666	0,04195	0,039706	0,449181	0,42917	0,452268	0,440139	N188.bmp
24,2185	23,39198	24,12151	24,01707	-0,06312	-0,01992	-0,05828	-0,04928	0,022036	0,022316	0,021663	0,022044	0,355222	0,370721	0,354758	0,359571	N189.bmp
23,86401	22,89193	23,45455	23,41295	-0,05361	-0,0112	-0,03789	-0,03411	0,021219	0,020893	0,020669	0,020909	0,360464	0,371255	0,355848	0,359828	N190.bmp

Kontras				Korelasi				Energi				Homogenitas				Nama Citra
0°	45°	90°	135°	0°	45°	90°	135°	0°	45°	90°	135°	0°	45°	90°	135°	
28,38033	26,60109	25,41118	26,79098	-0,11778	-0,03624	0,007794	-0,04564	0,021058	0,020764	0,020474	0,020507	0,335756	0,352794	0,369039	0,357871	N191.bmp
25,60398	21,92266	24,63612	22,53887	-0,12821	0,038242	-0,08167	0,009505	0,022165	0,021614	0,021697	0,021649	0,339104	0,375746	0,350687	0,365805	N192.bmp
24,29553	21,10286	23,12385	20,98176	-0,12928	0,027687	-0,06838	0,032808	0,02194	0,022427	0,022163	0,022021	0,346318	0,381477	0,350539	0,381382	N193.bmp
28,56754	23,00819	23,89055	23,6658	-0,19089	0,048233	4,99E-07	0,019174	0,024975	0,024319	0,023447	0,024013	0,324584	0,381159	0,371091	0,378293	N194.bmp
24,23159	22,87444	22,29014	22,76756	-0,10409	-0,04312	-0,01544	-0,03906	0,022437	0,021936	0,021784	0,021866	0,353693	0,363196	0,370952	0,371489	N195.bmp
23,00492	20,33724	21,26703	19,93896	-0,14161	-0,00744	-0,05752	0,012295	0,021841	0,021405	0,021496	0,021468	0,346192	0,376481	0,36307	0,385261	N196.bmp
24,67129	21,47256	22,02288	21,92789	-0,14751	0,008013	-0,02399	-0,01368	0,022328	0,021737	0,021779	0,021574	0,336159	0,379125	0,364262	0,371838	N197.bmp
24,01943	19,79105	22,61406	21,07118	-0,15137	0,051335	-0,06428	-0,00942	0,02058	0,019588	0,01956	0,01979	0,330947	0,383992	0,358339	0,370259	N198.bmp
21,37192	19,90184	20,20779	19,85374	-0,08533	-0,00817	-0,02984	-0,00712	0,020031	0,019749	0,019329	0,019491	0,347658	0,372481	0,367288	0,377535	N199.bmp
20,66857	18,94652	20,1593	19,61311	-0,05974	0,032023	-0,02982	-0,00074	0,020798	0,020889	0,020415	0,02077	0,367189	0,389773	0,365716	0,381325	N200.bmp
33,90607	31,31719	35,00429	33,09072	-0,05228	0,030419	-0,08663	-0,02473	0,013875	0,013725	0,013771	0,013666	0,321289	0,340547	0,312568	0,325848	N201.bmp
33,42311	30,77792	32,46771	31,15599	-0,06962	0,019359	-0,03738	0,005951	0,014598	0,014739	0,014541	0,014658	0,310636	0,342637	0,323064	0,334186	N202.bmp
32,062	30,65764	30,87596	31,06172	-0,03893	0,013282	0,001098	-0,00091	0,014874	0,014851	0,014593	0,014813	0,324827	0,34282	0,332409	0,33171	N203.bmp
27,58136	24,81417	26,41202	25,36998	-0,07851	0,030577	-0,03473	0,009667	0,014419	0,014132	0,01405	0,014245	0,324232	0,349733	0,333962	0,351878	N204.bmp
28,63435	28,42261	28,98244	28,32278	-0,03631	-0,02069	-0,04628	-0,01785	0,016375	0,016332	0,016564	0,016316	0,336089	0,344912	0,33949	0,346552	N205.bmp
28,28658	26,60061	27,61855	26,40882	-0,05465	0,018346	-0,02912	0,025936	0,015163	0,015677	0,015412	0,015601	0,326774	0,34966	0,338105	0,351031	N206.bmp
33,59763	30,69157	31,4982	29,71313	-0,08254	0,01614	-0,01196	0,048326	0,014364	0,014476	0,014361	0,01449	0,313514	0,337663	0,327593	0,341828	N207.bmp
28,75513	26,42575	27,37658	26,99877	-0,06374	0,032013	-0,00705	0,010449	0,014675	0,015131	0,014628	0,014847	0,323743	0,353451	0,341769	0,34855	N208.bmp
28,28658	26,60061	27,61855	26,40882	-0,05465	0,018346	-0,02912	0,025936	0,015163	0,015677	0,015412	0,015601	0,326774	0,34966	0,338105	0,351031	N209.bmp
29,58403	28,12314	30,06639	29,11689	-0,02175	0,035732	-0,04014	0,000414	0,012601	0,012534	0,012472	0,012305	0,32107	0,337945	0,31941	0,332337	N210.bmp
28,79966	28,25426	28,91787	27,71692	-0,01942	0,00233	-0,02363	0,020773	0,014273	0,014244	0,014122	0,014242	0,333228	0,339259	0,330641	0,339214	N211.bmp
29,08236	27,22618	29,01622	27,62945	-0,01452	0,052583	-0,01329	0,038419	0,013101	0,013444	0,012908	0,013168	0,326969	0,346621	0,325621	0,34295	N212.bmp
30,42063	28,73954	27,55933	26,82911	-0,06871	-0,00774	0,025762	0,058376	0,012652	0,012181	0,012425	0,012327	0,315226	0,335518	0,332153	0,341605	N213.bmp

Kontras				Korelasi				Energi				Homogenitas				Nama Citra
0°	45°	90°	135°	0°	45°	90°	135°	0°	45°	90°	135°	0°	45°	90°	135°	
27,21941	24,63867	26,81941	23,85356	-0,07702	0,03691	-0,05316	0,067658	0,017202	0,017358	0,01686	0,017392	0,338201	0,363816	0,338948	0,368784	N214.bmp
28,01986	26,51925	26,15918	27,13157	-0,02563	0,031381	0,04223	0,009509	0,017685	0,017821	0,017445	0,01777	0,337458	0,357033	0,358039	0,350208	N215.bmp
28,98633	27,15287	28,7061	27,37347	-0,04748	0,030777	-0,03528	0,021943	0,016627	0,016988	0,01685	0,016867	0,330248	0,354411	0,338835	0,35046	N216.bmp
27,00692	26,04705	26,61262	24,85418	-0,04993	-0,00346	-0,03036	0,041131	0,01859	0,018852	0,018209	0,0191	0,338727	0,356333	0,350299	0,363418	N217.bmp
25,33096	22,32893	24,18752	24,41716	-0,02422	0,093281	0,011054	0,008353	0,020628	0,021746	0,020659	0,020952	0,357467	0,396008	0,373867	0,373824	N218.bmp
26,45311	22,76202	24,23727	21,65478	-0,11946	0,044484	-0,02554	0,091093	0,028028	0,028988	0,0276	0,029968	0,35258	0,396306	0,376161	0,413353	N219.bmp
27,96998	25,52901	26,79215	27,171	-0,04711	0,054849	-0,00233	-0,00595	0,02136	0,021297	0,020664	0,020683	0,337508	0,376513	0,361944	0,354307	N220.bmp
26,36306	25,23676	25,61344	23,28632	-0,05071	-0,00063	-0,02136	0,076642	0,016517	0,016624	0,016228	0,017188	0,336665	0,352191	0,347406	0,369386	N221.bmp
24,01824	24,13557	22,48179	22,71322	-0,03046	-0,02555	0,034193	0,033557	0,031081	0,030767	0,031166	0,031594	0,3745	0,387476	0,394521	0,392392	N222.bmp
27,85113	26,48348	26,56977	26,1442	-0,03295	0,025622	0,019758	0,038378	0,01696	0,017257	0,016777	0,017301	0,346328	0,363687	0,354666	0,371974	N223.bmp
29,4682	27,96591	27,02639	27,91466	-0,00904	0,049194	0,07244	0,050512	0,01456	0,014854	0,015231	0,014914	0,329001	0,345106	0,35794	0,346215	N224.bmp
27,31557	24,86825	26,23556	26,49339	-0,03697	0,062369	0,010266	0,001477	0,016373	0,016759	0,016638	0,016785	0,33446	0,361032	0,35193	0,349582	N225.bmp
29,41958	28,3051	28,20414	26,84954	-0,06424	-0,0195	-0,02015	0,033598	0,014976	0,014731	0,014649	0,014942	0,326022	0,345014	0,338298	0,356944	N226.bmp
29,60129	28,09654	29,53392	27,61412	-0,02218	0,040382	-0,01514	0,056146	0,014504	0,014281	0,014336	0,014332	0,324969	0,347395	0,325937	0,346061	N227.bmp
32,873	29,37508	31,61515	31,03706	-0,06633	0,053129	-0,02472	-0,00015	0,013154	0,012925	0,01286	0,012869	0,309325	0,346783	0,320709	0,332071	N228.bmp
32,56585	29,97499	31,7405	30,29786	-0,05453	0,031943	-0,02962	0,021369	0,014733	0,015089	0,014394	0,014804	0,31428	0,34033	0,326373	0,341851	N229.bmp
31,49222	29,48494	31,11986	28,35859	-0,05057	0,020007	-0,03673	0,05687	0,017932	0,017822	0,017282	0,018205	0,332804	0,348344	0,334821	0,363347	N230.bmp
26,53612	26,18874	25,80235	25,92378	-0,04416	-0,02414	-0,01641	-0,01402	0,012936	0,012895	0,013027	0,01306	0,323237	0,332655	0,333185	0,332485	N231.bmp
29,05488	27,12774	28,95169	27,24105	-0,04874	0,03016	-0,0448	0,025552	0,019096	0,019473	0,019074	0,019481	0,339649	0,36318	0,344181	0,362471	N232.bmp
31,62287	27,65071	27,83395	27,61377	-0,11526	0,03048	0,020506	0,029643	0,020209	0,02092	0,020241	0,02064	0,321878	0,368058	0,35583	0,365224	N233.bmp
29,69941	27,67237	28,57392	27,46624	-0,05322	0,022115	-0,0138	0,026673	0,016546	0,01687	0,016275	0,017023	0,327933	0,349148	0,337244	0,354275	N234.bmp
31,2765	29,53586	29,22194	29,7089	-0,03511	0,03086	0,037838	0,024197	0,015847	0,016319	0,015884	0,016291	0,321318	0,343042	0,344	0,342797	N235.bmp
28,48733	26,33426	26,89447	25,20938	-0,07895	0,007329	-0,01631	0,049297	0,017286	0,017191	0,017018	0,017383	0,331918	0,351141	0,346171	0,365473	N236.bmp

Kontras				Korelasi				Energi				Homogenitas				Nama Citra
0°	45°	90°	135°	0°	45°	90°	135°	0°	45°	90°	135°	0°	45°	90°	135°	
28,5557	28,05099	29,46171	27,17284	-0,02179	0,004196	-0,05401	0,034414	0,019765	0,02007	0,019562	0,020129	0,346159	0,360465	0,339593	0,363523	N237.bmp
27,07071	24,50122	25,19099	23,65073	-0,07846	0,032588	0,003865	0,064368	0,025067	0,025383	0,024191	0,025669	0,343192	0,383923	0,364742	0,388905	N238.bmp
29,44647	26,931	27,93425	27,90654	-0,0424	0,04692	0,006988	0,012089	0,016911	0,017363	0,016881	0,017491	0,33295	0,354277	0,342887	0,351176	N239.bmp
24,17819	23,23534	23,4406	23,12617	-0,00294	0,040169	0,024843	0,045885	0,029085	0,029904	0,028281	0,030111	0,384844	0,405447	0,390142	0,401124	N240.bmp
27,87928	26,41547	27,45613	25,32456	-0,01276	0,044901	0,005064	0,083547	0,016205	0,016216	0,015882	0,016533	0,337411	0,3532	0,343655	0,364959	N241.bmp
24,66243	23,0231	23,99876	21,97379	-0,06622	0,012903	-0,03482	0,056985	0,02036	0,01973	0,019548	0,020159	0,350286	0,364686	0,354157	0,379761	N242.bmp
27,21142	25,28765	25,64024	24,486	-0,06284	0,015842	-0,01039	0,045979	0,017443	0,01743	0,017761	0,017815	0,333222	0,359432	0,354466	0,366989	N243.bmp
25,70965	23,5584	24,27996	23,92569	-0,06306	0,037313	0,00475	0,020936	0,028043	0,0287	0,027101	0,02881	0,37017	0,398329	0,381607	0,391669	N244.bmp
25,44	25,5107	23,06678	24,35954	-0,04171	-0,04167	0,05465	0,005693	0,018455	0,018432	0,019557	0,018606	0,35352	0,354073	0,37678	0,358384	N245.bmp
23,13487	21,41381	21,93032	21,3292	-0,06907	0,020215	-0,00923	0,024107	0,017295	0,016798	0,017039	0,016893	0,335995	0,360855	0,355024	0,36156	N246.bmp
29,33765	26,75873	27,31887	27,1381	-0,0689	0,029928	0,006772	0,016361	0,016247	0,016498	0,016189	0,016326	0,325946	0,357497	0,349422	0,351459	N247.bmp
31,32343	29,09731	28,63648	28,43838	-0,06629	0,01299	0,026287	0,035397	0,015374	0,015425	0,015553	0,015446	0,321842	0,34579	0,347134	0,345517	N248.bmp
31,29504	30,04463	30,18762	30,14494	-0,03681	0,005829	0,000691	0,003999	0,016186	0,016425	0,01626	0,016531	0,328885	0,338681	0,339495	0,340245	N249.bmp
27,2479	27,3713	27,99684	27,43882	0,017396	0,015877	-0,01155	0,013177	0,01719	0,0177	0,017667	0,017672	0,350772	0,354602	0,347701	0,352398	N250.bmp
33,90607	31,31719	35,00429	33,09072	-0,05228	0,030419	-0,08663	-0,02473	0,013875	0,013725	0,013771	0,013666	0,321289	0,340547	0,312568	0,325848	N251.bmp
33,42311	30,77792	32,46771	31,15599	-0,06962	0,019359	-0,03738	0,005951	0,014598	0,014739	0,014541	0,014658	0,310636	0,342637	0,323064	0,334186	N252.bmp
32,062	30,65764	30,87596	31,06172	-0,03893	0,013282	0,001098	-0,00091	0,014874	0,014851	0,014593	0,014813	0,324827	0,34282	0,332409	0,33171	N253.bmp
27,58136	24,81417	26,41202	25,36998	-0,07851	0,030577	-0,03473	0,009667	0,014419	0,014132	0,01405	0,014245	0,324232	0,349733	0,333962	0,351878	N254.bmp
28,63435	28,42261	28,98244	28,32278	-0,03631	-0,02069	-0,04628	-0,01785	0,016375	0,016332	0,016564	0,016316	0,336089	0,344912	0,33949	0,346552	N255.bmp
28,28658	26,60061	27,61855	26,40882	-0,05465	0,018346	-0,02912	0,025936	0,015163	0,015677	0,015412	0,015601	0,326774	0,34966	0,338105	0,351031	N256.bmp
33,59763	30,69157	31,4982	29,71313	-0,08254	0,01614	-0,01196	0,048326	0,014364	0,014476	0,014361	0,01449	0,313514	0,337663	0,327593	0,341828	N257.bmp
28,75513	26,42575	27,37658	26,99877	-0,06374	0,032013	-0,00705	0,010449	0,014675	0,015131	0,014628	0,014847	0,323743	0,353451	0,341769	0,34855	N258.bmp
28,28658	26,60061	27,61855	26,40882	-0,05465	0,018346	-0,02912	0,025936	0,015163	0,015677	0,015412	0,015601	0,326774	0,34966	0,338105	0,351031	N259.bmp

Kontras				Korelasi				Energi				Homogenitas				Nama Citra
0°	45°	90°	135°	0°	45°	90°	135°	0°	45°	90°	135°	0°	45°	90°	135°	
29,58403	28,12314	30,06639	29,11689	-0,02175	0,035732	-0,04014	0,000414	0,012601	0,012534	0,012472	0,012305	0,32107	0,337945	0,31941	0,332337	N260.bmp
28,79966	28,25426	28,91787	27,71692	-0,01942	0,00233	-0,02363	0,020773	0,014273	0,014244	0,014122	0,014242	0,333228	0,339259	0,330641	0,339214	N261.bmp
29,08236	27,22618	29,01622	27,62945	-0,01452	0,052583	-0,01329	0,038419	0,013101	0,013444	0,012908	0,013168	0,326969	0,346621	0,325621	0,34295	N262.bmp
30,42063	28,73954	27,55933	26,82911	-0,06871	-0,00774	0,025762	0,058376	0,012652	0,012181	0,012425	0,012327	0,315226	0,335518	0,332153	0,341605	N263.bmp
27,21941	24,63867	26,81941	23,85356	-0,07702	0,03691	-0,05316	0,067658	0,017202	0,017358	0,01686	0,017392	0,338201	0,363816	0,338948	0,368784	N264.bmp
28,01986	26,51925	26,15918	27,13157	-0,02563	0,031381	0,04223	0,009509	0,017685	0,017821	0,017445	0,01777	0,337458	0,357033	0,358039	0,350208	N265.bmp
28,98633	27,15287	28,7061	27,37347	-0,04748	0,030777	-0,03528	0,021943	0,016627	0,016988	0,01685	0,016867	0,330248	0,354411	0,338835	0,35046	N266.bmp
27,00692	26,04705	26,61262	24,85418	-0,04993	-0,00346	-0,03036	0,041131	0,01859	0,018852	0,018209	0,0191	0,338727	0,356333	0,350299	0,363418	N267.bmp
25,33096	22,32893	24,18752	24,41716	-0,02422	0,093281	0,011054	0,008353	0,020628	0,021746	0,020659	0,020952	0,357467	0,396008	0,373867	0,373824	N268.bmp
26,45311	22,76202	24,23727	21,65478	-0,11946	0,044484	-0,02554	0,091093	0,028028	0,028988	0,0276	0,029968	0,35258	0,396306	0,376161	0,413353	N269.bmp
27,96998	25,52901	26,79215	27,171	-0,04711	0,054849	-0,00233	-0,00595	0,02136	0,021297	0,020664	0,020683	0,337508	0,376513	0,361944	0,354307	N270.bmp
26,36306	25,23676	25,61344	23,28632	-0,05071	-0,00063	-0,02136	0,076642	0,016517	0,016624	0,016228	0,017188	0,336665	0,352191	0,347406	0,369386	N271.bmp
24,01824	24,13557	22,48179	22,71322	-0,03046	-0,02555	0,034193	0,033557	0,031081	0,030767	0,031166	0,031594	0,3745	0,387476	0,394521	0,392392	N272.bmp
27,85113	26,48348	26,56977	26,1442	-0,03295	0,025622	0,019758	0,038378	0,01696	0,017257	0,016777	0,017301	0,346328	0,363687	0,354666	0,371974	N273.bmp
29,4682	27,96591	27,02639	27,91466	-0,00904	0,049194	0,07244	0,050512	0,01456	0,014854	0,015231	0,014914	0,329001	0,345106	0,35794	0,346215	N274.bmp
27,31557	24,86825	26,23556	26,49339	-0,03697	0,062369	0,010266	0,001477	0,016373	0,016759	0,016638	0,016785	0,33446	0,361032	0,35193	0,349582	N275.bmp
24,78603	23,04954	22,90808	22,31265	-0,12316	-0,03572	-0,0359	-0,00235	0,020056	0,019451	0,019286	0,019358	0,335412	0,353776	0,354863	0,363563	N276.bmp
22,59606	19,91328	21,19246	20,13844	-0,12418	0,016683	-0,04548	0,005794	0,018388	0,01787	0,018106	0,018038	0,33941	0,369669	0,359969	0,36939	N277.bmp
19,99635	18,63378	19,84651	18,09371	-0,07265	0,003855	-0,06379	0,031327	0,020181	0,019686	0,019689	0,019735	0,361043	0,377189	0,362519	0,386803	N278.bmp
21,62893	20,56939	20,67261	19,1565	-0,09793	-0,04012	-0,05233	0,030812	0,017795	0,017214	0,017371	0,017455	0,340266	0,359982	0,351049	0,380316	N279.bmp
21,2118	19,85013	20,27459	18,69995	-0,10807	-0,03213	-0,06253	0,027426	0,018884	0,018388	0,018753	0,018467	0,342688	0,367199	0,353414	0,383432	N280.bmp
20,02263	18,68605	20,27823	18,15273	-0,06285	0,012074	-0,07299	0,039496	0,01974	0,019427	0,019384	0,019418	0,360733	0,37635	0,35844	0,386651	N281.bmp
22,30295	19,0074	20,82734	19,94547	-0,12602	0,044007	-0,04845	-0,00415	0,019146	0,018781	0,018935	0,01871	0,343739	0,383727	0,365239	0,370914	N282.bmp

Kontras				Korelasi				Energi				Homogenitas				Nama Citra
0°	45°	90°	135°	0°	45°	90°	135°	0°	45°	90°	135°	0°	45°	90°	135°	
24,195	22,54361	22,30108	21,77282	-0,12311	-0,03736	-0,03296	-0,00189	0,019953	0,019353	0,019201	0,019317	0,337294	0,354916	0,356564	0,364852	N283.bmp
24,03879	19,81717	22,61137	21,1099	-0,1522	0,050215	-0,06297	-0,01119	0,020586	0,01956	0,019537	0,019781	0,330462	0,383544	0,358403	0,369489	N284.bmp
22,45191	20,26957	22,18352	20,35243	-0,09975	0,010539	-0,0852	0,006146	0,023451	0,023132	0,023003	0,023147	0,349776	0,385195	0,355957	0,383721	N285.bmp
22,78777	22,61569	21,14777	21,67865	0,00603	0,019028	0,072023	0,056534	0,049547	0,04879	0,051353	0,0501	0,45455	0,455206	0,474397	0,461457	N286.bmp
24,86976	23,53551	23,54113	21,04024	-0,09254	-0,03186	-0,03338	0,075763	0,020444	0,019779	0,019746	0,019911	0,341541	0,355959	0,350504	0,383873	N287.bmp
23,2397	24,42273	22,75378	23,37643	0,048443	0,008145	0,071322	0,048991	0,042144	0,038666	0,04195	0,039706	0,449181	0,42917	0,452268	0,440139	N288.bmp
24,2185	23,39198	24,12151	24,01707	-0,06312	-0,01992	-0,05828	-0,04928	0,022036	0,022316	0,021663	0,022044	0,355222	0,370721	0,354758	0,359571	N289.bmp
23,86401	22,89193	23,45455	23,41295	-0,05361	-0,0112	-0,03789	-0,03411	0,021219	0,020893	0,020669	0,020909	0,360464	0,371255	0,355848	0,359828	N290.bmp
28,38033	26,60109	25,41118	26,79098	-0,11778	-0,03624	0,007794	-0,04564	0,021058	0,020764	0,020474	0,020507	0,335756	0,352794	0,369039	0,357871	N291.bmp
25,60398	21,92266	24,63612	22,53887	-0,12821	0,038242	-0,08167	0,009505	0,022165	0,021614	0,021697	0,021649	0,339104	0,375746	0,350687	0,365805	N292.bmp
24,29553	21,10286	23,12385	20,98176	-0,12928	0,027687	-0,06838	0,032808	0,02194	0,022427	0,022163	0,022021	0,346318	0,381477	0,350539	0,381382	N293.bmp
28,56754	23,00819	23,89055	23,6658	-0,19089	0,048233	4,99E-07	0,019174	0,024975	0,024319	0,023447	0,024013	0,324584	0,381159	0,371091	0,378293	N294.bmp
24,23159	22,87444	22,29014	22,76756	-0,10409	-0,04312	-0,01544	-0,03906	0,022437	0,021936	0,021784	0,021866	0,353693	0,363196	0,370952	0,371489	N295.bmp
23,00492	20,33724	21,26703	19,93896	-0,14161	-0,00744	-0,05752	0,012295	0,021841	0,021405	0,021496	0,021468	0,346192	0,376481	0,36307	0,385261	N296.bmp
24,67129	21,47256	22,02288	21,92789	-0,14751	0,008013	-0,02399	-0,01368	0,022328	0,021737	0,021779	0,021574	0,336159	0,379125	0,364262	0,371838	N297.bmp
24,01943	19,79105	22,61406	21,07118	-0,15137	0,051335	-0,06428	-0,00942	0,02058	0,019588	0,01956	0,01979	0,330947	0,383992	0,358339	0,370259	N298.bmp
21,37192	19,90184	20,20779	19,85374	-0,08533	-0,00817	-0,02984	-0,00712	0,020031	0,019749	0,019329	0,019491	0,347658	0,372481	0,367288	0,377535	N299.bmp
20,66857	19,61311	20,1593	18,94652	-0,05974	-0,00074	-0,02982	0,032023	0,020798	0,02077	0,020415	0,020889	0,367189	0,381325	0,365716	0,389773	N300.bmp
33,90607	33,09072	35,00429	31,31719	-0,05228	-0,02473	-0,08663	0,030419	0,013875	0,013666	0,013771	0,013725	0,321289	0,325848	0,312568	0,340547	N301.bmp
33,42311	31,15599	32,46771	30,77792	-0,06962	0,005951	-0,03738	0,019359	0,014598	0,014658	0,014541	0,014739	0,310636	0,334186	0,323064	0,342637	N302.bmp
32,062	31,06172	30,87596	30,65764	-0,03893	-0,00091	0,001098	0,013282	0,014874	0,014813	0,014593	0,014851	0,324827	0,33171	0,332409	0,34282	N303.bmp
27,58136	25,36998	26,41202	24,81417	-0,07851	0,009667	-0,03473	0,030577	0,014419	0,014245	0,01405	0,014132	0,324232	0,351878	0,333962	0,349733	N304.bmp
28,63435	28,32278	28,98244	28,42261	-0,03631	-0,01785	-0,04628	-0,02069	0,016375	0,016316	0,016564	0,016332	0,336089	0,346552	0,33949	0,344912	N305.bmp

Kontras				Korelasi				Energi				Homogenitas				Nama Citra
0°	45°	90°	135°	0°	45°	90°	135°	0°	45°	90°	135°	0°	45°	90°	135°	
28,28658	26,40882	27,61855	26,60061	-0,05465	0,025936	-0,02912	0,018346	0,015163	0,015601	0,015412	0,015677	0,326774	0,351031	0,338105	0,34966	N306.bmp
33,59763	29,71313	31,4982	30,69157	-0,08254	0,048326	-0,01196	0,01614	0,014364	0,01449	0,014361	0,014476	0,313514	0,341828	0,327593	0,337663	N307.bmp
28,75513	26,99877	27,37658	26,42575	-0,06374	0,010449	-0,00705	0,032013	0,014675	0,014847	0,014628	0,015131	0,323743	0,34855	0,341769	0,353451	N308.bmp
28,28658	26,40882	27,61855	26,60061	-0,05465	0,025936	-0,02912	0,018346	0,015163	0,015601	0,015412	0,015677	0,326774	0,351031	0,338105	0,34966	N309.bmp
29,58403	29,11689	30,06639	28,12314	-0,02175	0,000414	-0,04014	0,035732	0,012601	0,012305	0,012472	0,012534	0,32107	0,332337	0,31941	0,337945	N310.bmp
28,79966	27,71692	28,91787	28,25426	-0,01942	0,020773	-0,02363	0,00233	0,014273	0,014242	0,014122	0,014244	0,333228	0,339214	0,330641	0,339259	N311.bmp
29,08236	27,62945	29,01622	27,22618	-0,01452	0,038419	-0,01329	0,052583	0,013101	0,013168	0,012908	0,013444	0,326969	0,34295	0,325621	0,346621	N312.bmp
30,42063	26,82911	27,55933	28,73954	-0,06871	0,058376	0,025762	-0,00774	0,012652	0,012327	0,012425	0,012181	0,315226	0,341605	0,332153	0,335518	N313.bmp
27,21941	23,85356	26,81941	24,63867	-0,07702	0,067658	-0,05316	0,03691	0,017202	0,017392	0,01686	0,017358	0,338201	0,368784	0,338948	0,363816	N314.bmp
28,01986	27,13157	26,15918	26,51925	-0,02563	0,009509	0,04223	0,031381	0,017685	0,01777	0,017445	0,017821	0,337458	0,350208	0,358039	0,357033	N315.bmp
28,98633	27,37347	28,7061	27,15287	-0,04748	0,021943	-0,03528	0,030777	0,016627	0,016867	0,01685	0,016988	0,330248	0,35046	0,338835	0,354411	N316.bmp
27,00692	24,85418	26,61262	26,04705	-0,04993	0,041131	-0,03036	-0,00346	0,01859	0,0191	0,018209	0,018852	0,338727	0,363418	0,350299	0,356333	N317.bmp
25,33096	24,41716	24,18752	22,32893	-0,02422	0,008353	0,011054	0,093281	0,020628	0,020952	0,020659	0,021746	0,357467	0,373824	0,373867	0,396008	N318.bmp
26,45311	21,65478	24,23727	22,76202	-0,11946	0,091093	-0,02554	0,044484	0,028028	0,029968	0,0276	0,028988	0,35258	0,413353	0,376161	0,396306	N319.bmp
27,96998	27,171	26,79215	25,52901	-0,04711	-0,00595	-0,00233	0,054849	0,02136	0,020683	0,020664	0,021297	0,337508	0,354307	0,361944	0,376513	N320.bmp
26,36306	23,28632	25,61344	25,23676	-0,05071	0,076642	-0,02136	-0,00063	0,016517	0,017188	0,016228	0,016624	0,336665	0,369386	0,347406	0,352191	N321.bmp
24,01824	22,71322	22,48179	24,13557	-0,03046	0,033557	0,034193	-0,02555	0,031081	0,031594	0,031166	0,030767	0,3745	0,392392	0,394521	0,387476	N322.bmp
27,85113	26,1442	26,56977	26,48348	-0,03295	0,038378	0,019758	0,025622	0,01696	0,017301	0,016777	0,017257	0,346328	0,371974	0,354666	0,363687	N323.bmp
29,4682	27,91466	27,02639	27,96591	-0,00904	0,050512	0,07244	0,049194	0,01456	0,014914	0,015231	0,014854	0,329001	0,346215	0,35794	0,345106	N324.bmp
27,31557	26,49339	26,23556	24,86825	-0,03697	0,001477	0,010266	0,062369	0,016373	0,016785	0,016638	0,016759	0,33446	0,349582	0,35193	0,361032	N325.bmp
29,41958	26,84954	28,20414	28,3051	-0,06424	0,033598	-0,02015	-0,0195	0,014976	0,014942	0,014649	0,014731	0,326022	0,356944	0,338298	0,345014	N326.bmp
29,60129	27,61412	29,53392	28,09654	-0,02218	0,056146	-0,01514	0,040382	0,014504	0,014332	0,014336	0,014281	0,324969	0,346061	0,325937	0,347395	N327.bmp
32,873	31,03706	31,61515	29,37508	-0,06633	-0,00015	-0,02472	0,053129	0,013154	0,012869	0,01286	0,012925	0,309325	0,332071	0,320709	0,346783	N328.bmp

Kontras				Korelasi				Energi				Homogenitas				Nama Citra
0°	45°	90°	135°	0°	45°	90°	135°	0°	45°	90°	135°	0°	45°	90°	135°	
32,56585	30,29786	31,7405	29,97499	-0,05453	0,021369	-0,02962	0,031943	0,014733	0,014804	0,014394	0,015089	0,31428	0,341851	0,326373	0,34033	N329.bmp
31,49222	28,35859	31,11986	29,48494	-0,05057	0,05687	-0,03673	0,020007	0,017932	0,018205	0,017282	0,017822	0,332804	0,363347	0,334821	0,348344	N330.bmp
26,53612	25,92378	25,80235	26,18874	-0,04416	-0,01402	-0,01641	-0,02414	0,012936	0,01306	0,013027	0,012895	0,323237	0,332485	0,333185	0,332655	N331.bmp
29,05488	27,24105	28,95169	27,12774	-0,04874	0,025552	-0,0448	0,03016	0,019096	0,019481	0,019074	0,019473	0,339649	0,362471	0,344181	0,36318	N332.bmp
31,62287	27,61377	27,83395	27,65071	-0,11526	0,029643	0,020506	0,03048	0,020209	0,02064	0,020241	0,02092	0,321878	0,365224	0,35583	0,368058	N333.bmp
29,69941	27,46624	28,57392	27,67237	-0,05322	0,026673	-0,0138	0,022115	0,016546	0,017023	0,016275	0,01687	0,327933	0,354275	0,337244	0,349148	N334.bmp
31,2765	29,7089	29,22194	29,53586	-0,03511	0,024197	0,037838	0,03086	0,015847	0,016291	0,015884	0,016319	0,321318	0,342797	0,344	0,343042	N335.bmp
28,48733	25,20938	26,89447	26,33426	-0,07895	0,049297	-0,01631	0,007329	0,017286	0,017383	0,017018	0,017191	0,331918	0,365473	0,346171	0,351141	N336.bmp
28,5557	27,17284	29,46171	28,05099	-0,02179	0,034414	-0,05401	0,004196	0,019765	0,020129	0,019562	0,02007	0,346159	0,363523	0,339593	0,360465	N337.bmp
27,07071	23,65073	25,19099	24,50122	-0,07846	0,064368	0,003865	0,032588	0,025067	0,025669	0,024191	0,025383	0,343192	0,388905	0,364742	0,383923	N338.bmp
29,44647	27,90654	27,93425	26,931	-0,0424	0,012089	0,006988	0,04692	0,016911	0,017491	0,016881	0,017363	0,33295	0,351176	0,342887	0,354277	N339.bmp
24,17819	23,12617	23,4406	23,23534	-0,00294	0,045885	0,024843	0,040169	0,029085	0,030111	0,028281	0,029904	0,384844	0,401124	0,390142	0,405447	N340.bmp
27,87928	25,32456	27,45613	26,41547	-0,01276	0,083547	0,005064	0,044901	0,016205	0,016533	0,015882	0,016216	0,337411	0,364959	0,343655	0,3532	N341.bmp
24,66243	21,97379	23,99876	23,0231	-0,06622	0,056985	-0,03482	0,012903	0,02036	0,020159	0,019548	0,01973	0,350286	0,379761	0,354157	0,364686	N342.bmp
27,21142	24,486	25,64024	25,28765	-0,06284	0,045979	-0,01039	0,015842	0,017443	0,017815	0,017761	0,01743	0,333222	0,366989	0,354466	0,359432	N343.bmp
25,70965	23,92569	24,27996	23,5584	-0,06306	0,020936	0,00475	0,037313	0,028043	0,02881	0,027101	0,0287	0,37017	0,391669	0,381607	0,398329	N344.bmp
25,44	24,35954	23,06678	25,5107	-0,04171	0,005693	0,05465	-0,04167	0,018455	0,018606	0,019557	0,018432	0,35352	0,358384	0,37678	0,354073	N345.bmp
23,13487	21,3292	21,93032	21,41381	-0,06907	0,024107	-0,00923	0,020215	0,017295	0,016893	0,017039	0,016798	0,335995	0,36156	0,355024	0,360855	N346.bmp
29,33765	27,1381	27,31887	26,75873	-0,0689	0,016361	0,006772	0,029928	0,016247	0,016326	0,016189	0,016498	0,325946	0,351459	0,349422	0,357497	N347.bmp
31,32343	28,43838	28,63648	29,09731	-0,06629	0,035397	0,026287	0,01299	0,015374	0,015446	0,015553	0,015425	0,321842	0,345517	0,347134	0,34579	N348.bmp
31,29504	30,14494	30,18762	30,04463	-0,03681	0,003999	0,000691	0,005829	0,016186	0,016531	0,01626	0,016425	0,328885	0,340245	0,339495	0,338681	N349.bmp
27,2479	27,43882	27,99684	27,3713	0,017396	0,013177	-0,01155	0,015877	0,01719	0,017672	0,017667	0,0177	0,350772	0,352398	0,347701	0,354602	N350.bmp
33,90607	33,09072	35,00429	31,31719	-0,05228	-0,02473	-0,08663	0,030419	0,013875	0,013666	0,013771	0,013725	0,321289	0,325848	0,312568	0,340547	N351.bmp

Kontras				Korelasi				Energi				Homogenitas				Nama Citra
0°	45°	90°	135°	0°	45°	90°	135°	0°	45°	90°	135°	0°	45°	90°	135°	
33,42311	31,15599	32,46771	30,77792	-0,06962	0,005951	-0,03738	0,019359	0,014598	0,014658	0,014541	0,014739	0,310636	0,334186	0,323064	0,342637	N352.bmp
32,062	31,06172	30,87596	30,65764	-0,03893	-0,00091	0,001098	0,013282	0,014874	0,014813	0,014593	0,014851	0,324827	0,33171	0,332409	0,34282	N353.bmp
27,58136	25,36998	26,41202	24,81417	-0,07851	0,009667	-0,03473	0,030577	0,014419	0,014245	0,01405	0,014132	0,324232	0,351878	0,333962	0,349733	N354.bmp
28,63435	28,32278	28,98244	28,42261	-0,03631	-0,01785	-0,04628	-0,02069	0,016375	0,016316	0,016564	0,016332	0,336089	0,346552	0,33949	0,344912	N355.bmp
28,28658	26,40882	27,61855	26,60061	-0,05465	0,025936	-0,02912	0,018346	0,015163	0,015601	0,015412	0,015677	0,326774	0,351031	0,338105	0,34966	N356.bmp
33,59763	29,71313	31,4982	30,69157	-0,08254	0,048326	-0,01196	0,01614	0,014364	0,01449	0,014361	0,014476	0,313514	0,341828	0,327593	0,337663	N357.bmp
28,75513	26,99877	27,37658	26,42575	-0,06374	0,010449	-0,00705	0,032013	0,014675	0,014847	0,014628	0,015131	0,323743	0,34855	0,341769	0,353451	N358.bmp
28,28658	26,40882	27,61855	26,60061	-0,05465	0,025936	-0,02912	0,018346	0,015163	0,015601	0,015412	0,015677	0,326774	0,351031	0,338105	0,34966	N359.bmp
29,58403	29,11689	30,06639	28,12314	-0,02175	0,000414	-0,04014	0,035732	0,012601	0,012305	0,012472	0,012534	0,32107	0,332337	0,31941	0,337945	N360.bmp
28,79966	27,71692	28,91787	28,25426	-0,01942	0,020773	-0,02363	0,00233	0,014273	0,014242	0,014122	0,014244	0,333228	0,339214	0,330641	0,339259	N361.bmp
29,08236	27,62945	29,01622	27,22618	-0,01452	0,038419	-0,01329	0,052583	0,013101	0,013168	0,012908	0,013444	0,326969	0,34295	0,325621	0,346621	N362.bmp
30,42063	26,82911	27,55933	28,73954	-0,06871	0,058376	0,025762	-0,00774	0,012652	0,012327	0,012425	0,012181	0,315226	0,341605	0,332153	0,335518	N363.bmp
27,21941	23,85356	26,81941	24,63867	-0,07702	0,067658	-0,05316	0,03691	0,017202	0,017392	0,01686	0,017358	0,338201	0,368784	0,338948	0,363816	N364.bmp
28,01986	27,13157	26,15918	26,51925	-0,02563	0,009509	0,04223	0,031381	0,017685	0,01777	0,017445	0,017821	0,337458	0,350208	0,358039	0,357033	N365.bmp
28,98633	27,37347	28,7061	27,15287	-0,04748	0,021943	-0,03528	0,030777	0,016627	0,016867	0,01685	0,016988	0,330248	0,35046	0,338835	0,354411	N366.bmp
27,00692	24,85418	26,61262	26,04705	-0,04993	0,041131	-0,03036	-0,00346	0,01859	0,0191	0,018209	0,018852	0,338727	0,363418	0,350299	0,356333	N367.bmp
25,33096	24,41716	24,18752	22,32893	-0,02422	0,008353	0,011054	0,093281	0,020628	0,020952	0,020659	0,021746	0,357467	0,373824	0,373867	0,396008	N368.bmp
26,45311	21,65478	24,23727	22,76202	-0,11946	0,091093	-0,02554	0,044484	0,028028	0,029968	0,0276	0,028988	0,35258	0,413353	0,376161	0,396306	N369.bmp
27,96998	27,171	26,79215	25,52901	-0,04711	-0,00595	-0,00233	0,054849	0,02136	0,020683	0,020664	0,021297	0,337508	0,354307	0,361944	0,376513	N370.bmp
26,36306	23,28632	25,61344	25,23676	-0,05071	0,076642	-0,02136	-0,00063	0,016517	0,017188	0,016228	0,016624	0,336665	0,369386	0,347406	0,352191	N371.bmp
24,01824	22,71322	22,48179	24,13557	-0,03046	0,033557	0,034193	-0,02555	0,031081	0,031594	0,031166	0,030767	0,3745	0,392392	0,394521	0,387476	N372.bmp
27,85113	26,1442	26,56977	26,48348	-0,03295	0,038378	0,019758	0,025622	0,01696	0,017301	0,016777	0,017257	0,346328	0,371974	0,354666	0,363687	N373.bmp
29,4682	27,91466	27,02639	27,96591	-0,00904	0,050512	0,07244	0,049194	0,01456	0,014914	0,015231	0,014854	0,329001	0,346215	0,35794	0,345106	N374.bmp

Kontras				Korelasi				Energi				Homogenitas				Nama Citra
0°	45°	90°	135°	0°	45°	90°	135°	0°	45°	90°	135°	0°	45°	90°	135°	
27,31557	26,49339	26,23556	24,86825	-0,03697	0,001477	0,010266	0,062369	0,016373	0,016785	0,016638	0,016759	0,33446	0,349582	0,35193	0,361032	N375.bmp
24,78603	22,31265	22,90808	23,04954	-0,12316	-0,00235	-0,0359	-0,03572	0,020056	0,019358	0,019286	0,019451	0,335412	0,363563	0,354863	0,353776	N376.bmp
22,59606	20,13844	21,19246	19,91328	-0,12418	0,005794	-0,04548	0,016683	0,018388	0,018038	0,018106	0,01787	0,33941	0,36939	0,359969	0,369669	N377.bmp
19,99635	18,09371	19,84651	18,63378	-0,07265	0,031327	-0,06379	0,003855	0,020181	0,019735	0,019689	0,019686	0,361043	0,386803	0,362519	0,377189	N378.bmp
21,62893	19,1565	20,67261	20,56939	-0,09793	0,030812	-0,05233	-0,04012	0,017795	0,017455	0,017371	0,017214	0,340266	0,380316	0,351049	0,359982	N379.bmp
21,2118	18,69995	20,27459	19,85013	-0,10807	0,027426	-0,06253	-0,03213	0,018884	0,018467	0,018753	0,018388	0,342688	0,383432	0,353414	0,367199	N380.bmp
20,02263	18,15273	20,27823	18,68605	-0,06285	0,039496	-0,07299	0,012074	0,01974	0,019418	0,019384	0,019427	0,360733	0,386651	0,35844	0,37635	N381.bmp
22,30295	19,94547	20,82734	19,0074	-0,12602	-0,00415	-0,04845	0,044007	0,019146	0,01871	0,018935	0,018781	0,343739	0,370914	0,365239	0,383727	N382.bmp
24,195	21,77282	22,30108	22,54361	-0,12311	-0,00189	-0,03296	-0,03736	0,019953	0,019317	0,019201	0,019353	0,337294	0,364852	0,356564	0,354916	N383.bmp
24,03879	21,1099	22,61137	19,81717	-0,1522	-0,01119	-0,06297	0,050215	0,020586	0,019781	0,019537	0,01956	0,330462	0,369489	0,358403	0,383544	N384.bmp
22,45191	20,35243	22,18352	20,26957	-0,09975	0,006146	-0,0852	0,010539	0,023451	0,023147	0,023003	0,023132	0,349776	0,383721	0,355957	0,385195	N385.bmp
22,78777	21,67865	21,14777	22,61569	0,00603	0,056534	0,072023	0,019028	0,049547	0,0501	0,051353	0,04879	0,45455	0,461457	0,474397	0,455206	N386.bmp
24,86976	21,04024	23,54113	23,53551	-0,09254	0,075763	-0,03338	-0,03186	0,020444	0,019911	0,019746	0,019779	0,341541	0,383873	0,350504	0,355959	N387.bmp
23,2397	23,37643	22,75378	24,42273	0,048443	0,048991	0,071322	0,008145	0,042144	0,039706	0,04195	0,038666	0,449181	0,440139	0,452268	0,42917	N388.bmp
24,2185	24,01707	24,12151	23,39198	-0,06312	-0,04928	-0,05828	-0,01992	0,022036	0,022044	0,021663	0,022316	0,355222	0,359571	0,354758	0,370721	N389.bmp
23,86401	23,41295	23,45455	22,89193	-0,05361	-0,03411	-0,03789	-0,0112	0,021219	0,020909	0,020669	0,020893	0,360464	0,359828	0,355848	0,371255	N390.bmp
28,38033	26,79098	25,41118	26,60109	-0,11778	-0,04564	0,007794	-0,03624	0,021058	0,020507	0,020474	0,020764	0,335756	0,357871	0,369039	0,352794	N391.bmp
25,60398	22,53887	24,63612	21,92266	-0,12821	0,009505	-0,08167	0,038242	0,022165	0,021649	0,021697	0,021614	0,339104	0,365805	0,350687	0,375746	N392.bmp
24,29553	20,98176	23,12385	21,10286	-0,12928	0,032808	-0,06838	0,027687	0,02194	0,022021	0,022163	0,022427	0,346318	0,381382	0,350539	0,381477	N393.bmp
28,56754	23,6658	23,89055	23,00819	-0,19089	0,019174	4,99E-07	0,048233	0,024975	0,024013	0,023447	0,024319	0,324584	0,378293	0,371091	0,381159	N394.bmp
24,23159	22,76756	22,29014	22,87444	-0,10409	-0,03906	-0,01544	-0,04312	0,022437	0,021866	0,021784	0,021936	0,353693	0,371489	0,370952	0,363196	N395.bmp
23,00492	19,93896	21,26703	20,33724	-0,14161	0,012295	-0,05752	-0,00744	0,021841	0,021468	0,021496	0,021405	0,346192	0,385261	0,36307	0,376481	N396.bmp
24,67129	21,92789	22,02288	21,47256	-0,14751	-0,01368	-0,02399	0,008013	0,022328	0,021574	0,021779	0,021737	0,336159	0,371838	0,364262	0,379125	N397.bmp

Kontras				Korelasi				Energi				Homogenitas				Nama Citra
0°	45°	90°	135°	0°	45°	90°	135°	0°	45°	90°	135°	0°	45°	90°	135°	
24,01943	21,07118	22,61406	19,79105	-0,15137	-0,00942	-0,06428	0,051335	0,02058	0,01979	0,01956	0,019588	0,330947	0,370259	0,358339	0,383992	N398.bmp
21,37192	19,85374	20,20779	19,90184	-0,08533	-0,00712	-0,02984	-0,00817	0,020031	0,019491	0,019329	0,019749	0,347658	0,377535	0,367288	0,372481	N399.bmp
20,66857	18,94652	20,1593	19,61311	-0,05974	0,032023	-0,02982	-0,00074	0,020798	0,020889	0,020415	0,02077	0,367189	0,389773	0,365716	0,381325	N400.bmp

3. Rata-rata dan Standard Deviasi Ekstraksi 16 Fitur Citra Leukemia

a. Rata-rata

Nama Citra	Kontras				Korelasi				Energi				Homogenitas			
	0°	45°	90°	135°	0°	45°	90°	135°	0°	45°	90°	135°	0°	45°	90°	135°
Citra Akut	25,31396	29,10892	26,1847	29,10892	0,094983	0,051573	0,097642	0,051573	0,027751	0,025939	0,027404	0,025939	0,414744	0,399194	0,413376	0,399194
Citra Normal	27,38992	25,46273	26,2948	25,46273	-0,06163	0,020335	-0,01678	0,020335	0,018660542	0,018676	0,018465	0,018676	0,338529	0,36154	0,350876	0,36154

b. Standard Deviasi

Nama Citra	Kontras				Korelasi				Energi				Homogenitas			
	0°	45°	90°	135°	0°	45°	90°	135°	0°	45°	90°	135°	0°	45°	90°	135°
Citra Akut	13,37083	20,52769	15,55067	20,52769	0,162096	0,086558	0,133393	0,086558	0,012548	0,009028	0,011409	0,009028	0,044743	0,026953	0,037961	0,026953
Citra Normal	3,289776	3,351926	3,413126	3,351926	0,040186	0,028723	0,035352	0,028723	0,005647463	0,005569	0,005658	0,005569	0,021879	0,021645	0,023499	0,021645

4. Rata-rata dan Standard Deviasi Ekstraksi 4 Fitur Citra Leukemia

a. Rata-rata

	Kontras	Korelasi	Energi	Homogenitas
Citra Akut	27,42912	0,073943	0,026758	0,406627
Citra Normal	26,15254	-0,00944	0,01862	0,353122

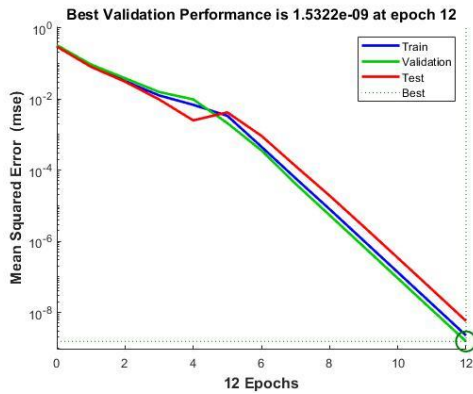
b. Standard Deviasi

	Kontras	Korelasi	Energi	Homogenitas
Citra Akut	3,614031	0,037219	0,001765	0,008762
Citra Normal	0,050358	0,005583	4,82E-05	0,000895

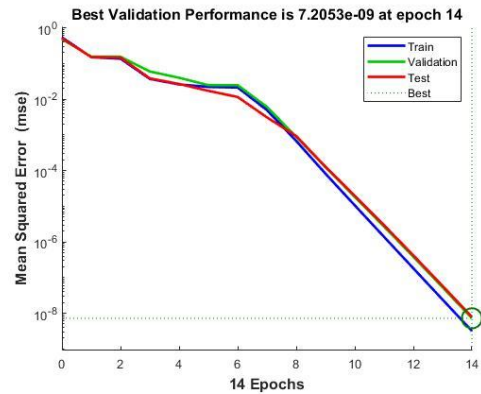
LAMPIRAN TRAINING FUNCTION

1. Data Set 1

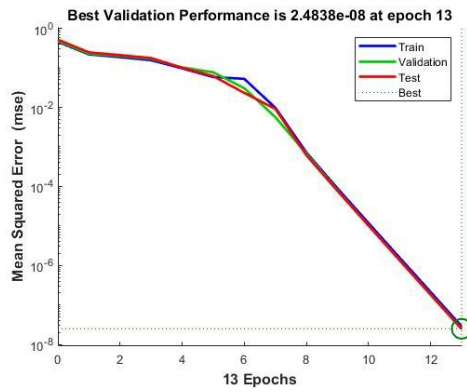
a. LM



Best Performance HN 1



Best Performance HN 5



Best Performance HN 10

		Training Confusion Matrix			Validation Confusion Matrix		
Output Class	0	255 50.6%	0 0.0%	100% 0.0%	52 48.1%	0 0.0%	100% 0.0%
	1	0 0.0%	249 49.4%	100% 0.0%	0 0.0%	56 51.9%	100% 0.0%
		100% 0.0%	100% 0.0%	100% 0.0%	100% 0.0%	100% 0.0%	100% 0.0%
		Test Confusion Matrix			All Confusion Matrix		
Output Class	0	53 49.1%	0 0.0%	100% 0.0%	360 50.0%	0 0.0%	100% 0.0%
	1	0 0.0%	55 50.9%	100% 0.0%	0 0.0%	360 50.0%	100% 0.0%
		100% 0.0%	100% 0.0%	100% 0.0%	100% 0.0%	100% 0.0%	100% 0.0%
		Target Class			Target Class		

Confusion Matrix HN 1

Training Confusion Matrix

Output Class	0	1	
0	248 49.2%	0 0.0%	100% 0.0%
1	0 0.0%	256 50.8%	100% 0.0%
	100% 0.0%	100% 0.0%	100% 0.0%
	0	1	Target Class

Validation Confusion Matrix

Output Class	0	1	
0	59 54.6%	0 0.0%	100% 0.0%
1	0 0.0%	49 45.4%	100% 0.0%
	100% 0.0%	100% 0.0%	100% 0.0%
	0	1	Target Class

Test Confusion Matrix

Output Class	0	1	
0	53 49.1%	0 0.0%	100% 0.0%
1	0 0.0%	55 50.9%	100% 0.0%
	100% 0.0%	100% 0.0%	100% 0.0%
	0	1	Target Class

All Confusion Matrix

Output Class	0	1	
0	360 50.0%	0 0.0%	100% 0.0%
1	0 0.0%	360 50.0%	100% 0.0%
	100% 0.0%	100% 0.0%	100% 0.0%
	0	1	Target Class

Confusion Matrix HN 5

Training Confusion Matrix

Output Class	0	1	
0	246 48.8%	0 0.0%	100% 0.0%
1	0 0.0%	258 51.2%	100% 0.0%
	100% 0.0%	100% 0.0%	100% 0.0%
	0	1	Target Class

Validation Confusion Matrix

Output Class	0	1	
0	55 50.9%	0 0.0%	100% 0.0%
1	0 0.0%	53 49.1%	100% 0.0%
	100% 0.0%	100% 0.0%	100% 0.0%
	0	1	Target Class

Test Confusion Matrix

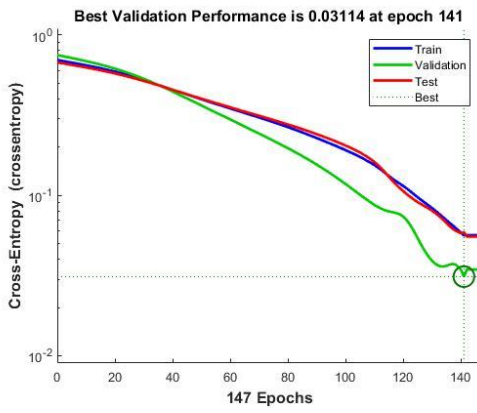
Output Class	0	1	
0	59 54.6%	0 0.0%	100% 0.0%
1	0 0.0%	49 45.4%	100% 0.0%
	100% 0.0%	100% 0.0%	100% 0.0%
	0	1	Target Class

All Confusion Matrix

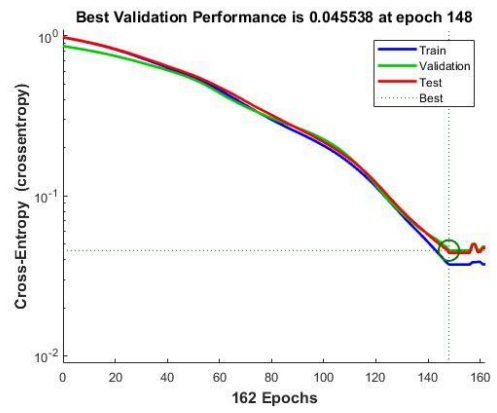
Output Class	0	1	
0	360 50.0%	0 0.0%	100% 0.0%
1	0 0.0%	360 50.0%	100% 0.0%
	100% 0.0%	100% 0.0%	100% 0.0%
	0	1	Target Class

Confusion Matrix HN 10

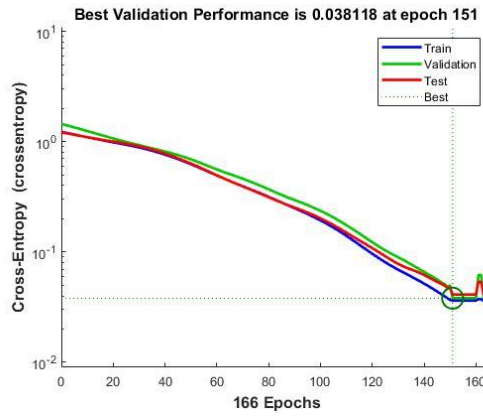
b. GDX



Best Performance HN 1



Best Performance HN 5



Best Performance HN 10

		Training Confusion Matrix			Validation Confusion Matrix		
Output Class	Target Class	0	1	2	0	1	2
		0	250 49.6%	3 0.6%	98.8%	56 51.9%	0 0.0%
1	4 0.8%	247 49.0%	98.4%	0 0.0%	52 48.1%	100%	0.0%
2	98.4% 1.6%	98.8% 1.2%	98.6% 1.4%	100% 0.0%	100% 0.0%	100% 0.0%	

		Test Confusion Matrix			All Confusion Matrix		
Output Class	Target Class	0	1	2	0	1	2
		0	48 44.4%	1 0.9%	98.0%	354 49.2%	4 0.6%
1	2 1.9%	57 52.8%	96.6%	6 0.8%	356 49.4%	98.3%	1.7%
2	96.0% 4.0%	98.3% 1.7%	97.2% 2.8%	98.3% 1.7%	98.9% 1.1%	98.6% 1.4%	

Confusion Matrix HN 1

Training Confusion Matrix

Output Class	0	255 50.6%	0 0.0%	100% 0.0%
	1	3 0.6%	246 48.8%	98.8% 1.2%
		98.8% 1.2%	100% 0.0%	99.4% 0.6%
		Target Class		

Validation Confusion Matrix

Output Class	0	46 42.6%	0 0.0%	100% 0.0%
	1	2 1.9%	60 55.6%	96.8% 3.2%
		95.8% 4.2%	100% 0.0%	98.1% 1.9%
		Target Class		

Test Confusion Matrix

Output Class	0	53 49.1%	0 0.0%	100% 0.0%
	1	1 0.9%	54 50.0%	98.2% 1.8%
		98.1% 1.9%	100% 0.0%	99.1% 0.9%
		Target Class		

All Confusion Matrix

Output Class	0	354 49.2%	0 0.0%	100% 0.0%
	1	6 0.8%	360 50.0%	98.4% 1.6%
		98.3% 1.7%	100% 0.0%	99.2% 0.8%
		Target Class		

Confusion Matrix HN 5

Training Confusion Matrix

Output Class	0	239 47.4%	2 0.4%	99.2% 0.8%
	1	3 0.6%	260 51.6%	98.9% 1.1%
		98.8% 1.2%	99.2% 0.8%	99.0% 1.0%
		Target Class		

Validation Confusion Matrix

Output Class	0	65 60.2%	0 0.0%	100% 0.0%
	1	2 1.9%	41 38.0%	95.3% 4.7%
		97.0% 3.0%	100% 0.0%	98.1% 1.9%
		Target Class		

Test Confusion Matrix

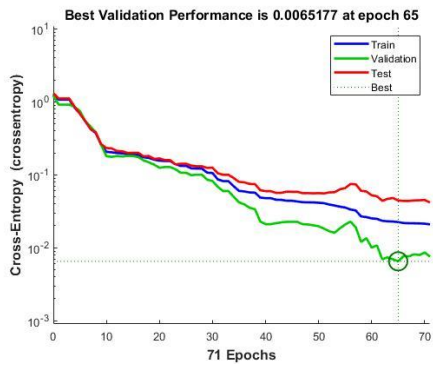
Output Class	0	50 46.3%	0 0.0%	100% 0.0%
	1	1 0.9%	57 52.8%	98.3% 1.7%
		98.0% 2.0%	100% 0.0%	99.1% 0.9%
		Target Class		

All Confusion Matrix

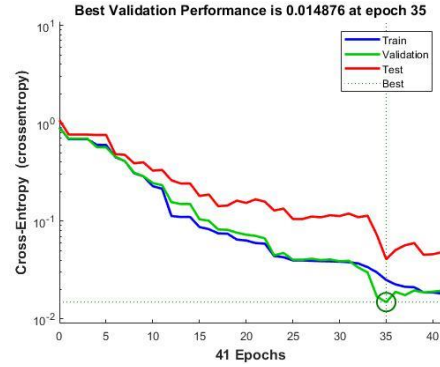
Output Class	0	354 49.2%	2 0.3%	99.4% 0.6%
	1	6 0.8%	358 49.7%	98.4% 1.6%
		98.3% 1.7%	99.4% 0.6%	98.9% 1.1%
		Target Class		

Confusion Matrix HN 10

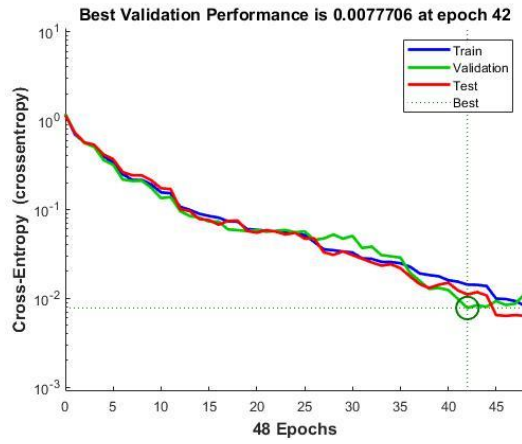
c. SCG



Best Performance HN 1



Best Performance HN 5



Best Performance HN 10

Training Confusion Matrix

Output Class	0	256 50.8%	1 0.2%	99.6% 0.4%
	1	3 0.6%	244 48.4%	98.8% 1.2%
		98.8% 1.2%	99.6% 0.4%	99.2% 0.8%
		Target Class		

Validation Confusion Matrix

Output Class	0	45 41.7%	0 0.0%	100% 0.0%
	1	0 0.0%	63 58.3%	100% 0.0%
		100% 0.0%	100% 0.0%	100% 0.0%
		Target Class		

Test Confusion Matrix

Output Class	0	54 50.0%	1 0.9%	98.2% 1.8%
	1	2 1.9%	51 47.2%	96.2% 3.8%
		96.4% 3.6%	98.1% 1.9%	97.2% 2.8%
		Target Class		

All Confusion Matrix

Output Class	0	355 49.3%	2 0.3%	99.4% 0.6%
	1	5 0.7%	358 49.7%	98.6% 1.4%
		98.6% 1.4%	99.4% 0.6%	99.0% 1.0%
		Target Class		

Confusion Matrix HN 1



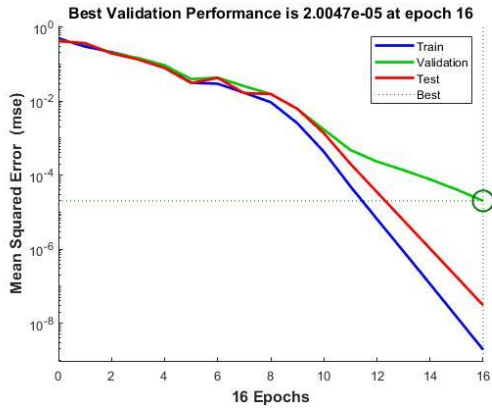
Confusion Matrix HN 5



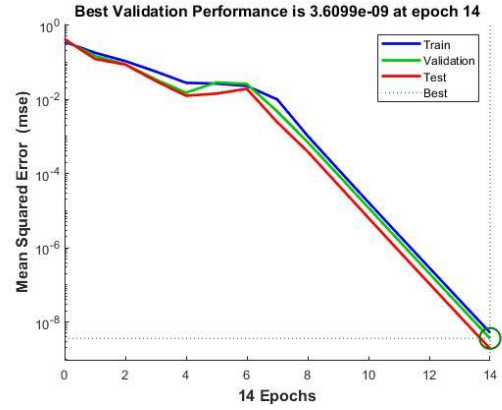
Confusion Matrix HN 10

2. Data Set 2

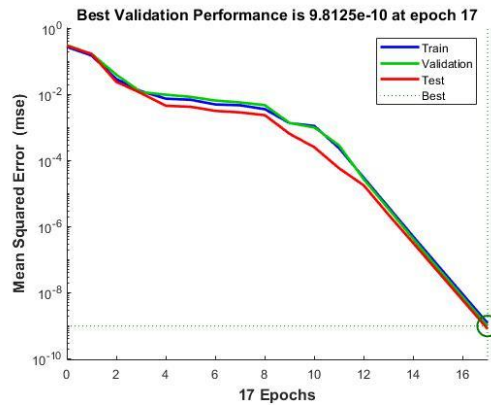
a. LM



Best Performance HN 1



Best Performance HN 5



Best Performance HN 10

		Training Confusion Matrix			Validation Confusion Matrix		
Output Class	Target Class	0	1	100%	0	1	100%
		0	243 48.2%	0 0.0%	100% 0.0%	58 53.7%	0 0.0%
1	0 0.0%	261 51.8%	100% 0.0%	0 0.0%	50 46.3%	100% 0.0%	
		100% 0.0%	100% 0.0%	100% 0.0%	100% 0.0%	100% 0.0%	100% 0.0%

		Test Confusion Matrix			All Confusion Matrix		
Output Class	Target Class	0	1	100%	0	1	100%
		0	59 54.6%	0 0.0%	100% 0.0%	360 50.0%	0 0.0%
1	0 0.0%	49 45.4%	100% 0.0%	0 0.0%	360 50.0%	100% 0.0%	
		100% 0.0%	100% 0.0%	100% 0.0%	100% 0.0%	100% 0.0%	

Confusion Matrix HN 1

Training Confusion Matrix

Output Class	0	264 52.4%	0 0.0%	100% 0.0%
	1	0 0.0%	240 47.6%	100% 0.0%
		100% 0.0%	100% 0.0%	100% 0.0%
		Target Class		

Validation Confusion Matrix

Output Class	0	50 46.3%	0 0.0%	100% 0.0%
	1	0 0.0%	58 53.7%	100% 0.0%
		100% 0.0%	100% 0.0%	100% 0.0%
		Target Class		

Test Confusion Matrix

Output Class	0	46 42.6%	0 0.0%	100% 0.0%
	1	0 0.0%	62 57.4%	100% 0.0%
		100% 0.0%	100% 0.0%	100% 0.0%
		Target Class		

All Confusion Matrix

Output Class	0	360 50.0%	0 0.0%	100% 0.0%
	1	0 0.0%	360 50.0%	100% 0.0%
		100% 0.0%	100% 0.0%	100% 0.0%
		Target Class		

Confusion Matrix HN 5

Training Confusion Matrix

Output Class	0	249 49.4%	0 0.0%	100% 0.0%
	1	0 0.0%	255 50.6%	100% 0.0%
		100% 0.0%	100% 0.0%	100% 0.0%
		Target Class		

Validation Confusion Matrix

Output Class	0	55 50.9%	0 0.0%	100% 0.0%
	1	0 0.0%	53 49.1%	100% 0.0%
		100% 0.0%	100% 0.0%	100% 0.0%
		Target Class		

Test Confusion Matrix

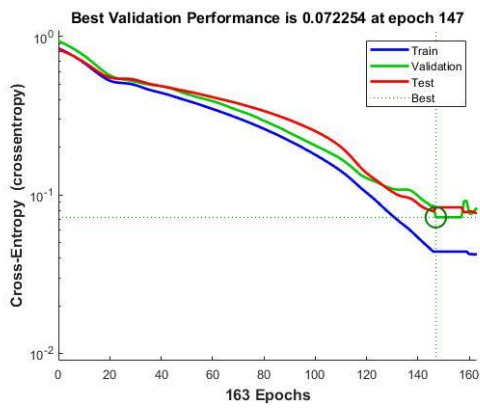
Output Class	0	56 51.9%	0 0.0%	100% 0.0%
	1	0 0.0%	52 48.1%	100% 0.0%
		100% 0.0%	100% 0.0%	100% 0.0%
		Target Class		

All Confusion Matrix

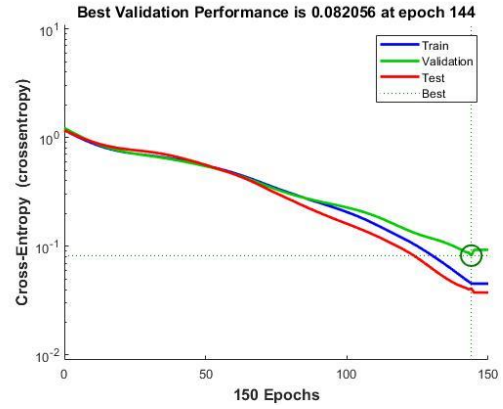
Output Class	0	360 50.0%	0 0.0%	100% 0.0%
	1	0 0.0%	360 50.0%	100% 0.0%
		100% 0.0%	100% 0.0%	100% 0.0%
		Target Class		

Confusion Matrix HN 10

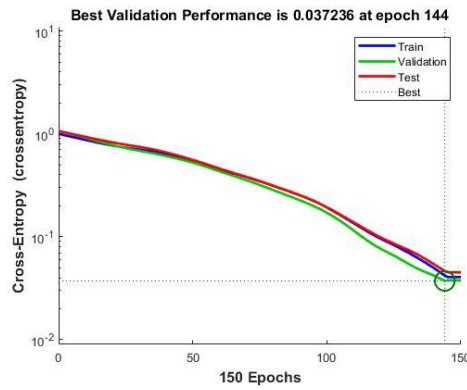
b. GDx



Best Performance HN 1



Best Performance HN 5



Best Performance HN 10

		Training Confusion Matrix			Validation Confusion Matrix		
Output Class	Target Class	0	1	Accuracy	0	1	Accuracy
		0	252 50.0%	4 0.8%	98.4%	57 52.8%	1 0.9%
1	0 0.0%	248 49.2%	100%	3 2.8%	47 43.5%	94.0%	
		100% 0.0%	98.4% 1.6%	99.2% 0.8%	95.0% 5.0%	97.9% 2.1%	96.3% 3.7%

		Test Confusion Matrix			All Confusion Matrix		
Output Class	Target Class	0	1	Accuracy	0	1	Accuracy
		0	47 43.5%	3 2.8%	94.0%	356 49.4%	8 1.1%
1	1 0.9%	57 52.8%	98.3%	4 0.6%	352 48.9%	98.9%	
		97.9% 2.1%	95.0% 5.0%	96.3% 3.7%	98.9% 1.1%	97.8% 2.2%	98.3% 1.7%

Confusion Matrix HN 1

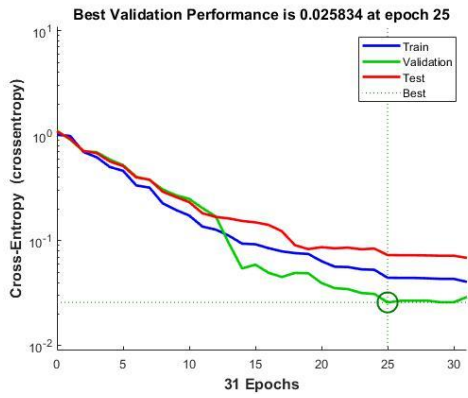


Confusion Matrix HN 5

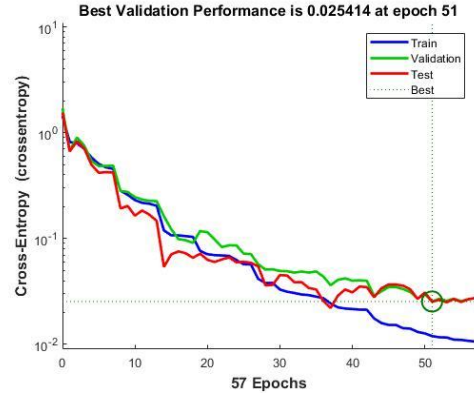


Confusion Matrix HN 10

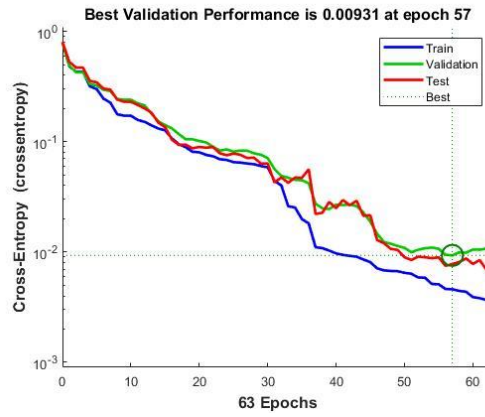
c. SCG



Best Performance HN 1



Best Performance HN 5



Best Performance HN 10

		Training Confusion Matrix			Validation Confusion Matrix		
Output Class	Target Class	0	1	Accuracy	0	1	Accuracy
		0	257 51.0%	4 0.8%	98.5%	50 46.3%	1 0.9%
1	1 0.2%	242 48.0%	99.6%	0 0.0%	57 52.8%	100%	
		99.6% 0.4%	98.4% 1.6%	99.0% 1.0%	100% 0.0%	98.3% 1.7%	99.1% 0.9%

		Test Confusion Matrix			All Confusion Matrix		
Output Class	Target Class	0	1	Accuracy	0	1	Accuracy
		0	51 47.2%	2 1.9%	96.2%	358 49.7%	7 1.0%
1	1 0.9%	54 50.0%	98.2%	2 0.3%	353 49.0%	99.4%	
		98.1% 1.9%	96.4% 3.6%	97.2% 2.8%	99.4% 0.6%	98.1% 1.9%	98.8% 1.2%

Confusion Matrix HN 1

Training Confusion Matrix

Output Class	0	263 52.2%	1 0.2%	99.6% 0.4%
	1	0 0.0%	240 47.6%	100% 0.0%
		100% 0.0%	99.6% 0.4%	99.8% 0.2%
		0	1	
		Target Class		

Validation Confusion Matrix

Output Class	0	45 41.7%	1 0.9%	97.8% 2.2%
	1	0 0.0%	62 57.4%	100% 0.0%
		100% 0.0%	98.4% 1.6%	99.1% 0.9%
		0	1	
		Target Class		

Test Confusion Matrix

Output Class	0	52 48.1%	1 0.9%	98.1% 1.9%
	1	0 0.0%	55 50.9%	100% 0.0%
		100% 0.0%	98.2% 1.8%	99.1% 0.9%
		0	1	
		Target Class		

All Confusion Matrix

Output Class	0	360 50.0%	3 0.4%	99.2% 0.8%
	1	0 0.0%	357 49.6%	100% 0.0%
		100% 0.0%	99.2% 0.8%	99.6% 0.4%
		0	1	
		Target Class		

Confusion Matrix HN 5

Training Confusion Matrix

Output Class	0	257 51.0%	0 0.0%	100% 0.0%
	1	0 0.0%	247 49.0%	100% 0.0%
		100% 0.0%	100% 0.0%	100% 0.0%
		0	1	
		Target Class		

Validation Confusion Matrix

Output Class	0	54 50.0%	0 0.0%	100% 0.0%
	1	0 0.0%	54 50.0%	100% 0.0%
		100% 0.0%	100% 0.0%	100% 0.0%
		0	1	
		Target Class		

Test Confusion Matrix

Output Class	0	49 45.4%	0 0.0%	100% 0.0%
	1	0 0.0%	59 54.6%	100% 0.0%
		100% 0.0%	100% 0.0%	100% 0.0%
		0	1	
		Target Class		

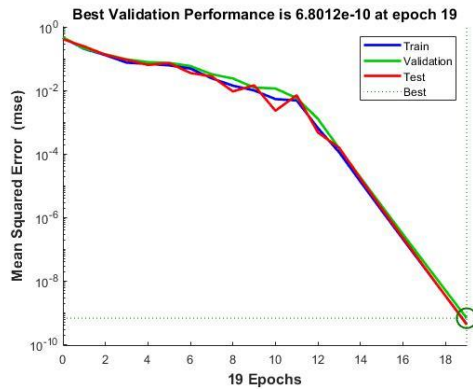
All Confusion Matrix

Output Class	0	360 50.0%	0 0.0%	100% 0.0%
	1	0 0.0%	360 50.0%	100% 0.0%
		100% 0.0%	100% 0.0%	100% 0.0%
		0	1	
		Target Class		

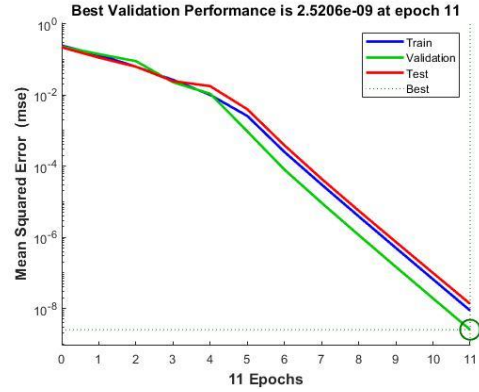
Confusion Matrix HN 10

3. Data Set 3

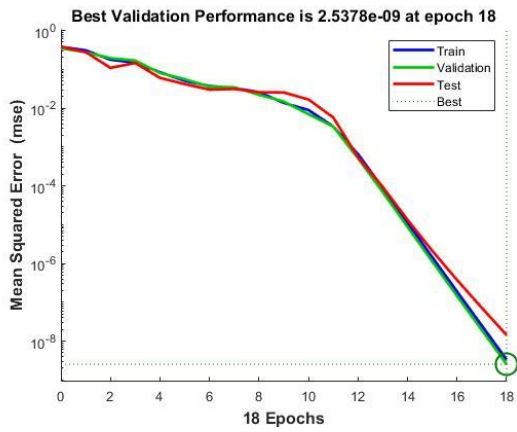
a. LM



Best Performance HN 1



Best Performance HN 5



Best Performance HN 10

Training Confusion Matrix

Output Class \ Target Class	0	1	
0	248 49.2%	0 0.0%	100% 0.0%
1	0 0.0%	256 50.8%	100% 0.0%
	100% 0.0%	100% 0.0%	100% 0.0%

Validation Confusion Matrix

Output Class \ Target Class	0	1	
0	53 49.1%	0 0.0%	100% 0.0%
1	0 0.0%	55 50.9%	100% 0.0%
	100% 0.0%	100% 0.0%	100% 0.0%

Test Confusion Matrix

Output Class \ Target Class	0	1	
0	59 54.6%	0 0.0%	100% 0.0%
1	0 0.0%	49 45.4%	100% 0.0%
	100% 0.0%	100% 0.0%	100% 0.0%

All Confusion Matrix

Output Class \ Target Class	0	1	
0	360 50.0%	0 0.0%	100% 0.0%
1	0 0.0%	360 50.0%	100% 0.0%
	100% 0.0%	100% 0.0%	100% 0.0%

Confusion Matrix HN 1

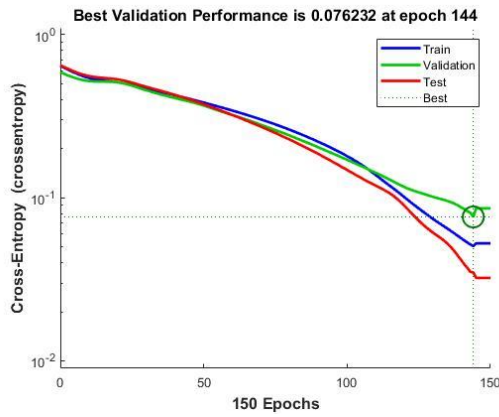


Confusion Matrix HN 5

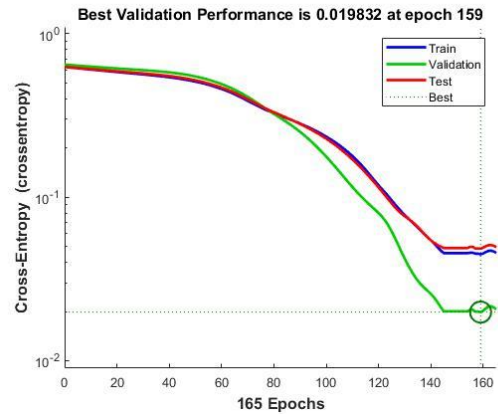


Confusion Matrix HN 10

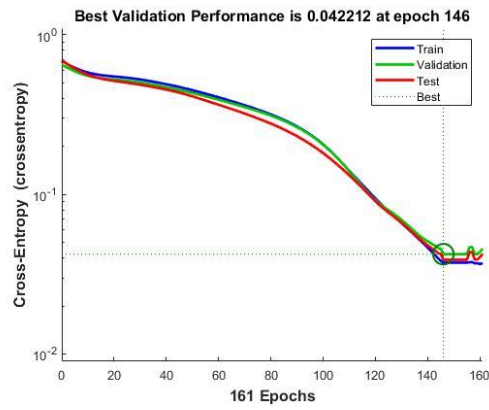
b. GDx



Best Performance HN 1



Best Performance HN 5



Best Performance HN 10

Training Confusion Matrix

Output Class	0	253 50.2%	2 0.4%	99.2% 0.8%
	1	6 1.2%	243 48.2%	97.6% 2.4%
		97.7% 2.3%	99.2% 0.8%	98.4% 1.6%
		0	1	
		0	1	
		0	1	
		0	1	

Target Class

Validation Confusion Matrix

Output Class	0	48 44.4%	1 0.9%	98.0% 2.0%
	1	2 1.9%	57 52.8%	96.6% 3.4%
		96.0% 4.0%	98.3% 1.7%	97.2% 2.8%
		0	1	
		0	1	
		0	1	
		0	1	

Target Class

Test Confusion Matrix

Output Class	0	49 45.4%	0 0.0%	100% 0.0%
	1	2 1.9%	57 52.8%	96.6% 3.4%
		96.1% 3.9%	100% 0.0%	98.1% 1.9%
		0	1	
		0	1	
		0	1	
		0	1	

Target Class

All Confusion Matrix

Output Class	0	350 48.6%	3 0.4%	99.2% 0.8%
	1	10 1.4%	357 49.6%	97.3% 2.7%
		97.2% 2.8%	99.2% 0.8%	98.2% 1.8%
		0	1	
		0	1	
		0	1	
		0	1	

Target Class

Confusion Matrix HN 1

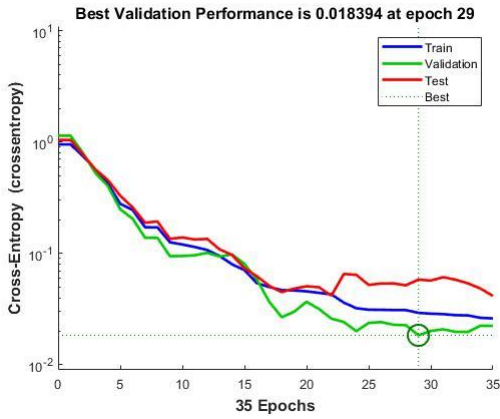


Confusion Matrix HN 5

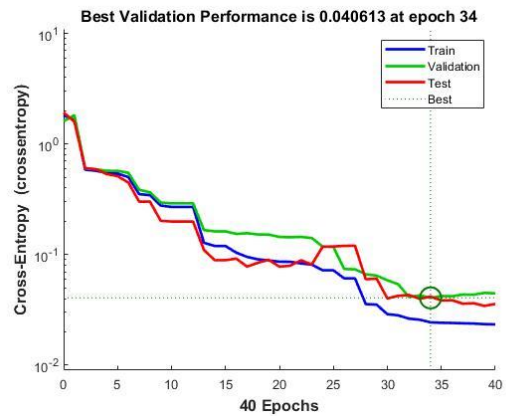


Confusion Matrix HN 10

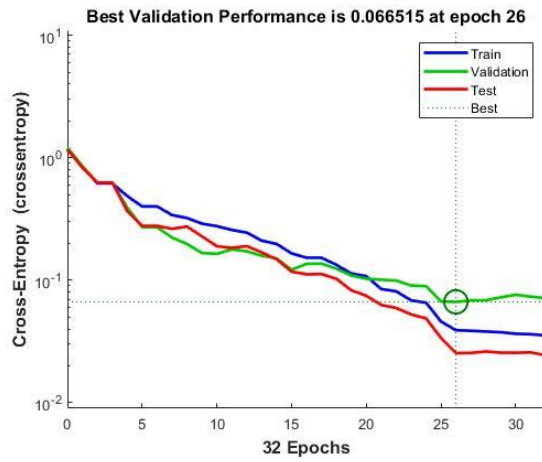
c. SCG



Best Performance HN 1



Best Performance HN 5



Best Performance HN 10

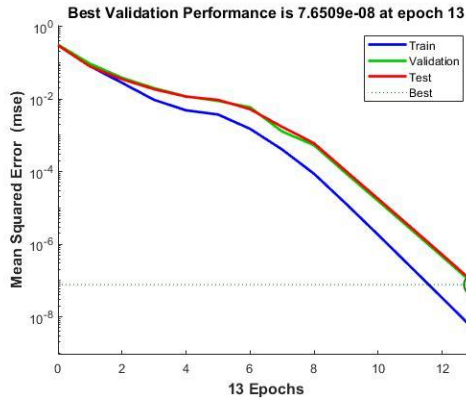
Training Confusion Matrix			Validation Confusion Matrix			
Output Class	0	1	0	1	0	1
0	241 47.8%	5 1.0%	98.0% 2.0%	60 55.6%	0 0.0%	100% 0.0%
1	2 0.4%	256 50.8%	99.2% 0.8%	0 0.0%	48 44.4%	100% 0.0%
	99.2% 0.8%	98.1% 1.9%	98.6% 1.4%	100% 0.0%	100% 0.0%	100% 0.0%
	0	1	0	1	0	1
Target Class	0	1	0	1	0	1

Test Confusion Matrix			All Confusion Matrix			
Output Class	0	1	0	1	0	1
0	55 50.9%	0 0.0%	100% 0.0%	356 49.4%	5 0.7%	98.6% 1.4%
1	2 1.9%	51 47.2%	96.2% 3.8%	4 0.6%	355 49.3%	98.9% 1.1%
	96.5% 3.5%	100% 0.0%	98.1% 1.9%	98.9% 1.1%	98.6% 1.4%	98.8% 1.2%
	0	1	0	1	0	1
Target Class	0	1	0	1	0	1

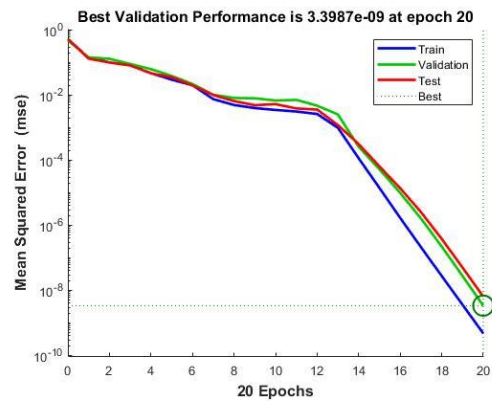
Confusion Matrix HN 1

4. Data Set 4

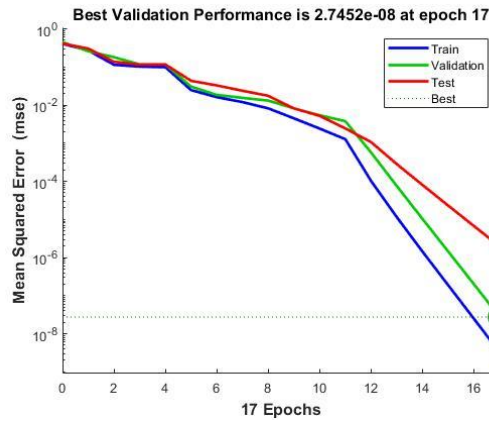
a. LM



Best Performance HN 1



Best Performance HN 5



Best Performance HN 10

Training Confusion Matrix

Output Class \ Target Class	0	1	
0	255 50.6%	0 0.0%	100% 0.0%
1	0 0.0%	249 49.4%	100% 0.0%
	100% 0.0%	100% 0.0%	100% 0.0%

Validation Confusion Matrix

Output Class \ Target Class	0	1	
0	52 48.1%	0 0.0%	100% 0.0%
1	0 0.0%	56 51.9%	100% 0.0%
	100% 0.0%	100% 0.0%	100% 0.0%

Test Confusion Matrix

Output Class \ Target Class	0	1	
0	53 49.1%	0 0.0%	100% 0.0%
1	0 0.0%	55 50.9%	100% 0.0%
	100% 0.0%	100% 0.0%	100% 0.0%

All Confusion Matrix

Output Class \ Target Class	0	1	
0	360 50.0%	0 0.0%	100% 0.0%
1	0 0.0%	360 50.0%	100% 0.0%
	100% 0.0%	100% 0.0%	100% 0.0%

Confusion Matrix HN 1

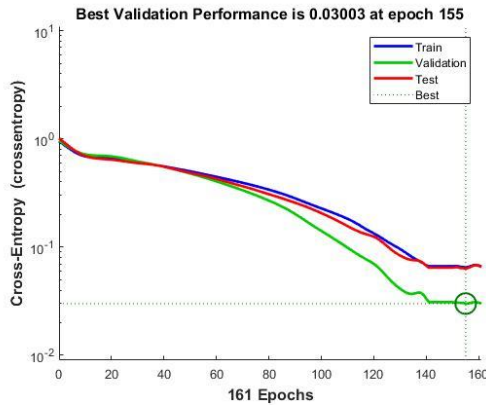


Confusion Matrix HN 5

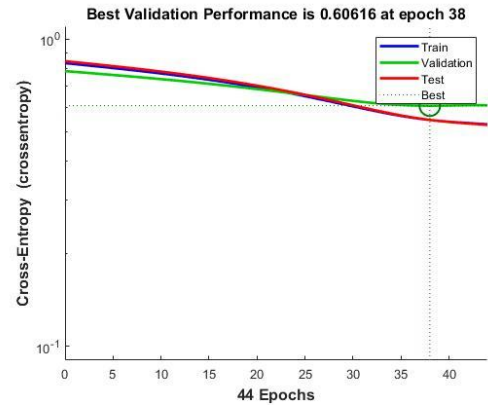


Confusion Matrix HN 10

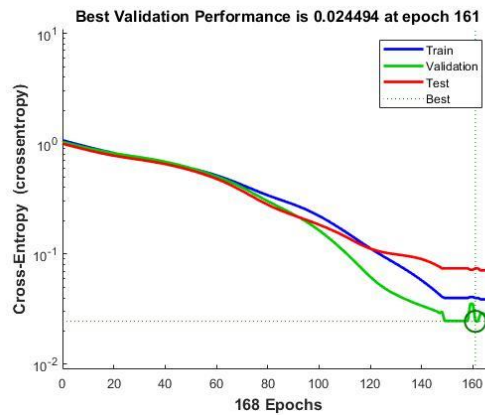
b. GDx



Best Performance HN 1



Best Performance HN 5



Best Performance HN 10

Training Confusion Matrix

Output Class \ Target Class	0	1	
0	246 48.8%	4 0.8%	98.4% 1.6%
1	6 1.2%	248 49.2%	97.6% 2.4%
	97.6% 2.4%	98.4% 1.6%	98.0% 2.0%

Validation Confusion Matrix

Output Class \ Target Class	0	1	
0	59 54.6%	0 0.0%	100% 0.0%
1	1 0.9%	48 44.4%	98.0% 2.0%
	98.3% 1.7%	100% 0.0%	99.1% 0.9%

Test Confusion Matrix

Output Class \ Target Class	0	1	
0	45 41.7%	0 0.0%	100% 0.0%
1	3 2.8%	60 55.6%	95.2% 4.8%
	93.8% 6.3%	100% 0.0%	97.2% 2.8%

All Confusion Matrix

Output Class \ Target Class	0	1	
0	350 48.6%	4 0.6%	98.9% 1.1%
1	10 1.4%	356 49.4%	97.3% 2.7%
	97.2% 2.8%	98.9% 1.1%	98.1% 1.9%

Confusion Matrix HN 1

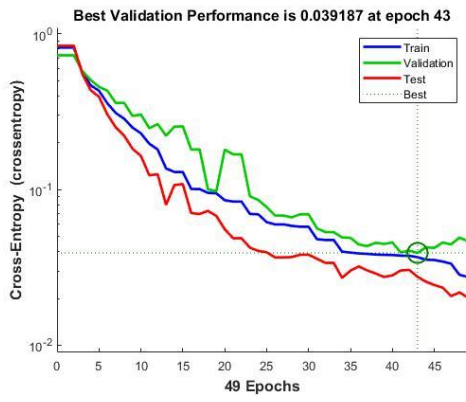


Confusion Matrix HN 5

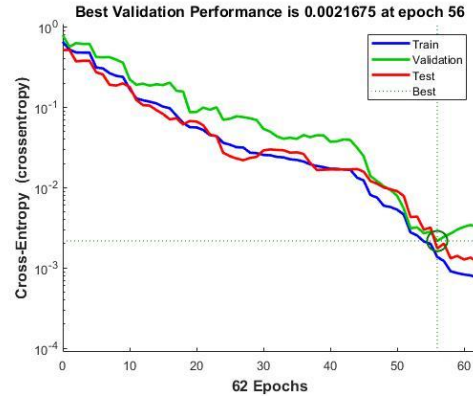


Confusion Matrix HN 10

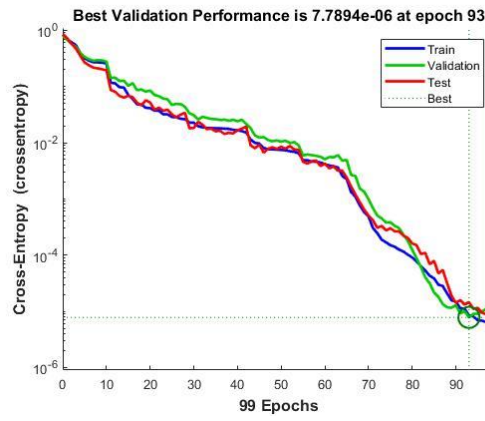
c. SCG



Best Performance HN 1



Best Performance HN 5



Best Performance HN 10

Training Confusion Matrix

Output Class \ Target Class	0	1	
0	253 50.2%	4 0.8%	98.4% 1.6%
1	2 0.4%	245 48.6%	99.2% 0.8%
	99.2% 0.8%	98.4% 1.6%	98.8% 1.2%

Validation Confusion Matrix

Output Class \ Target Class	0	1	
0	44 40.7%	2 1.9%	95.7% 4.3%
1	1 0.9%	61 56.5%	98.4% 1.6%
	97.8% 2.2%	96.8% 3.2%	97.2% 2.8%

Test Confusion Matrix

Output Class \ Target Class	0	1	
0	60 55.6%	1 0.9%	98.4% 1.6%
1	0 0.0%	47 43.5%	100% 0.0%
	100% 0.0%	97.9% 2.1%	99.1% 0.9%

All Confusion Matrix

Output Class \ Target Class	0	1	
0	357 49.6%	7 1.0%	98.1% 1.9%
1	3 0.4%	353 49.0%	99.2% 0.8%
	99.2% 0.8%	98.1% 1.9%	98.6% 1.4%

Confusion Matrix HN 1

Training Confusion Matrix

Output Class	0	254 50.4%	0 0.0%	100% 0.0%
	1	0 0.0%	250 49.6%	100% 0.0%
		100% 0.0%	100% 0.0%	100% 0.0%
		Target Class		

Validation Confusion Matrix

Output Class	0	59 54.6%	0 0.0%	100% 0.0%
	1	0 0.0%	49 45.4%	100% 0.0%
		100% 0.0%	100% 0.0%	100% 0.0%
		Target Class		

Test Confusion Matrix

Output Class	0	47 43.5%	0 0.0%	100% 0.0%
	1	0 0.0%	61 56.5%	100% 0.0%
		100% 0.0%	100% 0.0%	100% 0.0%
		Target Class		

All Confusion Matrix

Output Class	0	360 50.0%	0 0.0%	100% 0.0%
	1	0 0.0%	360 50.0%	100% 0.0%
		100% 0.0%	100% 0.0%	100% 0.0%
		Target Class		

Confusion Matrix HN 5

Training Confusion Matrix

Output Class	0	243 48.2%	0 0.0%	100% 0.0%
	1	0 0.0%	261 51.8%	100% 0.0%
		100% 0.0%	100% 0.0%	100% 0.0%
		Target Class		

Validation Confusion Matrix

Output Class	0	54 50.0%	0 0.0%	100% 0.0%
	1	0 0.0%	54 50.0%	100% 0.0%
		100% 0.0%	100% 0.0%	100% 0.0%
		Target Class		

Test Confusion Matrix

Output Class	0	63 58.3%	0 0.0%	100% 0.0%
	1	0 0.0%	45 41.7%	100% 0.0%
		100% 0.0%	100% 0.0%	100% 0.0%
		Target Class		

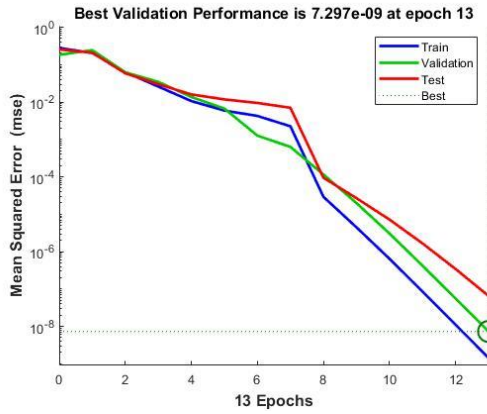
All Confusion Matrix

Output Class	0	360 50.0%	0 0.0%	100% 0.0%
	1	0 0.0%	360 50.0%	100% 0.0%
		100% 0.0%	100% 0.0%	100% 0.0%
		Target Class		

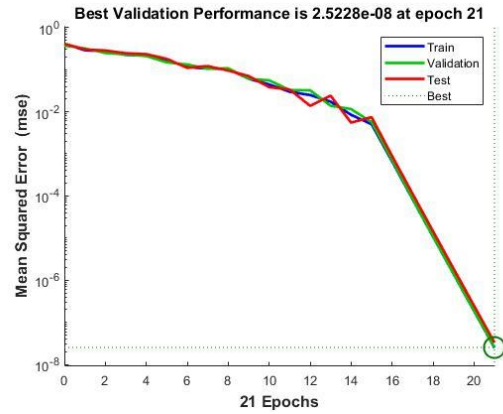
Confusion Matrix HN 10

5. Data Set 5

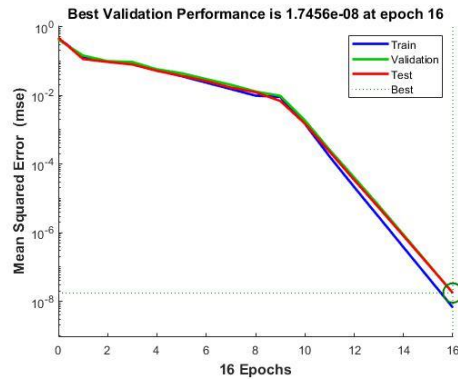
a. LM



Best Performance HN 1



Best Performance HN 5



Best Performance HN 10

Training Confusion Matrix

Output Class	0	1	
0	263 52.2%	0 0.0%	100% 0.0%
1	0 0.0%	241 47.8%	100% 0.0%
	100% 0.0%	100% 0.0%	100% 0.0%
	0	1	Target Class

Validation Confusion Matrix

Output Class	0	1	
0	45 41.7%	0 0.0%	100% 0.0%
1	0 0.0%	63 58.3%	100% 0.0%
	100% 0.0%	100% 0.0%	100% 0.0%
	0	1	Target Class

Test Confusion Matrix

Output Class	0	1	
0	52 48.1%	0 0.0%	100% 0.0%
1	0 0.0%	56 51.9%	100% 0.0%
	100% 0.0%	100% 0.0%	100% 0.0%
	0	1	Target Class

All Confusion Matrix

Output Class	0	1	
0	360 50.0%	0 0.0%	100% 0.0%
1	0 0.0%	360 50.0%	100% 0.0%
	100% 0.0%	100% 0.0%	100% 0.0%
	0	1	Target Class

Confusion Matrix HN 1

Training Confusion Matrix

Output Class	0	249 49.4%	0 0.0%	100% 0.0%
	1	0 0.0%	255 50.6%	100% 0.0%
		100% 0.0%	100% 0.0%	100% 0.0%
		Target Class		

Validation Confusion Matrix

Output Class	0	61 56.5%	0 0.0%	100% 0.0%
	1	0 0.0%	47 43.5%	100% 0.0%
		100% 0.0%	100% 0.0%	100% 0.0%
		Target Class		

Test Confusion Matrix

Output Class	0	50 46.3%	0 0.0%	100% 0.0%
	1	0 0.0%	58 53.7%	100% 0.0%
		100% 0.0%	100% 0.0%	100% 0.0%
		Target Class		

All Confusion Matrix

Output Class	0	360 50.0%	0 0.0%	100% 0.0%
	1	0 0.0%	360 50.0%	100% 0.0%
		100% 0.0%	100% 0.0%	100% 0.0%
		Target Class		

Confusion Matrix HN 5

Training Confusion Matrix

Output Class	0	249 49.4%	0 0.0%	100% 0.0%
	1	0 0.0%	255 50.6%	100% 0.0%
		100% 0.0%	100% 0.0%	100% 0.0%
		Target Class		

Validation Confusion Matrix

Output Class	0	60 55.6%	0 0.0%	100% 0.0%
	1	0 0.0%	48 44.4%	100% 0.0%
		100% 0.0%	100% 0.0%	100% 0.0%
		Target Class		

Test Confusion Matrix

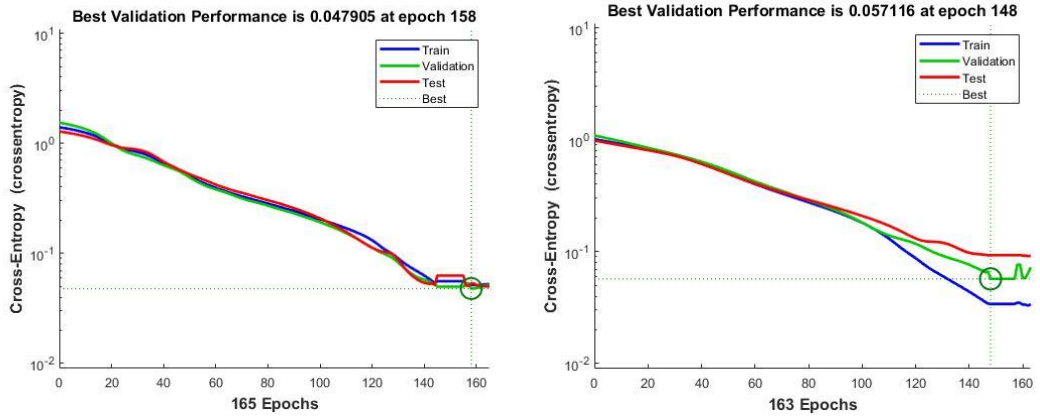
Output Class	0	51 47.2%	0 0.0%	100% 0.0%
	1	0 0.0%	57 52.8%	100% 0.0%
		100% 0.0%	100% 0.0%	100% 0.0%
		Target Class		

All Confusion Matrix

Output Class	0	360 50.0%	0 0.0%	100% 0.0%
	1	0 0.0%	360 50.0%	100% 0.0%
		100% 0.0%	100% 0.0%	100% 0.0%
		Target Class		

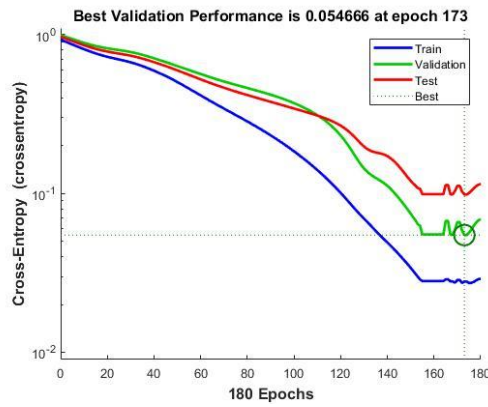
Confusion Matrix HN 10

b. GDX



Best Performance HN 1

Best Performance HN 5



Best Performance HN 10

		Training Confusion Matrix			Validation Confusion Matrix		
Output Class	Target Class	0	1	Accuracy	0	1	Accuracy
		0	250 49.6%	3 0.6%	98.8% 1.2%	45 41.7%	0 0.0%
1	6 1.2%	245 48.6%	97.6% 2.4%	1 0.9%	62 57.4%	98.4% 1.6%	
		97.7% 2.3%	98.8% 1.2%	98.2% 1.8%	97.8% 2.2%	100% 0.0%	99.1% 0.9%

		Test Confusion Matrix			All Confusion Matrix		
Output Class	Target Class	0	1	Accuracy	0	1	Accuracy
		0	57 52.8%	0 0.0%	100% 0.0%	352 48.9%	3 0.4%
1	1 0.9%	50 46.3%	98.0% 2.0%	8 1.1%	357 49.6%	97.8% 2.2%	
		98.3% 1.7%	100% 0.0%	99.1% 0.9%	97.8% 2.2%	99.2% 0.8%	98.5% 1.5%

Confusion Matrix HN 1

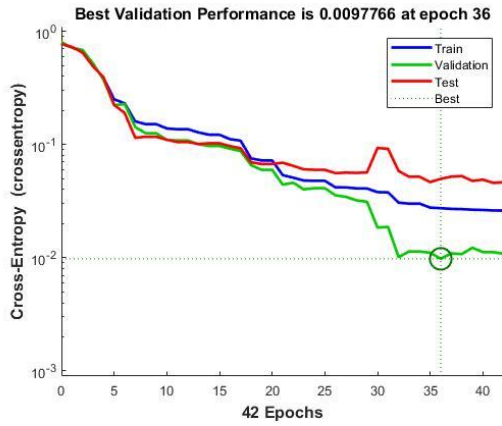


Confusion Matrix HN 5

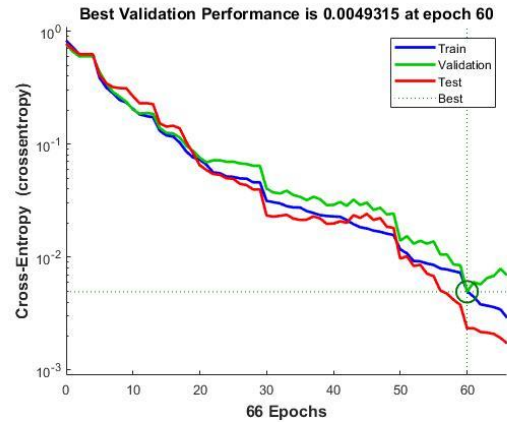


Confusion Matrix HN 10

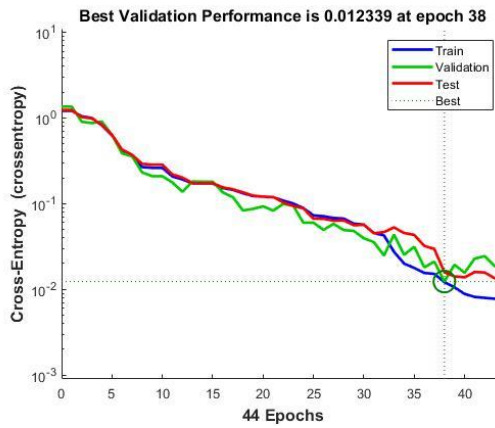
c. SCG



Best Performance HN 1



Best Performance HN 5



Best Performance HN 10

		Training Confusion Matrix			Validation Confusion Matrix		
Output Class	Target Class	0	1	2	0	1	2
		0	245 48.6%	2 0.4%	99.2% 0.8%	56 51.9%	0 0.0%
1	2 0.4%	255 50.6%	99.2% 0.8%	0 0.0%	52 48.1%	100% 0.0%	
		99.2% 0.8%	99.2% 0.8%	99.2% 0.8%	100% 0.0%	100% 0.0%	100% 0.0%

		Test Confusion Matrix			All Confusion Matrix		
Output Class	Target Class	0	1	2	0	1	2
		0	56 51.9%	1 0.9%	98.2% 1.8%	357 49.6%	3 0.4%
1	1 0.9%	50 46.3%	98.0% 2.0%	3 0.4%	357 49.6%	99.2% 0.8%	
		98.2% 1.8%	98.0% 2.0%	98.1% 1.9%	99.2% 0.8%	99.2% 0.8%	99.2% 0.8%

Confusion Matrix HN 1



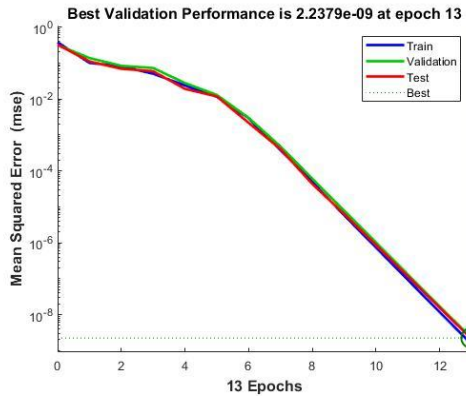
Confusion Matrix HN 5



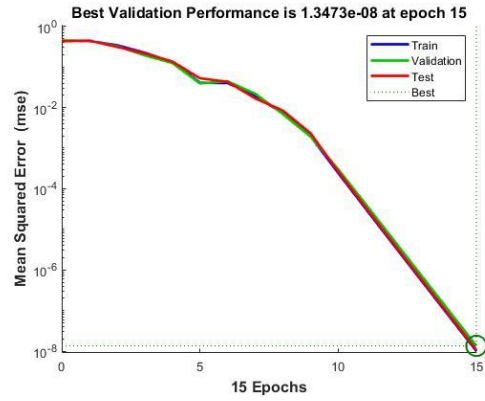
Confusion Matrix HN 10

6. Data Set 6

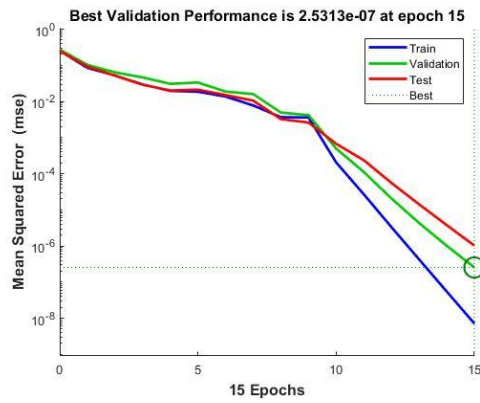
a. LM



Best Performance HN 1



Best Performance HN 5



Best Performance HN 10

Training Confusion Matrix

Output Class \ Target Class	0	1	
0	237 47.0%	0 0.0%	100% 0.0%
1	0 0.0%	267 53.0%	100% 0.0%
	100% 0.0%	100% 0.0%	100% 0.0%

Validation Confusion Matrix

Output Class \ Target Class	0	1	
0	61 56.5%	0 0.0%	100% 0.0%
1	0 0.0%	47 43.5%	100% 0.0%
	100% 0.0%	100% 0.0%	100% 0.0%

Test Confusion Matrix

Output Class \ Target Class	0	1	
0	62 57.4%	0 0.0%	100% 0.0%
1	0 0.0%	46 42.6%	100% 0.0%
	100% 0.0%	100% 0.0%	100% 0.0%

All Confusion Matrix

Output Class \ Target Class	0	1	
0	360 50.0%	0 0.0%	100% 0.0%
1	0 0.0%	360 50.0%	100% 0.0%
	100% 0.0%	100% 0.0%	100% 0.0%

Confusion Matrix HN 1

Training Confusion Matrix

Output Class	0	253 50.2%	0 0.0%	100% 0.0%
	1	0 0.0%	251 49.8%	100% 0.0%
		100% 0.0%	100% 0.0%	100% 0.0%
		Target Class		

Validation Confusion Matrix

Output Class	0	54 50.0%	0 0.0%	100% 0.0%
	1	0 0.0%	54 50.0%	100% 0.0%
		100% 0.0%	100% 0.0%	100% 0.0%
		Target Class		

Test Confusion Matrix

Output Class	0	53 49.1%	0 0.0%	100% 0.0%
	1	0 0.0%	55 50.9%	100% 0.0%
		100% 0.0%	100% 0.0%	100% 0.0%
		Target Class		

All Confusion Matrix

Output Class	0	360 50.0%	0 0.0%	100% 0.0%
	1	0 0.0%	360 50.0%	100% 0.0%
		100% 0.0%	100% 0.0%	100% 0.0%
		Target Class		

Confusion Matrix HN 5

Training Confusion Matrix

Output Class	0	249 49.4%	0 0.0%	100% 0.0%
	1	0 0.0%	255 50.6%	100% 0.0%
		100% 0.0%	100% 0.0%	100% 0.0%
		Target Class		

Validation Confusion Matrix

Output Class	0	56 51.9%	0 0.0%	100% 0.0%
	1	0 0.0%	52 48.1%	100% 0.0%
		100% 0.0%	100% 0.0%	100% 0.0%
		Target Class		

Test Confusion Matrix

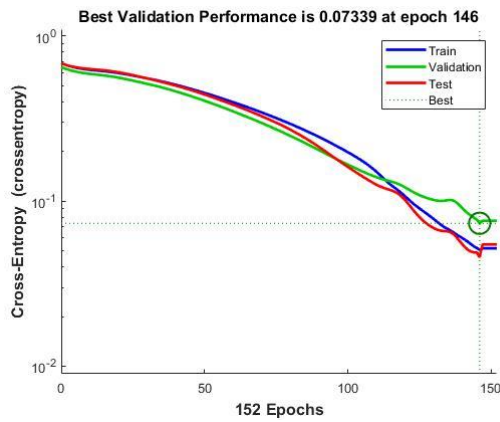
Output Class	0	55 50.9%	0 0.0%	100% 0.0%
	1	0 0.0%	53 49.1%	100% 0.0%
		100% 0.0%	100% 0.0%	100% 0.0%
		Target Class		

All Confusion Matrix

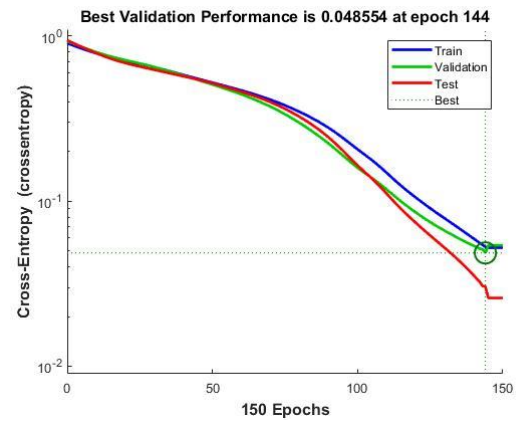
Output Class	0	360 50.0%	0 0.0%	100% 0.0%
	1	0 0.0%	360 50.0%	100% 0.0%
		100% 0.0%	100% 0.0%	100% 0.0%
		Target Class		

Confusion Matrix HN 10

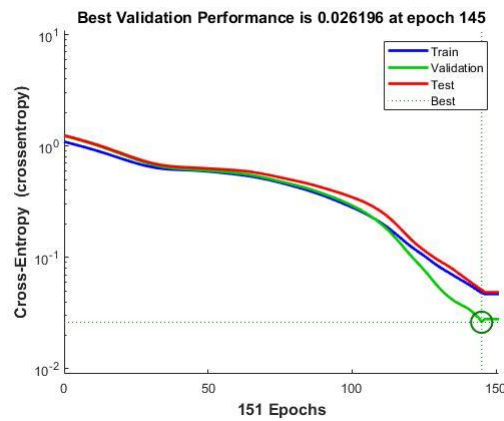
b. GDX



Best Performance HN 1



Best Performance HN 5



Best Performance HN 10

Training Confusion Matrix

Output Class	0	1	
0	236 46.8%	6 1.2%	97.5% 2.5%
1	8 1.6%	254 50.4%	96.9% 3.1%
	96.7% 3.3%	97.7% 2.3%	97.2% 2.8%

Target Class

Validation Confusion Matrix

Output Class	0	1	
0	55 50.9%	2 1.9%	96.5% 3.5%
1	4 3.7%	47 43.5%	92.2% 7.8%
	93.2% 6.8%	95.9% 4.1%	94.4% 5.6%

Target Class

Test Confusion Matrix

Output Class	0	1	
0	56 51.9%	0 0.0%	100% 0.0%
1	1 0.9%	51 47.2%	98.1% 1.9%
	98.2% 1.8%	100% 0.0%	99.1% 0.9%

Target Class

All Confusion Matrix

Output Class	0	1	
0	347 48.2%	8 1.1%	97.7% 2.3%
1	13 1.8%	352 48.9%	96.4% 3.6%
	96.4% 3.6%	97.8% 2.2%	97.1% 2.9%

Target Class

Confusion Matrix HN 1



Confusion Matrix HN 5



Confusion Matrix HN 10

Training Confusion Matrix

Output Class	0	257 51.0%	2 0.4%	99.2% 0.8%
	1	4 0.8%	241 47.8%	98.4% 1.6%
		98.5% 1.5%	99.2% 0.8%	98.8% 1.2%
		0	1	0
		Target Class		

Validation Confusion Matrix

Output Class	0	45 41.7%	0 0.0%	100% 0.0%
	1	0 0.0%	63 58.3%	100% 0.0%
		100% 0.0%	100% 0.0%	100% 0.0%
		0	1	0
		Target Class		

Test Confusion Matrix

Output Class	0	54 50.0%	2 1.9%	96.4% 3.6%
	1	0 0.0%	52 48.1%	100% 0.0%
		100% 0.0%	96.3% 3.7%	98.1% 1.9%
		0	1	0
		Target Class		

All Confusion Matrix

Output Class	0	356 49.4%	4 0.6%	98.9% 1.1%
	1	4 0.6%	356 49.4%	98.9% 1.1%
		98.9% 1.1%	98.9% 1.1%	98.9% 1.1%
		0	1	0
		Target Class		

Confusion Matrix HN 5

Training Confusion Matrix

Output Class	0	257 51.0%	0 0.0%	100% 0.0%
	1	0 0.0%	247 49.0%	100% 0.0%
		100% 0.0%	100% 0.0%	100% 0.0%
		0	1	0
		Target Class		

Validation Confusion Matrix

Output Class	0	50 46.3%	0 0.0%	100% 0.0%
	1	0 0.0%	58 53.7%	100% 0.0%
		100% 0.0%	100% 0.0%	100% 0.0%
		0	1	0
		Target Class		

Test Confusion Matrix

Output Class	0	53 49.1%	0 0.0%	100% 0.0%
	1	0 0.0%	55 50.9%	100% 0.0%
		100% 0.0%	100% 0.0%	100% 0.0%
		0	1	0
		Target Class		

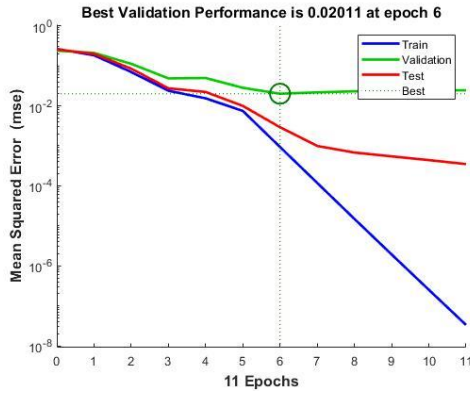
All Confusion Matrix

Output Class	0	360 50.0%	0 0.0%	100% 0.0%
	1	0 0.0%	360 50.0%	100% 0.0%
		100% 0.0%	100% 0.0%	100% 0.0%
		0	1	0
		Target Class		

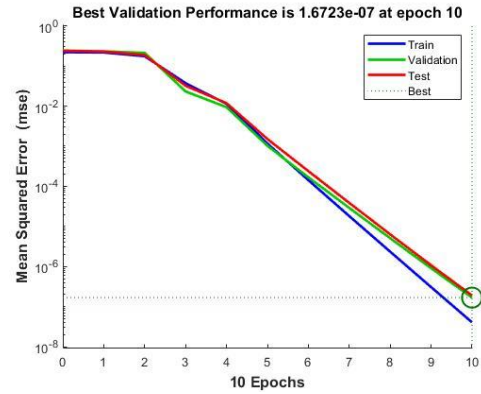
Confusion Matrix HN 10

7. Data Set 7

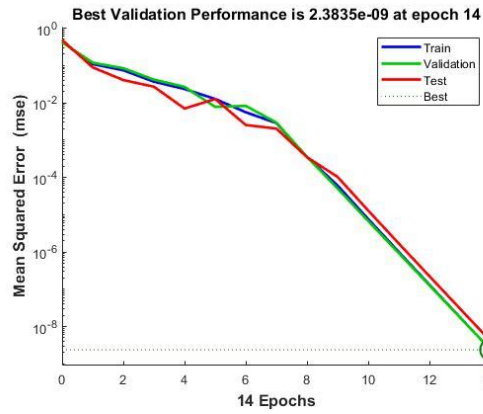
a. LM



Best Performance HN 1



Best Performance HN 5



Best Performance HN 10

Training Confusion Matrix			Validation Confusion Matrix			
Output Class	0	1	Output Class	0	1	
0	259 51.4%	0 0.0%	100% 0.0%	50 46.3%	3 2.8%	94.3% 5.7%
1	0 0.0%	245 48.6%	100% 0.0%	0 0.0%	55 50.9%	100% 0.0%
	100% 0.0%	100% 0.0%	100% 0.0%	100% 0.0%	94.8% 5.2%	97.2% 2.8%
Test Confusion Matrix			All Confusion Matrix			
Output Class	0	1	Output Class	0	1	
0	51 47.2%	0 0.0%	100% 0.0%	360 50.0%	3 0.4%	99.2% 0.8%
1	0 0.0%	57 52.8%	100% 0.0%	0 0.0%	357 49.6%	100% 0.0%
	100% 0.0%	100% 0.0%	100% 0.0%	100% 0.0%	99.2% 0.8%	99.6% 0.4%

Confusion Matrix HN 1

Training Confusion Matrix

Output Class	0	260 51.6%	0 0.0%	100% 0.0%
	1	0 0.0%	244 48.4%	100% 0.0%
		100% 0.0%	100% 0.0%	100% 0.0%
		Target Class		

Validation Confusion Matrix

Output Class	0	48 44.4%	0 0.0%	100% 0.0%
	1	0 0.0%	60 55.6%	100% 0.0%
		100% 0.0%	100% 0.0%	100% 0.0%
		Target Class		

Test Confusion Matrix

Output Class	0	52 48.1%	0 0.0%	100% 0.0%
	1	0 0.0%	56 51.9%	100% 0.0%
		100% 0.0%	100% 0.0%	100% 0.0%
		Target Class		

All Confusion Matrix

Output Class	0	360 50.0%	0 0.0%	100% 0.0%
	1	0 0.0%	360 50.0%	100% 0.0%
		100% 0.0%	100% 0.0%	100% 0.0%
		Target Class		

Confusion Matrix HN 5

Training Confusion Matrix

Output Class	0	248 49.2%	0 0.0%	100% 0.0%
	1	0 0.0%	256 50.8%	100% 0.0%
		100% 0.0%	100% 0.0%	100% 0.0%
		Target Class		

Validation Confusion Matrix

Output Class	0	52 48.1%	0 0.0%	100% 0.0%
	1	0 0.0%	56 51.9%	100% 0.0%
		100% 0.0%	100% 0.0%	100% 0.0%
		Target Class		

Test Confusion Matrix

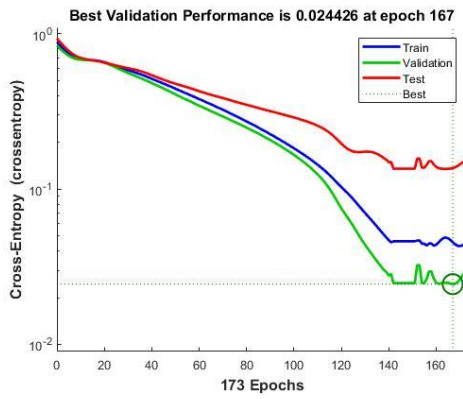
Output Class	0	60 55.6%	0 0.0%	100% 0.0%
	1	0 0.0%	48 44.4%	100% 0.0%
		100% 0.0%	100% 0.0%	100% 0.0%
		Target Class		

All Confusion Matrix

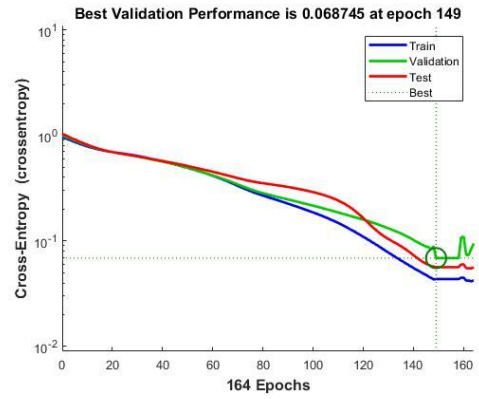
Output Class	0	360 50.0%	0 0.0%	100% 0.0%
	1	0 0.0%	360 50.0%	100% 0.0%
		100% 0.0%	100% 0.0%	100% 0.0%
		Target Class		

Confusion Matrix HN 10

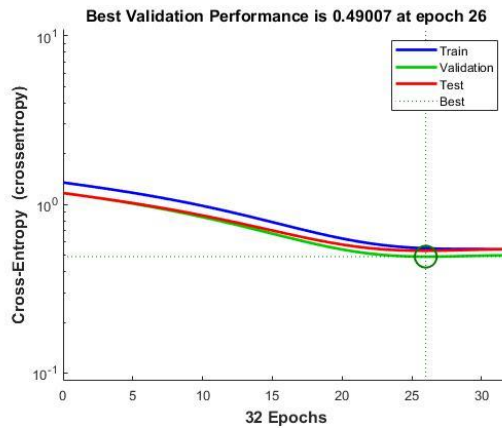
b. GDX



Best Performance HN 1



Best Performance HN 5



Best Performance HN 10

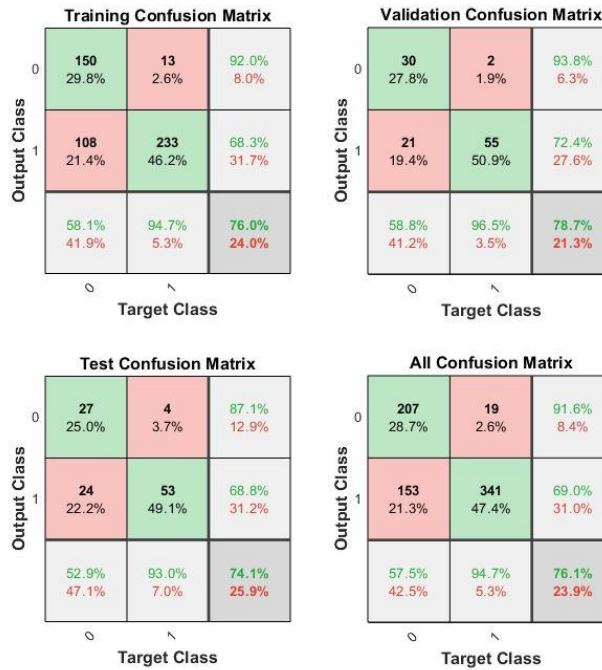
		Training Confusion Matrix			Validation Confusion Matrix		
Output Class	Target Class	0	1		0	1	
		0	245 48.6%	1 0.2%	99.6% 0.4%	58 53.7%	0 0.0%
1	7 1.4%	251 49.8%	97.3% 2.7%	0 0.0%	50 46.3%	100% 0.0%	
		97.2% 2.8%	99.6% 0.4%	98.4% 1.6%	100% 0.0%	100% 0.0%	100% 0.0%

		Test Confusion Matrix			All Confusion Matrix		
Output Class	Target Class	0	1		0	1	
		0	49 45.4%	3 2.8%	94.2% 5.8%	352 48.9%	4 0.6%
1	1 0.9%	55 50.9%	98.2% 1.8%	8 1.1%	356 49.4%	97.8% 2.2%	
		98.0% 2.0%	94.8% 5.2%	96.3% 3.7%	97.8% 2.2%	98.9% 1.1%	98.3% 1.7%

Confusion Matrix HN 1

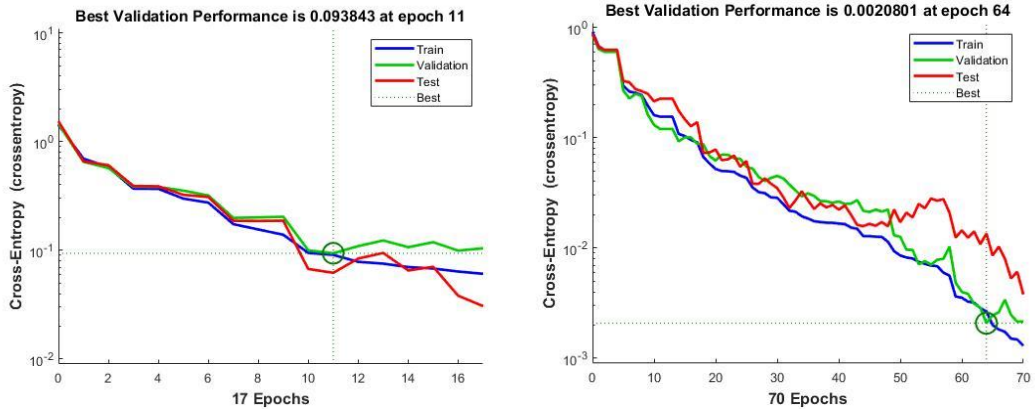


Confusion Matrix HN 5



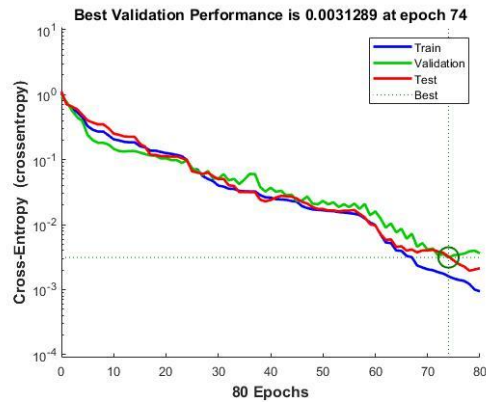
Confusion Matrix HN 10

c. SCG



Best Performance HN 1

Best Performance HN 5



Best Performance HN 10

		Training Confusion Matrix			Validation Confusion Matrix		
Output Class	0	252 50.0%	16 3.2%	94.0%	53 49.1%	1 0.9%	98.1%
	1	3 0.6%	233 46.2%	98.7%	2 1.9%	52 48.1%	96.3%
		98.8% 1.2%	93.6% 6.4%	96.2% 3.8%	96.4% 3.6%	98.1% 1.9%	97.2% 2.8%
		Test Confusion Matrix			All Confusion Matrix		
Output Class	0	47 43.5%	0 0.0%	100%	352 48.9%	17 2.4%	95.4%
	1	3 2.8%	58 53.7%	95.1%	8 1.1%	343 47.6%	97.7%
		94.0% 6.0%	100% 0.0%	97.2% 2.8%	97.8% 2.2%	95.3% 4.7%	96.5% 3.5%
		Target Class			Target Class		

Confusion Matrix HN 1



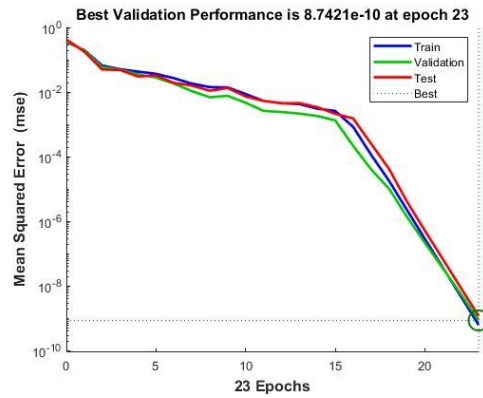
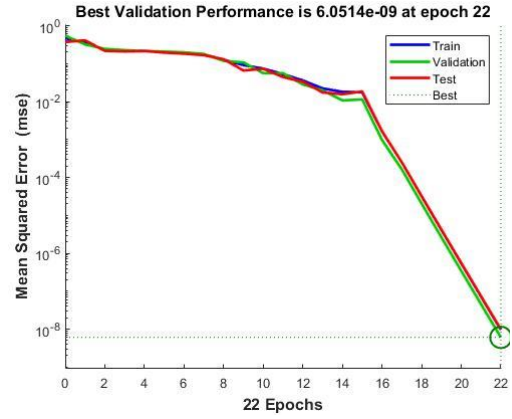
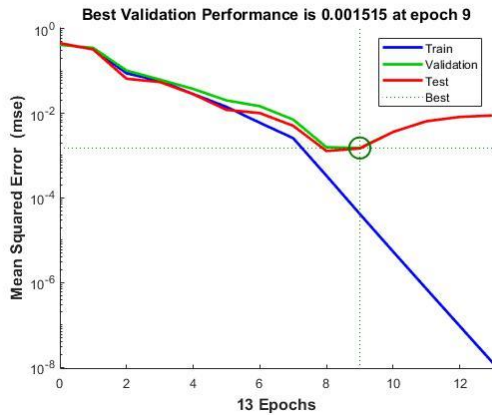
Confusion Matrix HN 5



Confusion Matrix HN 10

8. Data Set 8

a. LM



Training Confusion Matrix

Output Class	0	251 49.8%	0 0.0%	100% 0.0%
	1	0 0.0%	253 50.2%	100% 0.0%
		100% 0.0%	100% 0.0%	100% 0.0%
		Target Class		

Validation Confusion Matrix

Output Class	0	57 52.8%	0 0.0%	100% 0.0%
	1	0 0.0%	51 47.2%	100% 0.0%
		100% 0.0%	100% 0.0%	100% 0.0%
		Target Class		

Test Confusion Matrix

Output Class	0	52 48.1%	0 0.0%	100% 0.0%
	1	0 0.0%	56 51.9%	100% 0.0%
		100% 0.0%	100% 0.0%	100% 0.0%
		Target Class		

All Confusion Matrix

Output Class	0	360 50.0%	0 0.0%	100% 0.0%
	1	0 0.0%	360 50.0%	100% 0.0%
		100% 0.0%	100% 0.0%	100% 0.0%
		Target Class		

Confusion Matrix HN 1

Training Confusion Matrix

Output Class	0	254 50.4%	0 0.0%	100% 0.0%
	1	0 0.0%	250 49.6%	100% 0.0%
		100% 0.0%	100% 0.0%	100% 0.0%
		Target Class		

Validation Confusion Matrix

Output Class	0	63 58.3%	0 0.0%	100% 0.0%
	1	0 0.0%	45 41.7%	100% 0.0%
		100% 0.0%	100% 0.0%	100% 0.0%
		Target Class		

Test Confusion Matrix

Output Class	0	43 39.8%	0 0.0%	100% 0.0%
	1	0 0.0%	65 60.2%	100% 0.0%
		100% 0.0%	100% 0.0%	100% 0.0%
		Target Class		

All Confusion Matrix

Output Class	0	360 50.0%	0 0.0%	100% 0.0%
	1	0 0.0%	360 50.0%	100% 0.0%
		100% 0.0%	100% 0.0%	100% 0.0%
		Target Class		

Confusion Matrix HN 5

Training Confusion Matrix

Output Class	0	244 48.4%	0 0.0%	100% 0.0%
	1	0 0.0%	260 51.6%	100% 0.0%
		100% 0.0%	100% 0.0%	100% 0.0%
		Target Class		

Validation Confusion Matrix

Output Class	0	56 51.9%	0 0.0%	100% 0.0%
	1	0 0.0%	52 48.1%	100% 0.0%
		100% 0.0%	100% 0.0%	100% 0.0%
		Target Class		

Test Confusion Matrix

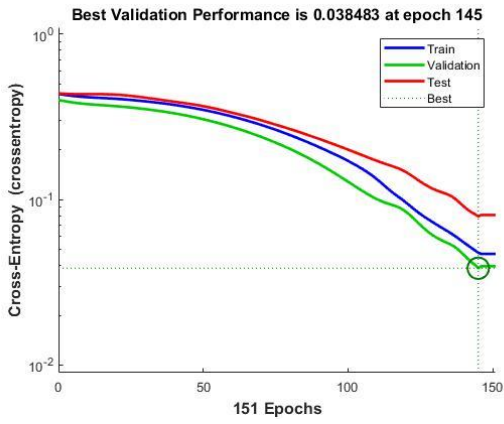
Output Class	0	60 55.6%	0 0.0%	100% 0.0%
	1	0 0.0%	48 44.4%	100% 0.0%
		100% 0.0%	100% 0.0%	100% 0.0%
		Target Class		

All Confusion Matrix

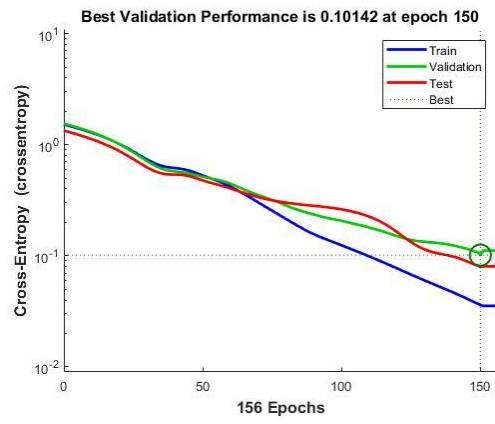
Output Class	0	360 50.0%	0 0.0%	100% 0.0%
	1	0 0.0%	360 50.0%	100% 0.0%
		100% 0.0%	100% 0.0%	100% 0.0%
		Target Class		

Confusion Matrix HN 10

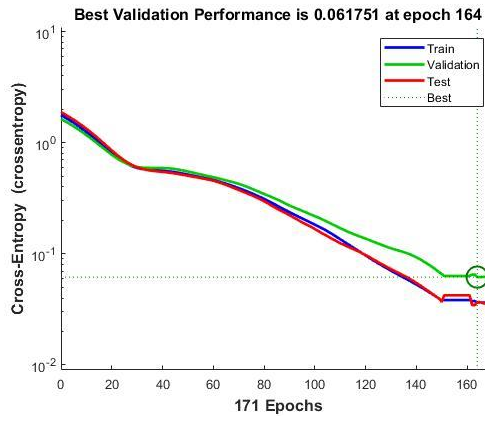
b. GDX



Best Performance HN 1



Best Performance HN 5



Best Performance HN 10

Training Confusion Matrix

	0	1	
0	243 48.2%	3 0.6%	98.8% 1.2%
1	4 0.8%	254 50.4%	98.4% 1.6%
	98.4% 1.6%	98.8% 1.2%	98.6% 1.4%
	0	1	
	0	1	Target Class

Validation Confusion Matrix

	0	1	
0	52 48.1%	0 0.0%	100% 0.0%
1	1 0.9%	55 50.9%	98.2% 1.8%
	98.1% 1.9%	100% 0.0%	99.1% 0.9%
	0	1	
	0	1	Target Class

Test Confusion Matrix

	0	1	
0	57 52.8%	0 0.0%	100% 0.0%
1	3 2.8%	48 44.4%	94.1% 5.9%
	95.0% 5.0%	100% 0.0%	97.2% 2.8%
	0	1	
	0	1	Target Class

All Confusion Matrix

	0	1	
0	352 48.9%	3 0.4%	99.2% 0.8%
1	8 1.1%	357 49.6%	97.8% 2.2%
	97.8% 2.2%	99.2% 0.8%	98.5% 1.5%
	0	1	
	0	1	Target Class

Confusion Matrix HN 1

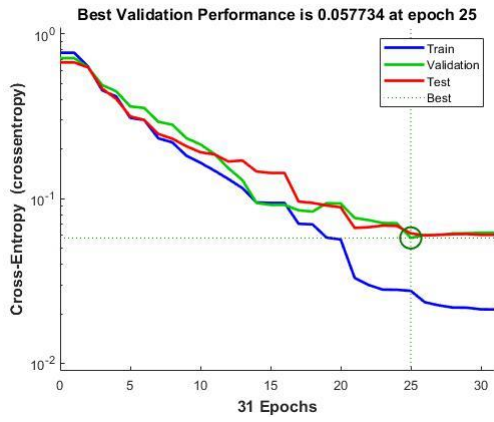


Confusion Matrix HN 5

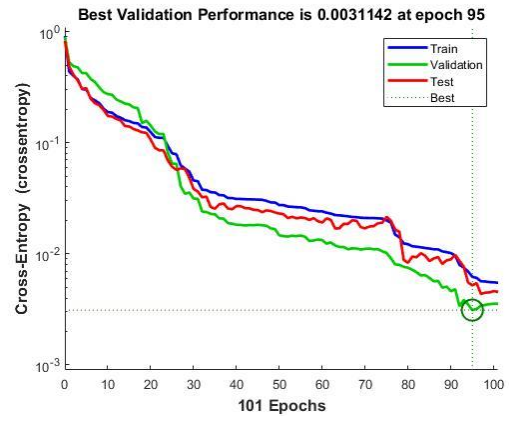


Confusion Matrix HN 10

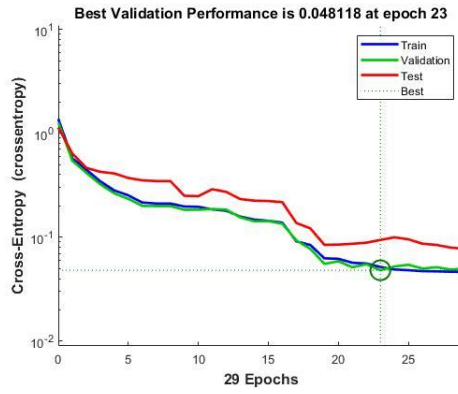
c. SCG



Best Performance HN 1



Best Performance HN 5



Best Performance HN 10

Training Confusion Matrix

Output Class \ Target Class	0	1	
0	259 51.4%	1 0.2%	99.6% 0.4%
1	2 0.4%	242 48.0%	99.2% 0.8%
	99.2% 0.8%	99.6% 0.4%	99.4% 0.6%

Validation Confusion Matrix

Output Class \ Target Class	0	1	
0	50 46.3%	1 0.9%	98.0% 2.0%
1	0 0.0%	57 52.8%	100% 0.0%
	100% 0.0%	98.3% 1.7%	99.1% 0.9%

Test Confusion Matrix

Output Class \ Target Class	0	1	
0	49 45.4%	1 0.9%	98.0% 2.0%
1	0 0.0%	58 53.7%	100% 0.0%
	100% 0.0%	98.3% 1.7%	99.1% 0.9%

All Confusion Matrix

Output Class \ Target Class	0	1	
0	358 49.7%	3 0.4%	99.2% 0.8%
1	2 0.3%	357 49.6%	99.4% 0.6%
	99.4% 0.6%	99.2% 0.8%	99.3% 0.7%

Confusion Matrix HN 1



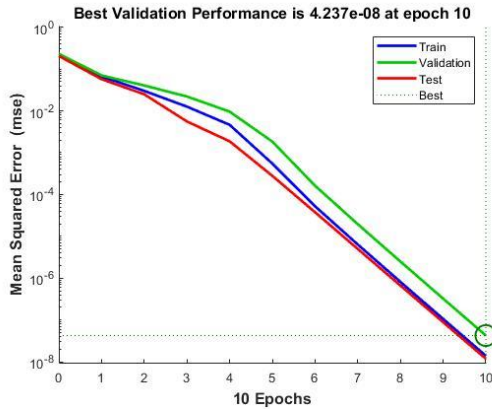
Confusion Matrix HN 5



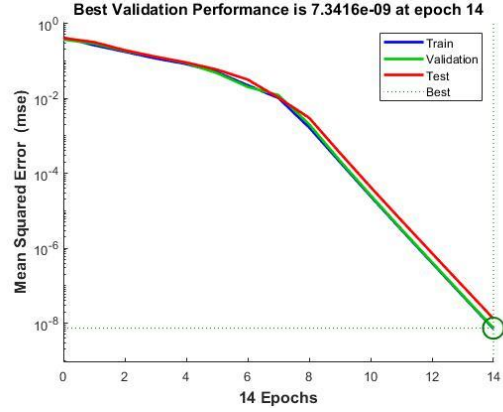
Confusion Matrix HN 10

9. Data Set 9

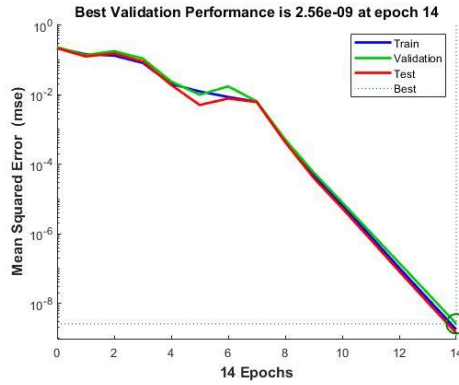
a. LM



Best Performance HN 1



Best Performance HN 5



Best Performance HN 10

Training Confusion Matrix			Validation Confusion Matrix					
Output Class	0	270 53.6%	0 0.0%	100%	0	49 45.4%	0 0.0%	100%
	1	0 0.0%	234 46.4%	100%	0	0 0.0%	59 54.6%	100%
		100%	100%	100%	100%	100%	100%	100%
Test Confusion Matrix <td colspan="3">All Confusion Matrix </td>			All Confusion Matrix					
Output Class	0	41 38.0%	0 0.0%	100%	0	360 50.0%	0 0.0%	100%
	1	0 0.0%	67 62.0%	100%	0	0 0.0%	360 50.0%	100%
		100%	100%	100%	100%	100%	100%	100%

Confusion Matrix HN 1

Training Confusion Matrix

Output Class	0	247 49.0%	0 0.0%	100% 0.0%
	1	0 0.0%	257 51.0%	100% 0.0%
		100% 0.0%	100% 0.0%	100% 0.0%
		Target Class		

Validation Confusion Matrix

Output Class	0	58 53.7%	0 0.0%	100% 0.0%
	1	0 0.0%	50 46.3%	100% 0.0%
		100% 0.0%	100% 0.0%	100% 0.0%
		Target Class		

Test Confusion Matrix

Output Class	0	55 50.9%	0 0.0%	100% 0.0%
	1	0 0.0%	53 49.1%	100% 0.0%
		100% 0.0%	100% 0.0%	100% 0.0%
		Target Class		

All Confusion Matrix

Output Class	0	360 50.0%	0 0.0%	100% 0.0%
	1	0 0.0%	360 50.0%	100% 0.0%
		100% 0.0%	100% 0.0%	100% 0.0%
		Target Class		

Confusion Matrix HN 5

Training Confusion Matrix

Output Class	0	268 53.2%	0 0.0%	100% 0.0%
	1	0 0.0%	236 46.8%	100% 0.0%
		100% 0.0%	100% 0.0%	100% 0.0%
		Target Class		

Validation Confusion Matrix

Output Class	0	37 34.3%	0 0.0%	100% 0.0%
	1	0 0.0%	71 65.7%	100% 0.0%
		100% 0.0%	100% 0.0%	100% 0.0%
		Target Class		

Test Confusion Matrix

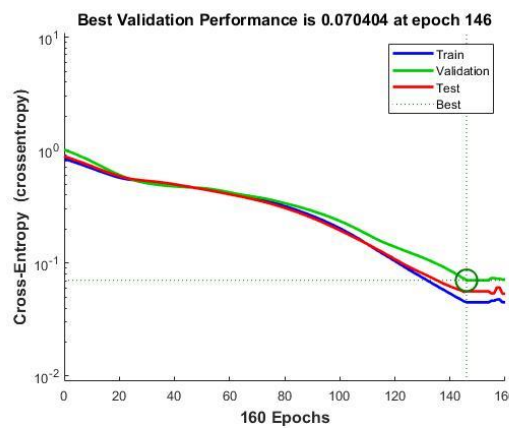
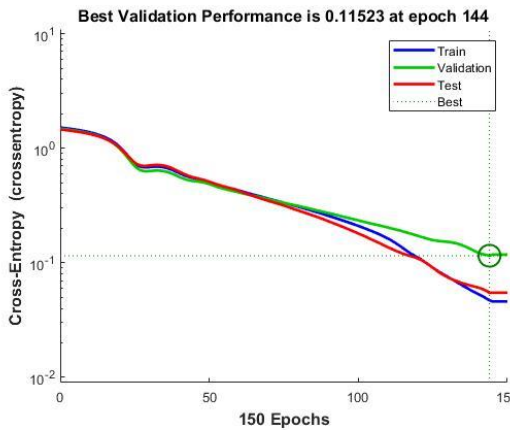
Output Class	0	55 50.9%	0 0.0%	100% 0.0%
	1	0 0.0%	53 49.1%	100% 0.0%
		100% 0.0%	100% 0.0%	100% 0.0%
		Target Class		

All Confusion Matrix

Output Class	0	360 50.0%	0 0.0%	100% 0.0%
	1	0 0.0%	360 50.0%	100% 0.0%
		100% 0.0%	100% 0.0%	100% 0.0%
		Target Class		

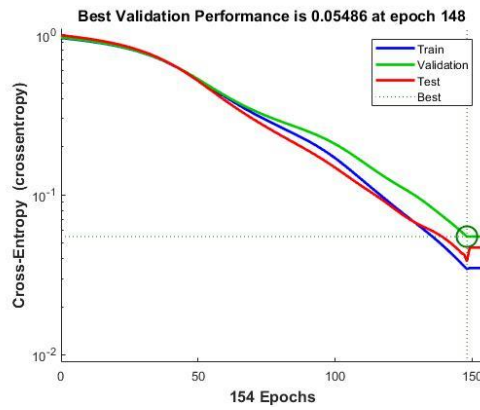
Confusion Matrix HN 10

b. GDX



Best Performance HN 1

Best Performance HN 5



Best Performance HN 10

Training Confusion Matrix

	0	1	
0	244 48.4%	2 0.4%	99.2% 0.8%
1	5 1.0%	253 50.2%	98.1% 1.9%
	98.0% 2.0%	99.2% 0.8%	98.6% 1.4%
	0	1	Target Class

Validation Confusion Matrix

	0	1	
0	50 46.3%	4 3.7%	92.6% 7.4%
1	2 1.9%	52 48.1%	96.3% 3.7%
	96.2% 3.8%	92.9% 7.1%	94.4% 5.6%
	0	1	Target Class

Test Confusion Matrix

	0	1	
0	57 52.8%	1 0.9%	98.3% 1.7%
1	2 1.9%	48 44.4%	96.0% 4.0%
	96.6% 3.4%	98.0% 2.0%	97.2% 2.8%
	0	1	Target Class

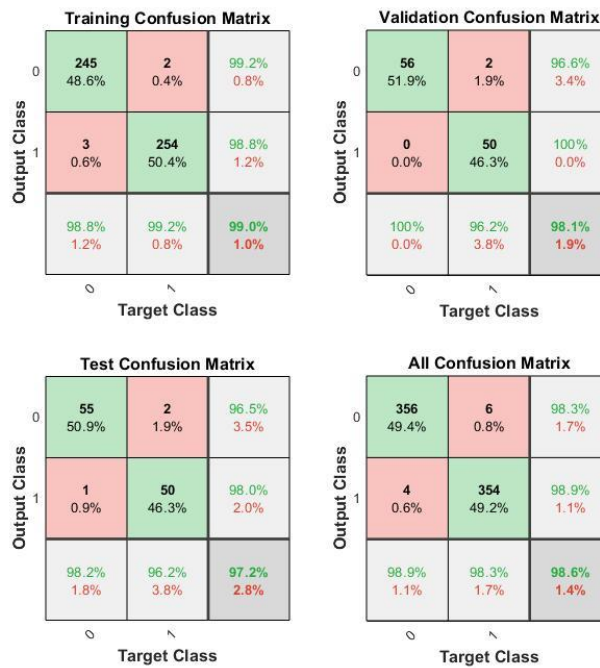
All Confusion Matrix

	0	1	
0	351 48.8%	7 1.0%	98.0% 2.0%
1	9 1.3%	353 49.0%	97.5% 2.5%
	97.5% 2.5%	98.1% 1.9%	97.8% 2.2%
	0	1	Target Class

Confusion Matrix HN 1

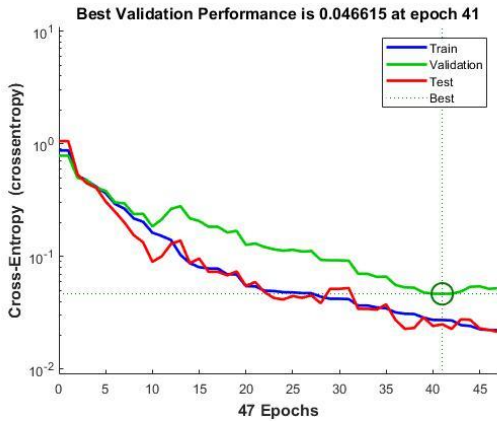


Confusion Matrix HN 5

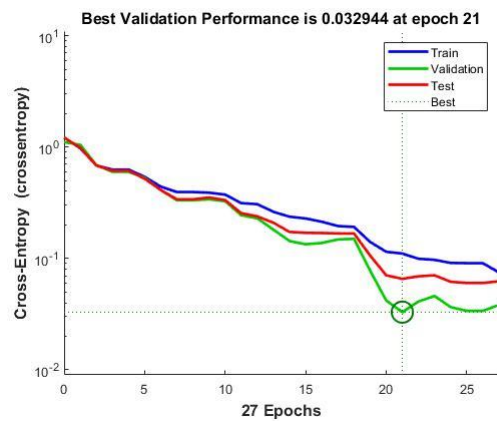


Confusion Matrix HN 10

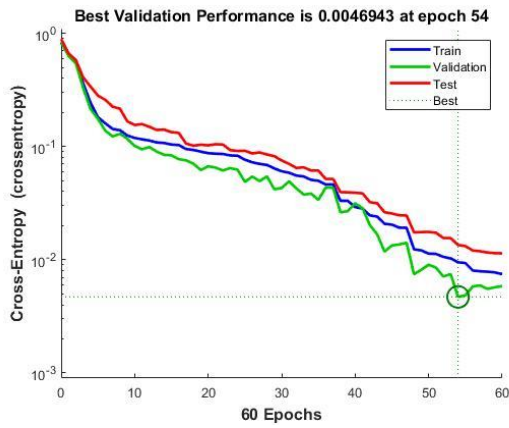
c. SCG



Best Performance HN 1



Best Performance HN 5



Best Performance HN 10

		Training Confusion Matrix			Validation Confusion Matrix		
Output Class	Target Class	0	1	Accuracy	0	1	Accuracy
		0	251 49.8%	5 1.0%	98.0% 2.0%	43 39.8%	1 0.9%
1	0 0.0%	248 49.2%	100% 0.0%	1 0.9%	63 58.3%	98.4% 1.6%	
		100% 0.0%	98.0% 2.0%	99.0% 1.0%	97.7% 2.3%	98.4% 1.6%	98.1% 1.9%

		Test Confusion Matrix			All Confusion Matrix		
Output Class	Target Class	0	1	Accuracy	0	1	Accuracy
		0	65 60.2%	1 0.9%	98.5% 1.5%	359 49.9%	7 1.0%
1	0 0.0%	42 38.9%	100% 0.0%	1 0.1%	353 49.0%	99.7% 0.3%	
		100% 0.0%	97.7% 2.3%	99.1% 0.9%	99.7% 0.3%	98.1% 1.9%	98.9% 1.1%

Confusion Matrix HN 1



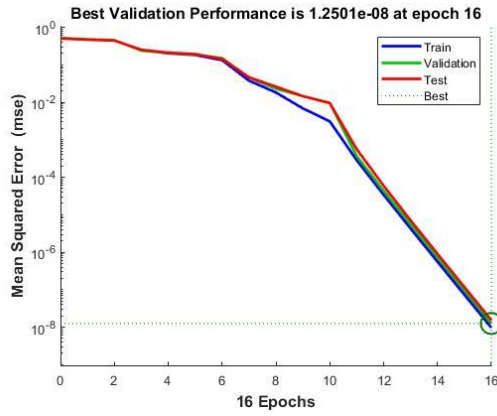
Confusion Matrix HN 5



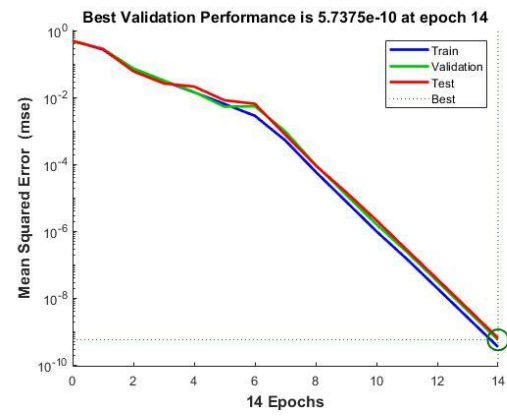
Confusion Matrix HN 10

10. Data Set 10

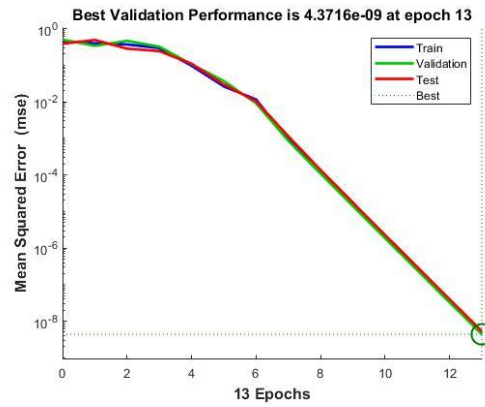
a. LM



Best Performance HN 1



Best Performance HN 5



Best Performance HN 10

		Training Confusion Matrix			Validation Confusion Matrix		
Output Class	0	255 50.6%	0 0.0%	100% 0.0%	52 48.1%	0 0.0%	100% 0.0%
	1	0 0.0%	249 49.4%	100% 0.0%	0 0.0%	56 51.9%	100% 0.0%
		100% 0.0%	100% 0.0%	100% 0.0%	100% 0.0%	100% 0.0%	100% 0.0%
		Target Class			Target Class		

		Test Confusion Matrix			All Confusion Matrix		
Output Class	0	53 49.1%	0 0.0%	100% 0.0%	360 50.0%	0 0.0%	100% 0.0%
	1	0 0.0%	55 50.9%	100% 0.0%	0 0.0%	360 50.0%	100% 0.0%
		100% 0.0%	100% 0.0%	100% 0.0%	100% 0.0%	100% 0.0%	100% 0.0%
		Target Class			Target Class		

Confusion Matrix HN 1

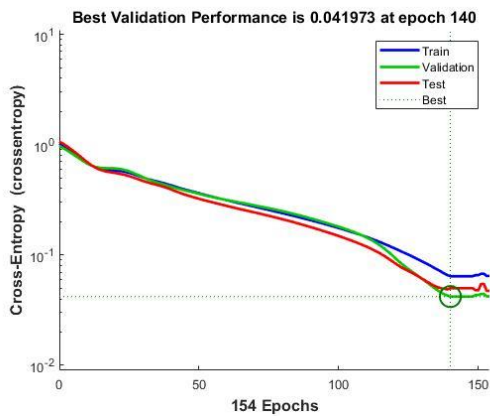


Confusion Matrix HN 5

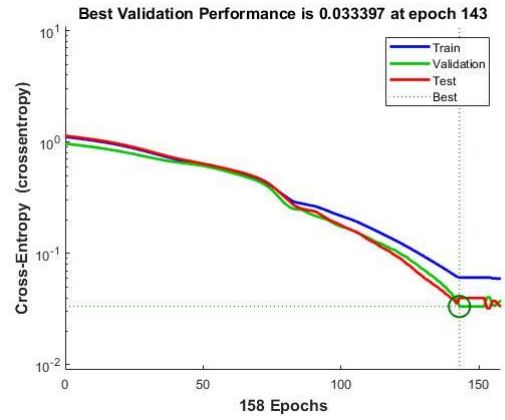


Confusion Matrix HN 10

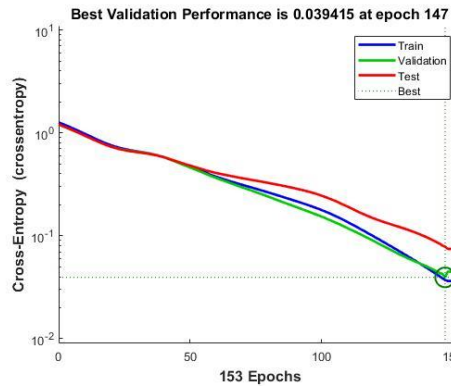
b. GDx



Best Performance HN 1



Best Performance HN 5



Best Performance HN 10

Training Confusion Matrix

	0	1	
0	246 48.8%	3 0.6%	98.8% 1.2%
1	8 1.6%	247 49.0%	96.9% 3.1%
	96.9% 3.1%	98.8% 1.2%	97.8% 2.2%
	0	1	Target Class

Validation Confusion Matrix

	0	1	
0	56 51.9%	0 0.0%	100% 0.0%
1	1 0.9%	51 47.2%	98.1% 1.9%
	98.2% 1.8%	100% 0.0%	99.1% 0.9%
	0	1	Target Class

Test Confusion Matrix

	0	1	
0	47 43.5%	0 0.0%	100% 0.0%
1	2 1.9%	59 54.6%	96.7% 3.3%
	95.9% 4.1%	100% 0.0%	98.1% 1.9%
	0	1	Target Class

All Confusion Matrix

	0	1	
0	349 48.5%	3 0.4%	99.1% 0.9%
1	11 1.5%	357 49.6%	97.0% 3.0%
	96.9% 3.1%	99.2% 0.8%	98.1% 1.9%
	0	1	Target Class

Confusion Matrix HN 1

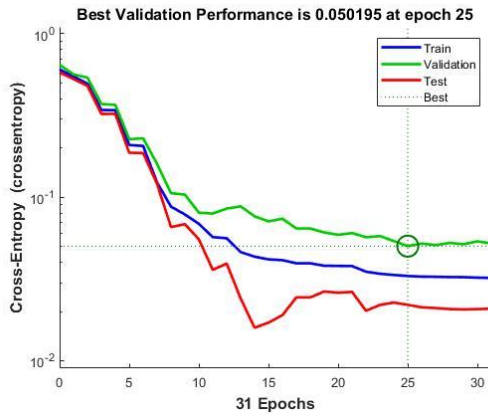


Confusion Matrix HN 5

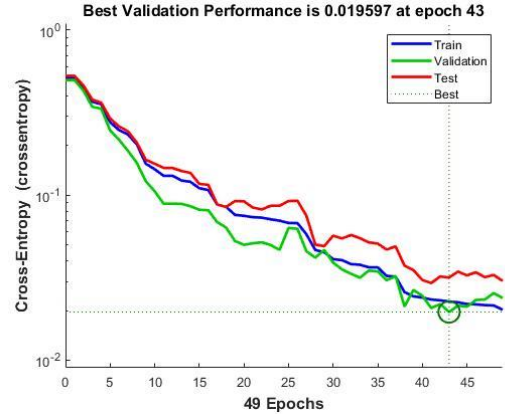


Confusion Matrix HN 10

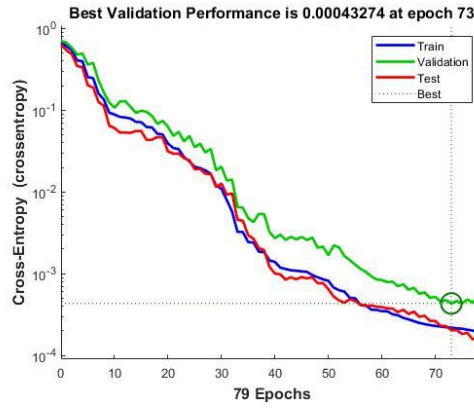
c. SCG



Best Performance HN 1



Best Performance HN 5



Best Performance HN 10

Training Confusion Matrix

Output Class \ Target Class	0	1	
0	252 50.0%	4 0.8%	98.4% 1.6%
1	4 0.8%	244 48.4%	98.4% 1.6%
	98.4% 1.6%	98.4% 1.6%	98.4% 1.6%

Validation Confusion Matrix

Output Class \ Target Class	0	1	
0	54 50.0%	3 2.8%	94.7% 5.3%
1	0 0.0%	51 47.2%	100% 0.0%
	100% 0.0%	94.4% 5.6%	97.2% 2.8%

Test Confusion Matrix

Output Class \ Target Class	0	1	
0	49 45.4%	0 0.0%	100% 0.0%
1	1 0.9%	58 53.7%	98.3% 1.7%
	98.0% 2.0%	100% 0.0%	99.1% 0.9%

All Confusion Matrix

Output Class \ Target Class	0	1	
0	355 49.3%	7 1.0%	98.1% 1.9%
1	5 0.7%	353 49.0%	98.6% 1.4%
	98.6% 1.4%	98.1% 1.9%	98.3% 1.7%

Confusion Matrix HN 1



Confusion Matrix HN 5



Confusion Matrix HN 10

LAMPIRAN AKURASI TESTING

1. Data Set 1

a. Citra Akut

Nama Citra	Kelas Citra		Hasil Testing	
	Kelas	Ket.	Kelas	Ket.
A1	0	Acute	0	Acute
A2	0	Acute	0	Acute
A3	0	Acute	0	Acute
A4	0	Acute	0	Acute
A5	0	Acute	0	Acute
A6	0	Acute	0	Acute
A7	0	Acute	0	Acute
A8	0	Acute	0	Acute
A9	0	Acute	0	Acute
A10	0	Acute	0	Acute
A11	0	Acute	0	Acute
A12	0	Acute	0	Acute
A13	0	Acute	0	Acute
A14	0	Acute	0	Acute
A15	0	Acute	0	Acute
A16	0	Acute	0	Acute
A17	0	Acute	0	Acute
A18	0	Acute	0	Acute
A19	0	Acute	0	Acute

Nama Citra	Kelas Citra		Hasil Testing	
	Kelas	Ket.	Kelas	Ket.
A20	0	Acute	0	Acute
A21	0	Acute	0	Acute
A22	0	Acute	0	Acute
A23	0	Acute	0	Acute
A24	0	Acute	0	Acute
A25	0	Acute	0	Acute
A26	0	Acute	0	Acute
A27	0	Acute	0	Acute
A28	0	Acute	0	Acute
A29	0	Acute	0	Acute
A30	0	Acute	0	Acute
A31	0	Acute	0	Acute
A32	0	Acute	0	Acute
A33	0	Acute	0	Acute
A34	0	Acute	0	Acute
A35	0	Acute	0	Acute
A36	0	Acute	0	Acute
A37	0	Acute	0	Acute
A38	0	Acute	0	Acute
A39	0	Acute	0	Acute
A40	0	Acute	0	Acute

b. Citra Normal

Nama Citra	Kelas Citra		Hasil Testing	
	Kelas	Ket.	Kelas	Ket.
N1	1	Normal	1	Normal
N2	1	Normal	1	Normal
N3	1	Normal	1	Normal
N4	1	Normal	1	Normal
N5	1	Normal	1	Normal
N6	1	Normal	1	Normal
N7	1	Normal	1	Normal
N8	1	Normal	1	Normal
N9	1	Normal	1	Normal
N10	1	Normal	1	Normal
N11	1	Normal	1	Normal
N12	1	Normal	1	Normal
N13	1	Normal	1	Normal
N14	1	Normal	1	Normal
N15	1	Normal	1	Normal
N16	1	Normal	1	Normal
N17	1	Normal	1	Normal
N18	1	Normal	1	Normal
N19	1	Normal	1	Normal
N20	1	Normal	1	Normal
N21	1	Normal	1	Normal
N22	1	Normal	1	Normal

Nama Citra	Kelas Citra		Hasil Testing	
	Kelas	Ket.	Kelas	Ket.
N23	1	Normal	1	Normal
N24	1	Normal	1	Normal
N25	1	Normal	1	Normal
N26	1	Normal	1	Normal
N27	1	Normal	1	Normal
N28	1	Normal	1	Normal
N29	1	Normal	1	Normal
N30	1	Normal	1	Normal
N31	1	Normal	1	Normal
N32	1	Normal	1	Normal
N33	1	Normal	1	Normal
N34	1	Normal	1	Normal
N35	1	Normal	1	Normal
N36	1	Normal	1	Normal
N37	1	Normal	1	Normal
N38	1	Normal	1	Normal
N39	1	Normal	1	Normal
N40	1	Normal	1	Normal

2. Data Set 2

a. Citra Akut

Nama Citra	Kelas Citra		Hasil Testing	
	Kelas	Ket.	Kelas	Ket.
A41	0	Acute	0	Acute
A42	0	Acute	0	Acute
A43	0	Acute	0	Acute
A44	0	Acute	0	Acute
A45	0	Acute	0	Acute
A46	0	Acute	0	Acute
A47	0	Acute	0	Acute
A48	0	Acute	0	Acute
A49	0	Acute	0	Acute
A50	0	Acute	0	Acute
A51	0	Acute	0	Acute
A52	0	Acute	0	Acute
A53	0	Acute	0	Acute
A54	0	Acute	0	Acute
A55	0	Acute	0	Acute
A56	0	Acute	0	Acute
A57	0	Acute	0	Acute
A58	0	Acute	0	Acute
A59	0	Acute	0	Acute
A60	0	Acute	0	Acute
A61	0	Acute	0	Acute

Nama Citra	Kelas Citra		Hasil Testing	
	Kelas	Ket.	Kelas	Ket.
A62	0	Acute	0	Acute
A63	0	Acute	0	Acute
A64	0	Acute	0	Acute
A65	0	Acute	0	Acute
A66	0	Acute	0	Acute
A67	0	Acute	0	Acute
A68	0	Acute	0	Acute
A69	0	Acute	0	Acute
A70	0	Acute	0	Acute
A71	0	Acute	0	Acute
A72	0	Acute	0	Acute
A73	0	Acute	0	Acute
A74	0	Acute	0	Acute
A75	0	Acute	0	Acute
A76	0	Acute	0	Acute
A77	0	Acute	0	Acute
A78	0	Acute	0	Acute
A79	0	Acute	0	Acute
A80	0	Acute	0	Acute

b. Citra Normal

Nama Citra	Kelas Citra		Hasil Testing	
	Kelas	Ket.	Kelas	Ket.
N41	1	Normal	1	Normal
N42	1	Normal	1	Normal
N43	1	Normal	1	Normal
N44	1	Normal	1	Normal
N45	1	Normal	1	Normal
N46	1	Normal	1	Normal
N47	1	Normal	1	Normal
N48	1	Normal	1	Normal
N49	1	Normal	1	Normal
N50	1	Normal	1	Normal
N51	1	Normal	1	Normal
N52	1	Normal	1	Normal
N53	1	Normal	1	Normal
N54	1	Normal	1	Normal
N55	1	Normal	1	Normal
N56	1	Normal	1	Normal
N57	1	Normal	1	Normal
N58	1	Normal	1	Normal
N59	1	Normal	1	Normal
N60	1	Normal	1	Normal
N61	1	Normal	1	Normal
N62	1	Normal	1	Normal

Nama Citra	Kelas Citra		Hasil Testing	
	Kelas	Ket.	Kelas	Ket.
N63	1	Normal	1	Normal
N64	1	Normal	1	Normal
N65	1	Normal	1	Normal
N66	1	Normal	1	Normal
N67	1	Normal	1	Normal
N68	1	Normal	1	Normal
N69	1	Normal	1	Normal
N70	1	Normal	1	Normal
N71	1	Normal	1	Normal
N72	1	Normal	1	Normal
N73	1	Normal	1	Normal
N74	1	Normal	1	Normal
N75	1	Normal	1	Normal
N76	1	Normal	1	Normal
N77	1	Normal	1	Normal
N78	1	Normal	1	Normal
N79	1	Normal	1	Normal
N80	1	Normal	1	Normal

3. Data Set 3

a. Citra Akut

Nama Citra	Kelas Citra		Hasil Testing	
	Kelas	Ket.	Kelas	Ket.
A81	0	Acute	0	Acute
A82	0	Acute	0	Acute
A83	0	Acute	0	Acute
A84	0	Acute	0	Acute
A85	0	Acute	0	Acute
A86	0	Acute	0	Acute
A87	0	Acute	0	Acute
A88	0	Acute	0	Acute
A89	0	Acute	0	Acute
A90	0	Acute	0	Acute
A91	0	Acute	0	Acute
A92	0	Acute	0	Acute
A93	0	Acute	0	Acute
A94	0	Acute	0	Acute
A95	0	Acute	0	Acute
A96	0	Acute	0	Acute
A97	0	Acute	0	Acute
A98	0	Acute	0	Acute
A99	0	Acute	0	Acute
A100	0	Acute	0	Acute
A101	0	Acute	0	Acute

Nama Citra	Kelas Citra		Hasil Testing	
	Kelas	Ket.	Kelas	Ket.
A102	0	Acute	0	Acute
A103	0	Acute	0	Acute
A104	0	Acute	0	Acute
A105	0	Acute	0	Acute
A106	0	Acute	0	Acute
A107	0	Acute	0	Acute
A108	0	Acute	0	Acute
A109	0	Acute	0	Acute
A110	0	Acute	0	Acute
A111	0	Acute	0	Acute
A112	0	Acute	0	Acute
A113	0	Acute	0	Acute
A114	0	Acute	0	Acute
A115	0	Acute	0	Acute
A116	0	Acute	0	Acute
A117	0	Acute	0	Acute
A118	0	Acute	0	Acute
A119	0	Acute	0	Acute
A120	0	Acute	0	Acute

b. Citra Normal

Nama Citra	Kelas Citra		Hasil Testing	
	Kelas	Ket.	Kelas	Ket.
N81	1	Normal	1	Normal
N82	1	Normal	1	Normal
N83	1	Normal	1	Normal
N84	1	Normal	1	Normal
N85	1	Normal	1	Normal
N86	1	Normal	1	Normal
N87	1	Normal	1	Normal
N88	1	Normal	1	Normal
N89	1	Normal	1	Normal
N90	1	Normal	1	Normal
N91	1	Normal	1	Normal
N92	1	Normal	1	Normal
N93	1	Normal	1	Normal
N94	1	Normal	1	Normal
N95	1	Normal	1	Normal
N96	1	Normal	1	Normal
N97	1	Normal	1	Normal
N98	1	Normal	1	Normal
N99	1	Normal	1	Normal
N100	1	Normal	1	Normal
N101	1	Normal	1	Normal
N102	1	Normal	1	Normal

Nama Citra	Kelas Citra		Hasil Testing	
	Kelas	Ket.	Kelas	Ket.
N103	1	Normal	1	Normal
N104	1	Normal	1	Normal
N105	1	Normal	1	Normal
N106	1	Normal	1	Normal
N107	1	Normal	1	Normal
N108	1	Normal	1	Normal
N109	1	Normal	1	Normal
N110	1	Normal	1	Normal
N111	1	Normal	1	Normal
N112	1	Normal	1	Normal
N113	1	Normal	1	Normal
N114	1	Normal	1	Normal
N115	1	Normal	1	Normal
N116	1	Normal	1	Normal
N117	1	Normal	1	Normal
N118	1	Normal	1	Normal
N119	1	Normal	1	Normal
N120	1	Normal	1	Normal

4. Data Set 4

a. Citra Akut

Nama Citra	Kelas Citra		Hasil Testing	
	Kelas	Ket.	Kelas	Ket.
A121	0	Acute	0	Acute
A122	0	Acute	0	Acute
A123	0	Acute	0	Acute
A124	0	Acute	0	Acute
A125	0	Acute	0	Acute
A126	0	Acute	0	Acute
A127	0	Acute	0	Acute
A128	0	Acute	0	Acute
A129	0	Acute	0	Acute
A130	0	Acute	0	Acute
A131	0	Acute	0	Acute
A132	0	Acute	0	Acute
A133	0	Acute	0	Acute
A134	0	Acute	0	Acute
A135	0	Acute	0	Acute
A136	0	Acute	0	Acute
A137	0	Acute	0	Acute
A138	0	Acute	0	Acute
A139	0	Acute	0	Acute
A140	0	Acute	0	Acute
A141	0	Acute	0	Acute

Nama Citra	Kelas Citra		Hasil Testing	
	Kelas	Ket.	Kelas	Ket.
A142	0	Acute	0	Acute
A143	0	Acute	0	Acute
A144	0	Acute	0	Acute
A145	0	Acute	0	Acute
A146	0	Acute	0	Acute
A147	0	Acute	0	Acute
A148	0	Acute	0	Acute
A149	0	Acute	0	Acute
A150	0	Acute	0	Acute
A151	0	Acute	0	Acute
A152	0	Acute	0	Acute
A153	0	Acute	0	Acute
A154	0	Acute	0	Acute
A155	0	Acute	0	Acute
A156	0	Acute	0	Acute
A157	0	Acute	0	Acute
A158	0	Acute	0	Acute
A159	0	Acute	0	Acute
A160	0	Acute	0	Acute

b. Citra Normal

Nama Citra	Kelas Citra		Hasil Testing	
	Kelas	Ket.	Kelas	Ket.
N121	1	Normal	1	Normal
N122	1	Normal	1	Normal
N123	1	Normal	1	Normal
N124	1	Normal	1	Normal
N125	1	Normal	1	Normal
N126	1	Normal	1	Normal
N127	1	Normal	1	Normal
N128	1	Normal	1	Normal
N129	1	Normal	1	Normal
N130	1	Normal	1	Normal
N131	1	Normal	1	Normal
N132	1	Normal	1	Normal
N133	1	Normal	1	Normal
N134	1	Normal	1	Normal
N135	1	Normal	1	Normal
N136	1	Normal	1	Normal
N137	1	Normal	1	Normal
N138	1	Normal	1	Normal
N139	1	Normal	1	Normal
N140	1	Normal	1	Normal
N141	1	Normal	1	Normal
N142	1	Normal	1	Normal

Nama Citra	Kelas Citra		Hasil Testing	
	Kelas	Ket.	Kelas	Ket.
N143	1	Normal	1	Normal
N144	1	Normal	1	Normal
N145	1	Normal	1	Normal
N146	1	Normal	1	Normal
N147	1	Normal	1	Normal
N148	1	Normal	1	Normal
N149	1	Normal	1	Normal
N150	1	Normal	1	Normal
N151	1	Normal	1	Normal
N152	1	Normal	1	Normal
N153	1	Normal	1	Normal
N154	1	Normal	1	Normal
N155	1	Normal	1	Normal
N156	1	Normal	1	Normal
N157	1	Normal	1	Normal
N158	1	Normal	1	Normal
N159	1	Normal	1	Normal
N160	1	Normal	1	Normal

5. Data Set 5

a. Citra Akut

Nama Citra	Kelas Citra		Hasil Testing	
	Kelas	Ket.	Kelas	Ket.
A161	0	Acute	0	Acute
A162	0	Acute	0	Acute
A163	0	Acute	0	Acute
A164	0	Acute	0	Acute
A165	0	Acute	0	Acute
A166	0	Acute	0	Acute
A167	0	Acute	0	Acute
A168	0	Acute	0	Acute
A169	0	Acute	0	Acute
A170	0	Acute	0	Acute
A171	0	Acute	0	Acute
A172	0	Acute	0	Acute
A173	0	Acute	0	Acute
A174	0	Acute	0	Acute
A175	0	Acute	0	Acute
A176	0	Acute	0	Acute
A177	0	Acute	0	Acute
A178	0	Acute	0	Acute
A179	0	Acute	0	Acute
A180	0	Acute	0	Acute
A181	0	Acute	0	Acute

Nama Citra	Kelas Citra		Hasil Testing	
	Kelas	Ket.	Kelas	Ket.
A182	0	Acute	0	Acute
A183	0	Acute	0	Acute
A184	0	Acute	0	Acute
A185	0	Acute	0	Acute
A186	0	Acute	0	Acute
A187	0	Acute	0	Acute
A188	0	Acute	0	Acute
A189	0	Acute	0	Acute
A190	0	Acute	0	Acute
A191	0	Acute	0	Acute
A192	0	Acute	0	Acute
A193	0	Acute	0	Acute
A194	0	Acute	0	Acute
A195	0	Acute	0	Acute
A196	0	Acute	0	Acute
A197	0	Acute	0	Acute
A198	0	Acute	0	Acute
A199	0	Acute	0	Acute
A200	0	Acute	0	Acute

b. Citra Normal

Nama Citra	Kelas Citra		Hasil Testing	
	Kelas	Ket.	Kelas	Ket.
N161	1	Normal	1	Normal
N162	1	Normal	1	Normal
N163	1	Normal	1	Normal
N164	1	Normal	1	Normal
N165	1	Normal	1	Normal
N166	1	Normal	1	Normal
N167	1	Normal	1	Normal
N168	1	Normal	1	Normal
N169	1	Normal	1	Normal
N170	1	Normal	1	Normal
N171	1	Normal	1	Normal
N172	1	Normal	1	Normal
N173	1	Normal	1	Normal
N174	1	Normal	1	Normal
N175	1	Normal	1	Normal
N176	1	Normal	1	Normal
N177	1	Normal	1	Normal
N178	1	Normal	1	Normal
N179	1	Normal	1	Normal
N180	1	Normal	1	Normal
N181	1	Normal	1	Normal
N182	1	Normal	1	Normal

Nama Citra	Kelas Citra		Hasil Testing	
	Kelas	Ket.	Kelas	Ket.
N183	1	Normal	1	Normal
N184	1	Normal	1	Normal
N185	1	Normal	1	Normal
N186	1	Normal	1	Normal
N187	1	Normal	1	Normal
N188	1	Normal	1	Normal
N189	1	Normal	1	Normal
N190	1	Normal	1	Normal
N191	1	Normal	1	Normal
N192	1	Normal	1	Normal
N193	1	Normal	1	Normal
N194	1	Normal	1	Normal
N195	1	Normal	1	Normal
N196	1	Normal	1	Normal
N197	1	Normal	1	Normal
N198	1	Normal	1	Normal
N199	1	Normal	1	Normal
N200	1	Normal	1	Normal

6. Data Set 6

a. Citra Akut

Nama Citra	Kelas Citra		Hasil Testing	
	Kelas	Ket.	Kelas	Ket.
A201	0	Acute	0	Acute
A202	0	Acute	0	Acute
A203	0	Acute	0	Acute
A204	0	Acute	0	Acute
A205	0	Acute	0	Acute
A206	0	Acute	0	Acute
A207	0	Acute	0	Acute
A208	0	Acute	0	Acute
A209	0	Acute	0	Acute
A210	0	Acute	0	Acute
A211	0	Acute	0	Acute
A212	0	Acute	0	Acute
A213	0	Acute	0	Acute
A214	0	Acute	0	Acute
A215	0	Acute	0	Acute
A216	0	Acute	0	Acute
A217	0	Acute	0	Acute
A218	0	Acute	0	Acute
A219	0	Acute	0	Acute
A220	0	Acute	0	Acute
A221	0	Acute	0	Acute

Nama Citra	Kelas Citra		Hasil Testing	
	Kelas	Ket.	Kelas	Ket.
A222	0	Acute	0	Acute
A223	0	Acute	0	Acute
A224	0	Acute	0	Acute
A225	0	Acute	0	Acute
A226	0	Acute	0	Acute
A227	0	Acute	0	Acute
A228	0	Acute	0	Acute
A229	0	Acute	0	Acute
A230	0	Acute	0	Acute
A231	0	Acute	0	Acute
A232	0	Acute	0	Acute
A233	0	Acute	0	Acute
A234	0	Acute	0	Acute
A235	0	Acute	0	Acute
A236	0	Acute	0	Acute
A237	0	Acute	0	Acute
A238	0	Acute	0	Acute
A239	0	Acute	0	Acute
A240	0	Acute	0	Acute

b. Citra Normal

Nama Citra	Kelas Citra		Hasil Testing	
	Kelas	Ket.	Kelas	Ket.
N201	1	Normal	1	Normal
N202	1	Normal	1	Normal
N203	1	Normal	1	Normal
N204	1	Normal	1	Normal
N205	1	Normal	1	Normal
N206	1	Normal	1	Normal
N207	1	Normal	1	Normal
N208	1	Normal	1	Normal
N209	1	Normal	1	Normal
N210	1	Normal	1	Normal
N211	1	Normal	1	Normal
N212	1	Normal	1	Normal
N213	1	Normal	1	Normal
N214	1	Normal	1	Normal
N215	1	Normal	1	Normal
N216	1	Normal	1	Normal
N217	1	Normal	1	Normal
N218	1	Normal	1	Normal
N219	1	Normal	1	Normal
N220	1	Normal	1	Normal

Nama Citra	Kelas Citra		Hasil Testing	
	Kelas	Ket.	Kelas	Ket.
N221	1	Normal	1	Normal
N222	1	Normal	1	Normal
N223	1	Normal	1	Normal
N224	1	Normal	1	Normal
N225	1	Normal	1	Normal
N226	1	Normal	1	Normal
N227	1	Normal	1	Normal
N228	1	Normal	1	Normal
N229	1	Normal	1	Normal
N230	1	Normal	1	Normal
N231	1	Normal	1	Normal
N232	1	Normal	1	Normal
N233	1	Normal	1	Normal
N234	1	Normal	1	Normal
N235	1	Normal	1	Normal
N236	1	Normal	1	Normal
N237	1	Normal	1	Normal
N238	1	Normal	1	Normal
N239	1	Normal	1	Normal
N240	1	Normal	1	Normal

7. Data Set 7

a. Citra Akut

Nama Citra	Kelas Citra		Hasil Testing	
	Kelas	Ket.	Kelas	Ket.
A241	0	Acute	0	Acute
A242	0	Acute	0	Acute
A243	0	Acute	0	Acute
A244	0	Acute	0	Acute
A245	0	Acute	0	Acute
A246	0	Acute	0	Acute
A247	0	Acute	0	Acute
A248	0	Acute	0	Acute
A249	0	Acute	0	Acute
A250	0	Acute	0	Acute
A251	0	Acute	0	Acute
A252	0	Acute	0	Acute
A253	0	Acute	0	Acute
A254	0	Acute	0	Acute
A255	0	Acute	0	Acute
A256	0	Acute	0	Acute
A257	0	Acute	0	Acute
A258	0	Acute	0	Acute
A259	0	Acute	0	Acute
A260	0	Acute	0	Acute
A261	0	Acute	0	Acute

Nama Citra	Kelas Citra		Hasil Testing	
	Kelas	Ket.	Kelas	Ket.
A262	0	Acute	0	Acute
A263	0	Acute	0	Acute
A264	0	Acute	0	Acute
A265	0	Acute	0	Acute
A266	0	Acute	0	Acute
A267	0	Acute	0	Acute
A268	0	Acute	0	Acute
A269	0	Acute	0	Acute
A270	0	Acute	0	Acute
A271	0	Acute	0	Acute
A272	0	Acute	0	Acute
A273	0	Acute	0	Acute
A274	0	Acute	0	Acute
A275	0	Acute	0	Acute
A276	0	Acute	0	Acute
A277	0	Acute	0	Acute
A278	0	Acute	0	Acute
A279	0	Acute	0	Acute
A280	0	Acute	0	Acute

b. Citra Normal

Nama Citra	Kelas Citra		Hasil Testing	
	Kelas	Ket.	Kelas	Ket.
N241	1	Normal	1	Normal
N242	1	Normal	1	Normal
N243	1	Normal	1	Normal
N244	1	Normal	1	Normal
N245	1	Normal	1	Normal
N246	1	Normal	1	Normal
N247	1	Normal	1	Normal
N248	1	Normal	1	Normal
N249	1	Normal	1	Normal
N250	1	Normal	1	Normal
N251	1	Normal	1	Normal
N252	1	Normal	1	Normal
N253	1	Normal	1	Normal
N254	1	Normal	1	Normal
N255	1	Normal	1	Normal
N256	1	Normal	1	Normal
N257	1	Normal	1	Normal
N258	1	Normal	1	Normal
N259	1	Normal	1	Normal
N260	1	Normal	1	Normal
N261	1	Normal	1	Normal
N262	1	Normal	1	Normal

Nama Citra	Kelas Citra		Hasil Testing	
	Kelas	Ket.	Kelas	Ket.
N263	1	Normal	1	Normal
N264	1	Normal	1	Normal
N265	1	Normal	1	Normal
N266	1	Normal	1	Normal
N267	1	Normal	1	Normal
N268	1	Normal	1	Normal
N269	1	Normal	1	Normal
N270	1	Normal	1	Normal
N271	1	Normal	1	Normal
N272	1	Normal	1	Normal
N273	1	Normal	1	Normal
N274	1	Normal	1	Normal
N275	1	Normal	1	Normal
N276	1	Normal	1	Normal
N277	1	Normal	1	Normal
N278	1	Normal	1	Normal
N279	1	Normal	1	Normal
N280	1	Normal	1	Normal

8. Data Set 8

a. Citra Akut

Nama Citra	Kelas Citra		Hasil Testing	
	Kelas	Ket.	Kelas	Ket.
A281	0	Acute	0	Acute
A282	0	Acute	0	Acute
A283	0	Acute	0	Acute
A284	0	Acute	0	Acute
A285	0	Acute	0	Acute
A286	0	Acute	0	Acute
A287	0	Acute	0	Acute
A288	0	Acute	0	Acute
A289	0	Acute	0	Acute
A290	0	Acute	0	Acute
A291	0	Acute	0	Acute
A292	0	Acute	0	Acute
A293	0	Acute	0	Acute
A294	0	Acute	0	Acute
A295	0	Acute	0	Acute
A296	0	Acute	0	Acute
A297	0	Acute	0	Acute
A298	0	Acute	0	Acute
A299	0	Acute	0	Acute
A300	0	Acute	0	Acute
A301	0	Acute	0	Acute

Nama Citra	Kelas Citra		Hasil Testing	
	Kelas	Ket.	Kelas	Ket.
A302	0	Acute	0	Acute
A303	0	Acute	0	Acute
A304	0	Acute	0	Acute
A305	0	Acute	0	Acute
A306	0	Acute	0	Acute
A307	0	Acute	0	Acute
A308	0	Acute	0	Acute
A309	0	Acute	0	Acute
A310	0	Acute	0	Acute
A311	0	Acute	0	Acute
A312	0	Acute	0	Acute
A313	0	Acute	0	Acute
A314	0	Acute	0	Acute
A315	0	Acute	0	Acute
A316	0	Acute	0	Acute
A317	0	Acute	0	Acute
A318	0	Acute	0	Acute
A319	0	Acute	0	Acute
A320	0	Acute	0	Acute

b. Citra Normal

Nama Citra	Kelas Citra		Hasil Testing	
	Kelas	Ket.	Kelas	Ket.
N281	1	Normal	1	Normal
N282	1	Normal	1	Normal
N283	1	Normal	1	Normal
N284	1	Normal	1	Normal
N285	1	Normal	1	Normal
N286	1	Normal	1	Normal
N287	1	Normal	1	Normal
N288	1	Normal	1	Normal
N289	1	Normal	1	Normal
N290	1	Normal	1	Normal
N291	1	Normal	1	Normal
N292	1	Normal	1	Normal
N293	1	Normal	1	Normal
N294	1	Normal	1	Normal
N295	1	Normal	1	Normal
N296	1	Normal	1	Normal
N297	1	Normal	1	Normal
N298	1	Normal	1	Normal
N299	1	Normal	1	Normal
N300	1	Normal	1	Normal
N301	1	Normal	1	Normal
N302	1	Normal	1	Normal

Nama Citra	Kelas Citra		Hasil Testing	
	Kelas	Ket.	Kelas	Ket.
N303	1	Normal	1	Normal
N304	1	Normal	1	Normal
N305	1	Normal	1	Normal
N306	1	Normal	1	Normal
N307	1	Normal	1	Normal
N308	1	Normal	1	Normal
N309	1	Normal	1	Normal
N310	1	Normal	1	Normal
N311	1	Normal	1	Normal
N312	1	Normal	1	Normal
N313	1	Normal	1	Normal
N314	1	Normal	1	Normal
N315	1	Normal	1	Normal
N316	1	Normal	1	Normal
N317	1	Normal	1	Normal
N318	1	Normal	1	Normal
N319	1	Normal	1	Normal
N320	1	Normal	1	Normal

9. Data Set 9

a. Citra Akut

Nama Citra	Kelas Citra		Hasil Testing	
	Kelas	Ket.	Kelas	Ket.
A321	0	Acute	0	Acute
A322	0	Acute	0	Acute
A323	0	Acute	0	Acute
A324	0	Acute	0	Acute
A325	0	Acute	0	Acute
A326	0	Acute	0	Acute
A327	0	Acute	0	Acute
A328	0	Acute	0	Acute
A329	0	Acute	0	Acute
A330	0	Acute	0	Acute
A331	0	Acute	0	Acute
A332	0	Acute	0	Acute
A333	0	Acute	0	Acute
A334	0	Acute	0	Acute
A335	0	Acute	0	Acute
A336	0	Acute	0	Acute
A337	0	Acute	0	Acute
A338	0	Acute	0	Acute
A339	0	Acute	0	Acute
A340	0	Acute	0	Acute
A341	0	Acute	0	Acute

Nama Citra	Kelas Citra		Hasil Testing	
	Kelas	Ket.	Kelas	Ket.
A342	0	Acute	0	Acute
A343	0	Acute	0	Acute
A344	0	Acute	0	Acute
A345	0	Acute	0	Acute
A346	0	Acute	0	Acute
A347	0	Acute	0	Acute
A348	0	Acute	0	Acute
A349	0	Acute	0	Acute
A350	0	Acute	0	Acute
A351	0	Acute	0	Acute
A352	0	Acute	0	Acute
A353	0	Acute	0	Acute
A354	0	Acute	0	Acute
A355	0	Acute	0	Acute
A356	0	Acute	0	Acute
A357	0	Acute	0	Acute
A358	0	Acute	0	Acute
A359	0	Acute	0	Acute
A360	0	Acute	0	Acute

b. Citra Normal

Nama Citra	Kelas Citra		Hasil Testing	
	Kelas	Ket.	Kelas	Ket.
N321	1	Normal	1	Normal
N322	1	Normal	1	Normal
N323	1	Normal	1	Normal
N324	1	Normal	1	Normal
N325	1	Normal	1	Normal
N326	1	Normal	1	Normal
N327	1	Normal	1	Normal
N328	1	Normal	1	Normal
N329	1	Normal	1	Normal
N330	1	Normal	1	Normal
N331	1	Normal	1	Normal
N332	1	Normal	1	Normal
N333	1	Normal	1	Normal
N334	1	Normal	1	Normal
N335	1	Normal	1	Normal
N336	1	Normal	1	Normal
N337	1	Normal	1	Normal
N338	1	Normal	1	Normal
N339	1	Normal	1	Normal
N340	1	Normal	1	Normal

Nama Citra	Kelas Citra		Hasil Testing	
	Kelas	Ket.	Kelas	Ket.
N341	1	Normal	1	Normal
N342	1	Normal	1	Normal
N343	1	Normal	1	Normal
N344	1	Normal	1	Normal
N345	1	Normal	1	Normal
N346	1	Normal	1	Normal
N347	1	Normal	1	Normal
N348	1	Normal	1	Normal
N349	1	Normal	1	Normal
N350	1	Normal	1	Normal
N351	1	Normal	1	Normal
N352	1	Normal	1	Normal
N353	1	Normal	1	Normal
N354	1	Normal	1	Normal
N355	1	Normal	1	Normal
N356	1	Normal	1	Normal
N357	1	Normal	1	Normal
N358	1	Normal	1	Normal
N359	1	Normal	1	Normal
N360	1	Normal	1	Normal

10. Data Set 10

a. Citra Akut

Nama Citra	Kelas Citra		Hasil Testing	
	Kelas	Ket.	Kelas	Ket.
A361	0	Acute	0	Acute
A362	0	Acute	0	Acute
A363	0	Acute	0	Acute
A364	0	Acute	0	Acute
A365	0	Acute	0	Acute
A366	0	Acute	0	Acute
A367	0	Acute	0	Acute
A368	0	Acute	0	Acute
A369	0	Acute	0	Acute
A370	0	Acute	0	Acute
A371	0	Acute	0	Acute
A372	0	Acute	0	Acute
A373	0	Acute	0	Acute
A374	0	Acute	0	Acute
A375	0	Acute	0	Acute
A376	0	Acute	0	Acute
A377	0	Acute	0	Acute
A378	0	Acute	0	Acute
A379	0	Acute	0	Acute
A380	0	Acute	0	Acute
A381	0	Acute	0	Acute

Nama Citra	Kelas Citra		Hasil Testing	
	Kelas	Ket.	Kelas	Ket.
A382	0	Acute	0	Acute
A383	0	Acute	0	Acute
A384	0	Acute	0	Acute
A385	0	Acute	0	Acute
A386	0	Acute	0	Acute
A387	0	Acute	0	Acute
A388	0	Acute	0	Acute
A389	0	Acute	0	Acute
A390	0	Acute	0	Acute
A391	0	Acute	0	Acute
A392	0	Acute	0	Acute
A393	0	Acute	0	Acute
A394	0	Acute	0	Acute
A395	0	Acute	0	Acute
A396	0	Acute	0	Acute
A397	0	Acute	0	Acute
A398	0	Acute	0	Acute
A399	0	Acute	0	Acute
A400	0	Acute	0	Acute

b. Citra Normal

Nama Citra	Kelas Citra		Hasil Testing	
	Kelas	Ket.	Kelas	Ket.
N361	1	Normal	1	Normal
N362	1	Normal	1	Normal
N363	1	Normal	1	Normal
N364	1	Normal	1	Normal
N365	1	Normal	1	Normal
N366	1	Normal	1	Normal
N367	1	Normal	1	Normal
N368	1	Normal	1	Normal
N369	1	Normal	1	Normal
N370	1	Normal	1	Normal
N371	1	Normal	1	Normal
N372	1	Normal	1	Normal
N373	1	Normal	1	Normal
N374	1	Normal	1	Normal
N375	1	Normal	1	Normal
N376	1	Normal	1	Normal
N377	1	Normal	1	Normal
N378	1	Normal	1	Normal
N379	1	Normal	1	Normal
N380	1	Normal	1	Normal
N381	1	Normal	1	Normal
N382	1	Normal	1	Normal

Nama Citra	Kelas Citra		Hasil Testing	
	Kelas	Ket.	Kelas	Ket.
N383	1	Normal	1	Normal
N384	1	Normal	1	Normal
N385	1	Normal	1	Normal
N386	1	Normal	1	Normal
N387	1	Normal	1	Normal
N388	1	Normal	1	Normal
N389	1	Normal	1	Normal
N390	1	Normal	1	Normal
N391	1	Normal	1	Normal
N392	1	Normal	1	Normal
N393	1	Normal	1	Normal
N394	1	Normal	1	Normal
N395	1	Normal	1	Normal
N396	1	Normal	1	Normal
N397	1	Normal	1	Normal
N398	1	Normal	1	Normal
N399	1	Normal	1	Normal
N400	1	Normal	1	Normal

LAMPIRAN CONFUSION MATRIX TESTING

Confusion Matrix

Output Class	0	40 50.0%	0 0.0%	100% 0.0%
	1	0 0.0%	40 50.0%	100% 0.0%
		100% 0.0%	100% 0.0%	100% 0.0%
		0	1	
		Target Class		

Data Set 1

Confusion Matrix

Output Class	0	40 50.0%	0 0.0%	100% 0.0%
	1	0 0.0%	40 50.0%	100% 0.0%
		100% 0.0%	100% 0.0%	100% 0.0%
		0	1	
		Target Class		

Data Set 2

Confusion Matrix

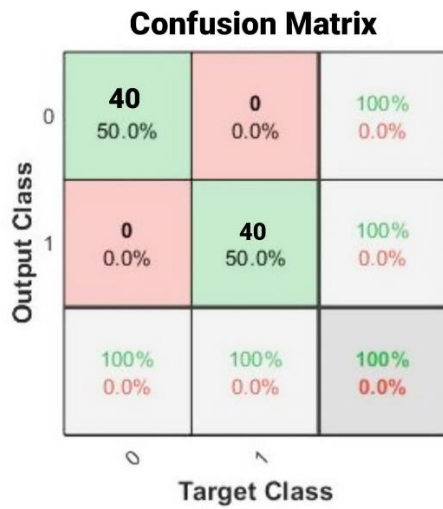
Output Class	0	40 50.0%	0 0.0%	100% 0.0%
	1	0 0.0%	40 50.0%	100% 0.0%
		100% 0.0%	100% 0.0%	100% 0.0%
		0	1	
		Target Class		

Data Set 3

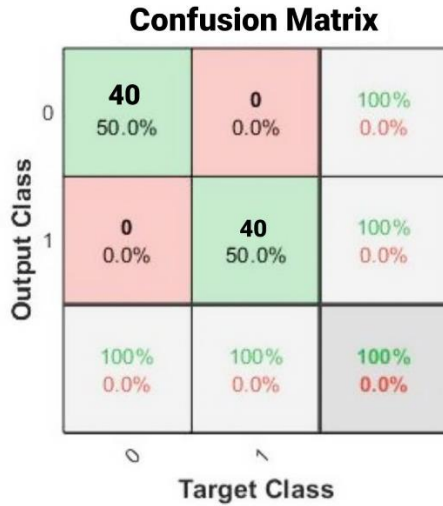
Confusion Matrix

Output Class	0	40 50.0%	0 0.0%	100% 0.0%
	1	0 0.0%	40 50.0%	100% 0.0%
		100% 0.0%	100% 0.0%	100% 0.0%
		0	1	
		Target Class		

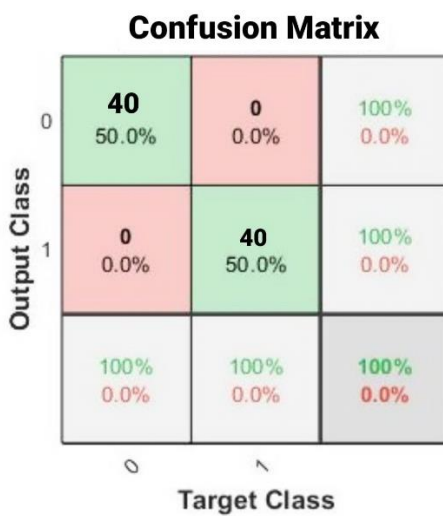
Data Set 4



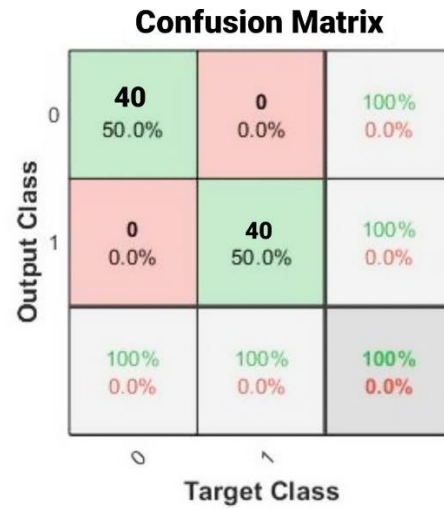
Data Set 5



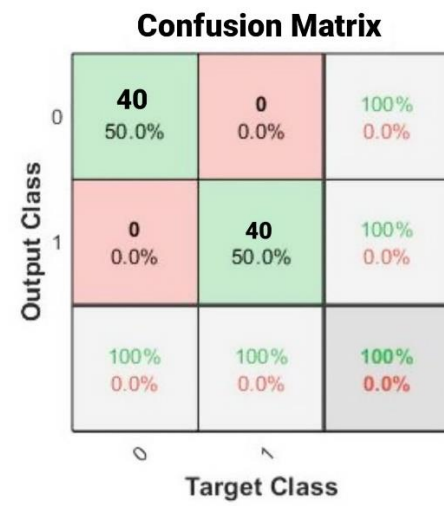
Data Set 7



Data Set 9



Data Set 6



Data Set 8



Data Set 10